



Edilicia cristiana hispana de la antigüedad tardía: La *Tarragonensis*

Jordina Sales Carbonell

ADVERTIMENT. La consulta d'aquesta tesi queda condicionada a l'acceptació de les següents condicions d'ús: La difusió d'aquesta tesi per mitjà del servei TDX (www.tdx.cat) ha estat autoritzada pels titulars dels drets de propietat intel·lectual únicament per a usos privats emmarcats en activitats d'investigació i docència. No s'autoritza la seva reproducció amb finalitats de lucre ni la seva difusió i posada a disposició des d'un lloc aliè al servei TDX. No s'autoritza la presentació del seu contingut en una finestra o marc aliè a TDX (framing). Aquesta reserva de drets afecta tant al resum de presentació de la tesi com als seus continguts. En la utilització o cita de parts de la tesi és obligat indicar el nom de la persona autora.

ADVERENCIA. La consulta de esta tesis queda condicionada a la aceptación de las siguientes condiciones de uso: La difusión de esta tesis por medio del servicio TDR (www.tdx.cat) ha sido autorizada por los titulares de los derechos de propiedad intelectual únicamente para usos privados enmarcados en actividades de investigación y docencia. No se autoriza su reproducción con finalidades de lucro ni su difusión y puesta a disposición desde un sitio ajeno al servicio TDR. No se autoriza la presentación de su contenido en una ventana o marco ajeno a TDR (framing). Esta reserva de derechos afecta tanto al resumen de presentación de la tesis como a sus contenidos. En la utilización o cita de partes de la tesis es obligado indicar el nombre de la persona autora.

WARNING. On having consulted this thesis you're accepting the following use conditions: Spreading this thesis by the TDX (www.tdx.cat) service has been authorized by the titular of the intellectual property rights only for private uses placed in investigation and teaching activities. Reproduction with lucrative aims is not authorized neither its spreading and availability from a site foreign to the TDX service. Introducing its content in a window or frame foreign to the TDX service is not authorized (framing). This rights affect to the presentation summary of the thesis as well as to its contents. In the using or citation of parts of the thesis it's obliged to indicate the name of the author.

UNIVERSITAT DE BARCELONA

***EDILICIA CRISTIANA HISPANA DE LA
ANTIGÜEDAD TARDÍA: LA TARRACONENSIS***

DOCTORANDA: Jordina Sales Carbonell

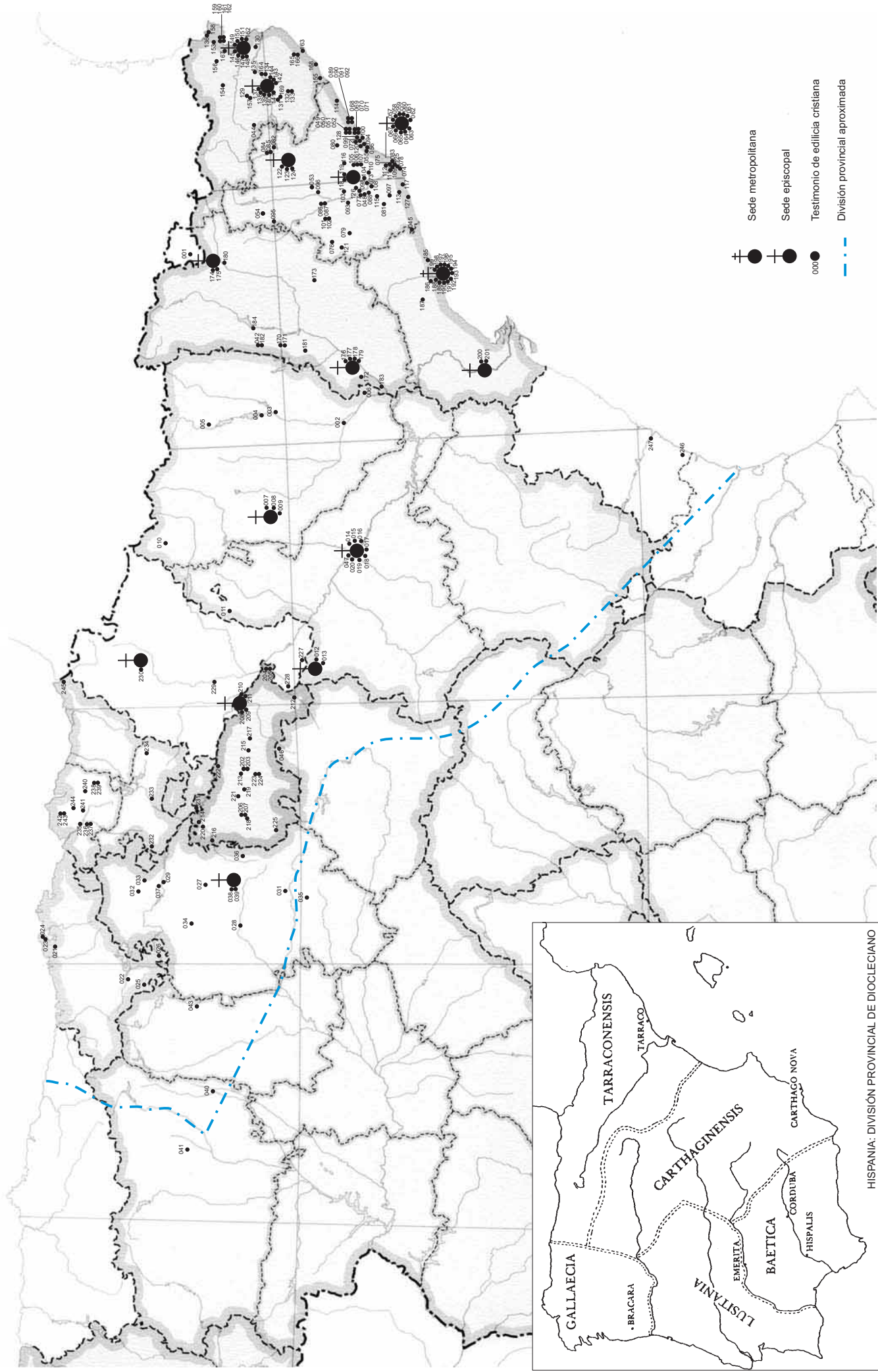
DIRECTORES: Francesc Tuset Bertran
 Josep Vilella Masana

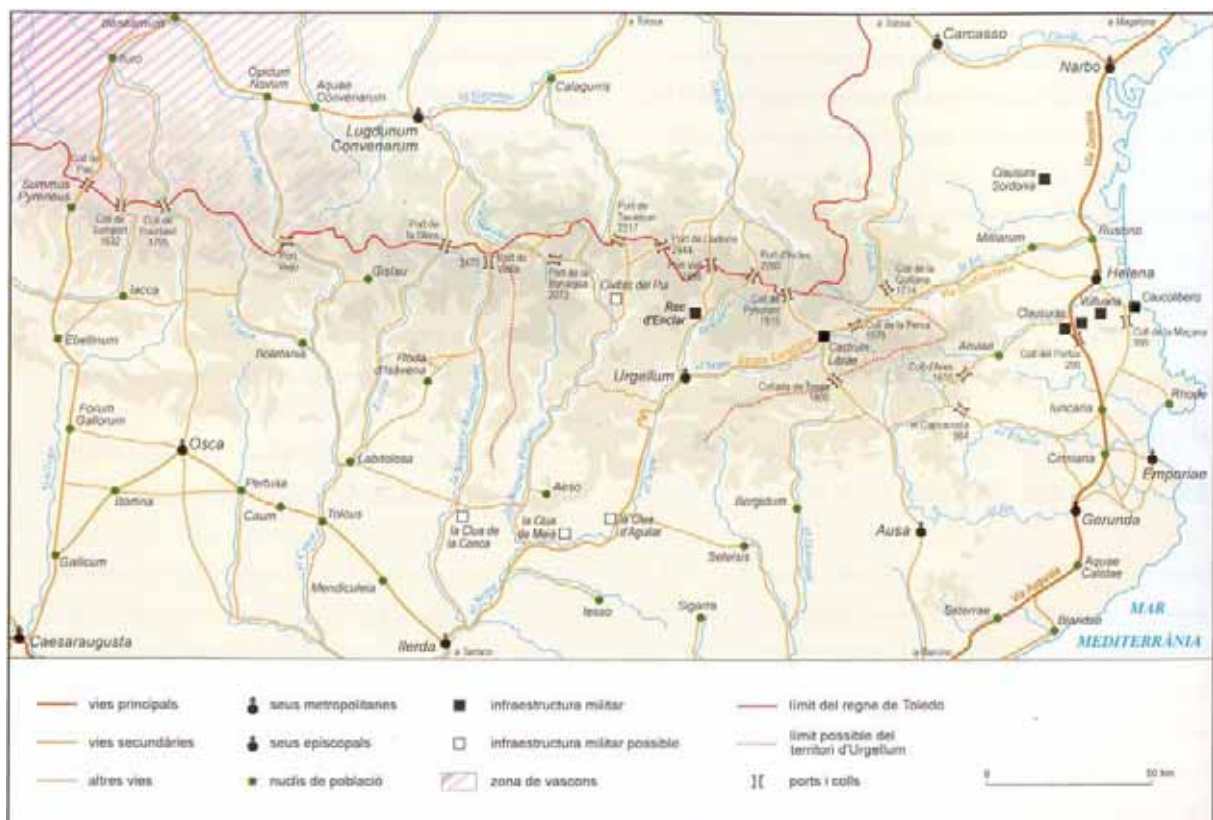
Para optar al título de doctora en Geografía e Historia
Programa de doctorado: Mentalidad, ideología y simbolismo
Bienio: 1996-1998
Departamento de Prehistoria, Historia Antigua y Arqueología
Facultad de Geografía e Historia
Universidad de Barcelona

FIGURAS

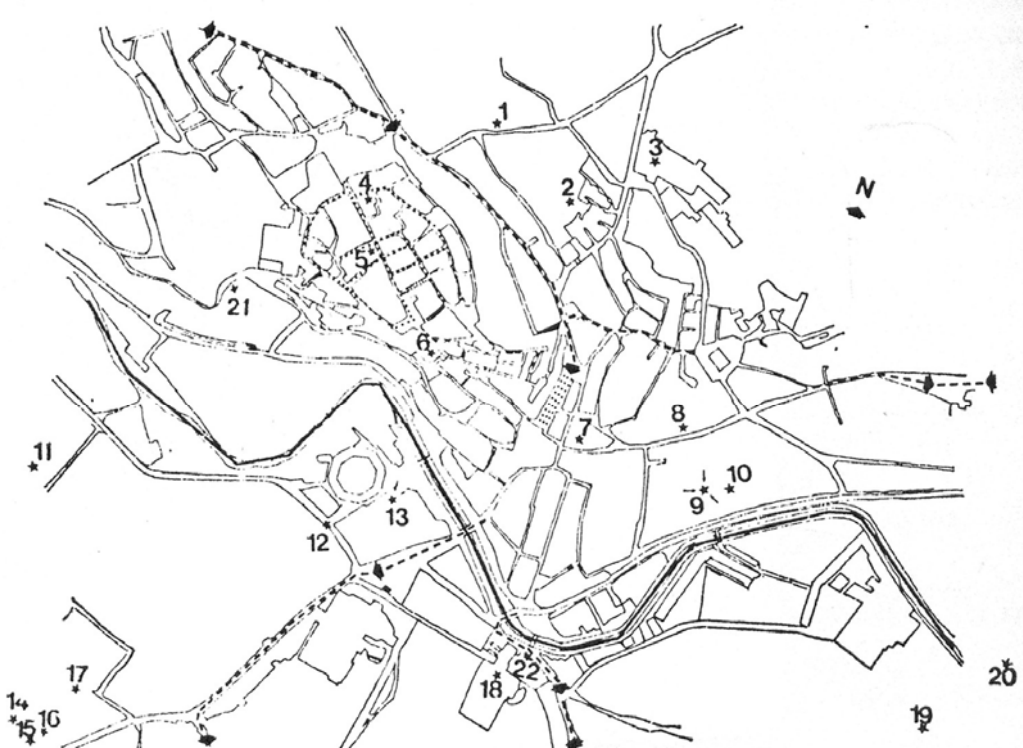
MAPAS

Distribución de la edilicia cristiana de la *Tarracensis* durante la Antigüedad Tardía

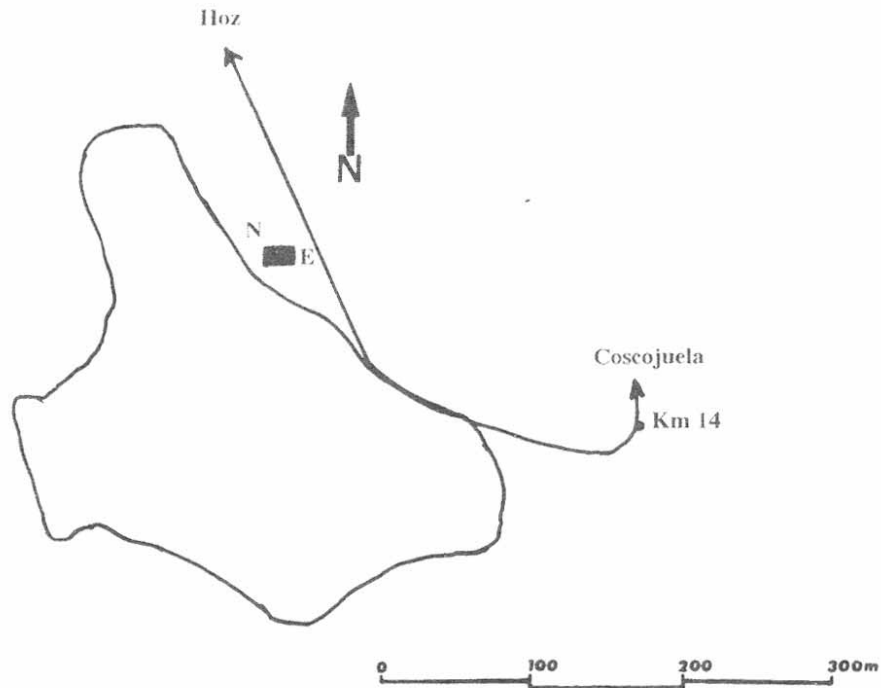




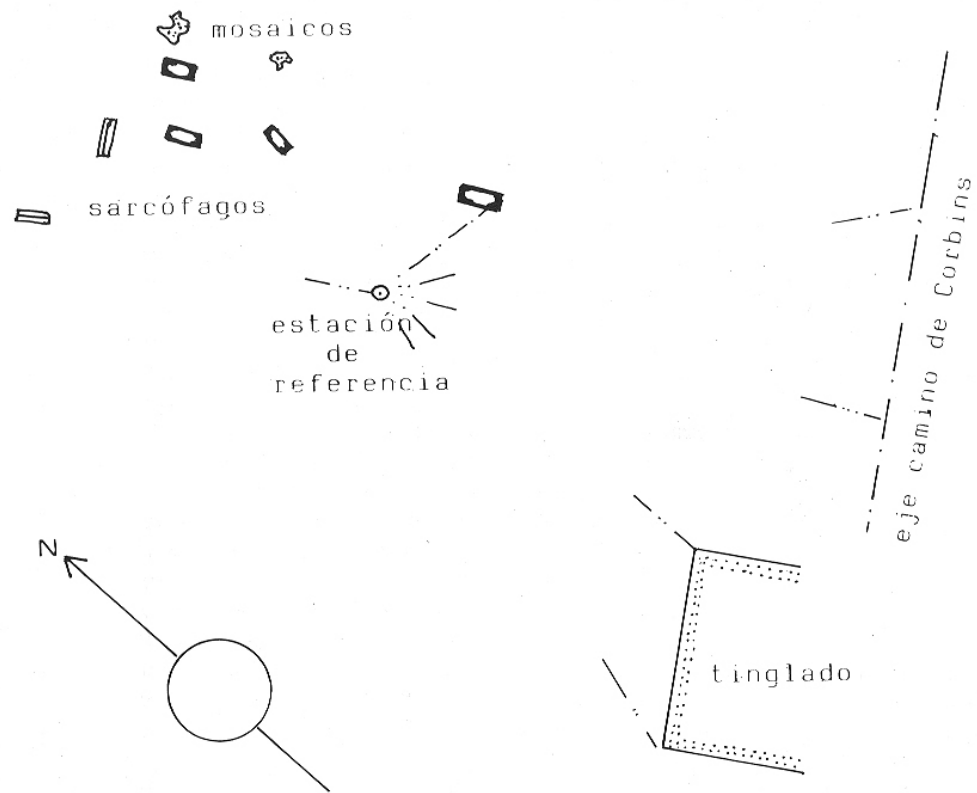
-Mapa 1- Mapa de los Pirineos orientales a principios del siglo VI con situación de Sant Vicenç del Roc d'Enclar (Andorra) e indicación de parte de los posibles límites del territorio de la sede episcopal de *Vrgellum* según LLOVERA et ALII, 1997: 106.



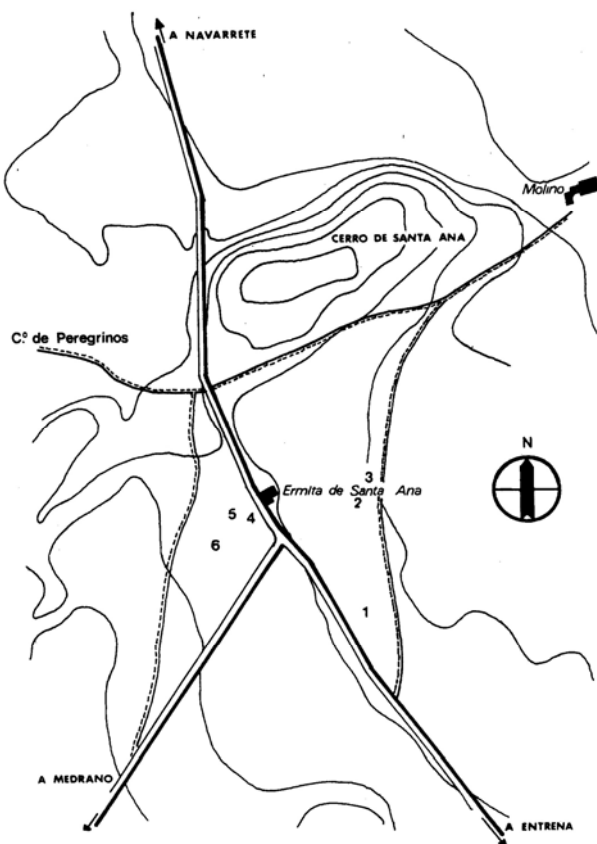
-Mapa 2- Mapa de distribución de los hallazgos romanos realizados en Tarazona, según J. Bona y reproducido en CAPALVO, 1984: 148. El punto n. 5 corresponde a la actual catedral y el n. 3 al Convento del Carmen.



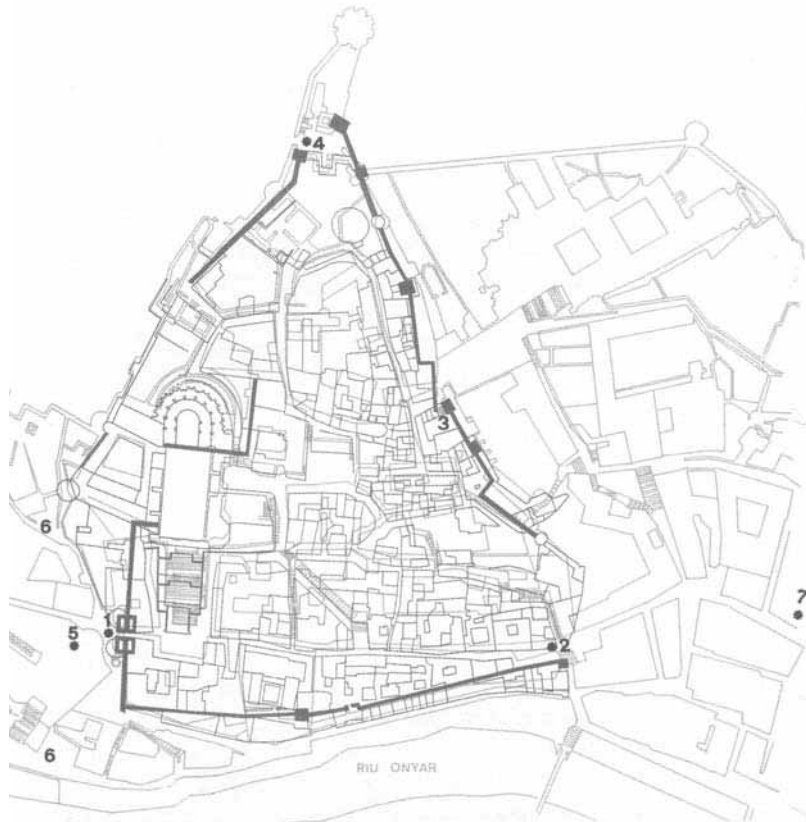
-Mapa 3- Ermita del Socorro-Monte Cillas (El Grado, Huesca), esquema topográfico del yacimiento. En la zona del rectángulo negro se ubican la ermita medieval (E) y la necrópolis paleocristiana (N), mientras que la figura irregular, de unas 8 hectáreas, correspondería a la superficie ocupada por la ciudad de *Barbotum* (NAVARRO-MAGALLÓN-SILLIÈRES, 2000: 269).



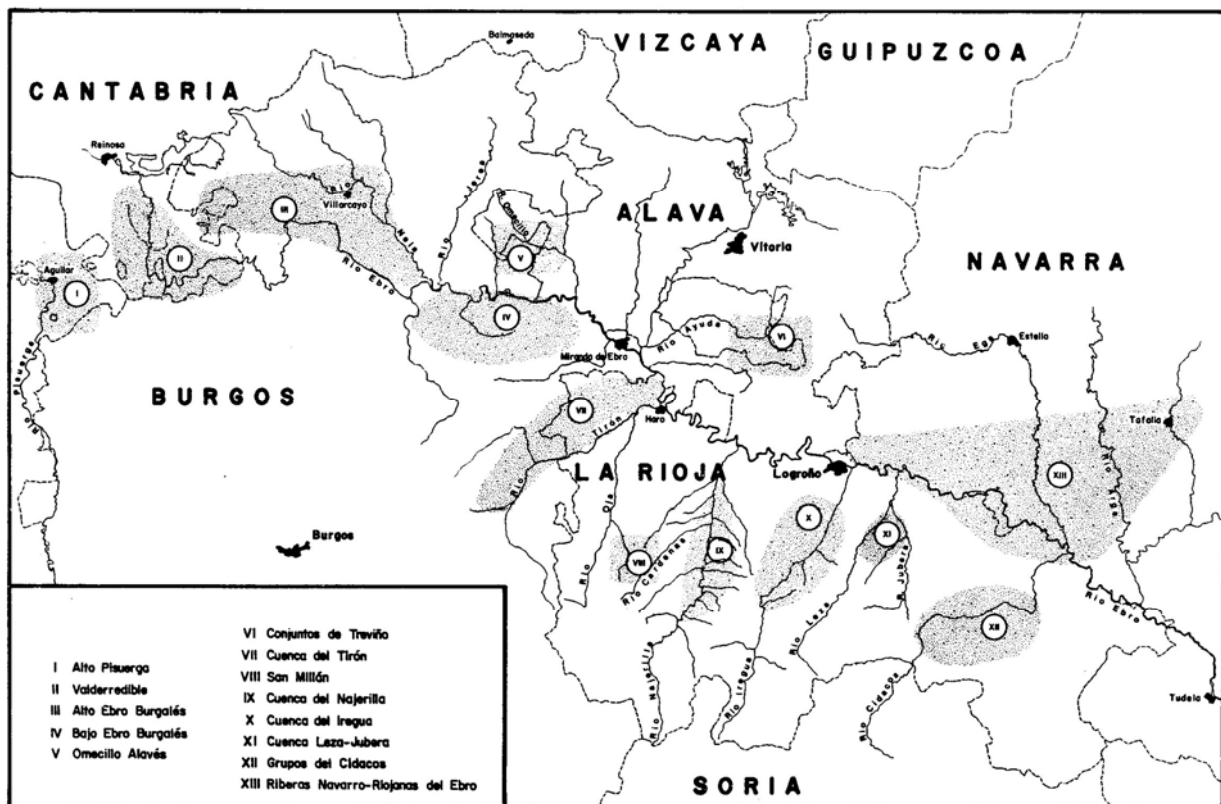
-Mapa 4- Necrópolis de la Estación del Ferrocarril (*Ilerda*), croquis de los hallazgos arqueológicos (PÉREZ, 1992: 201).



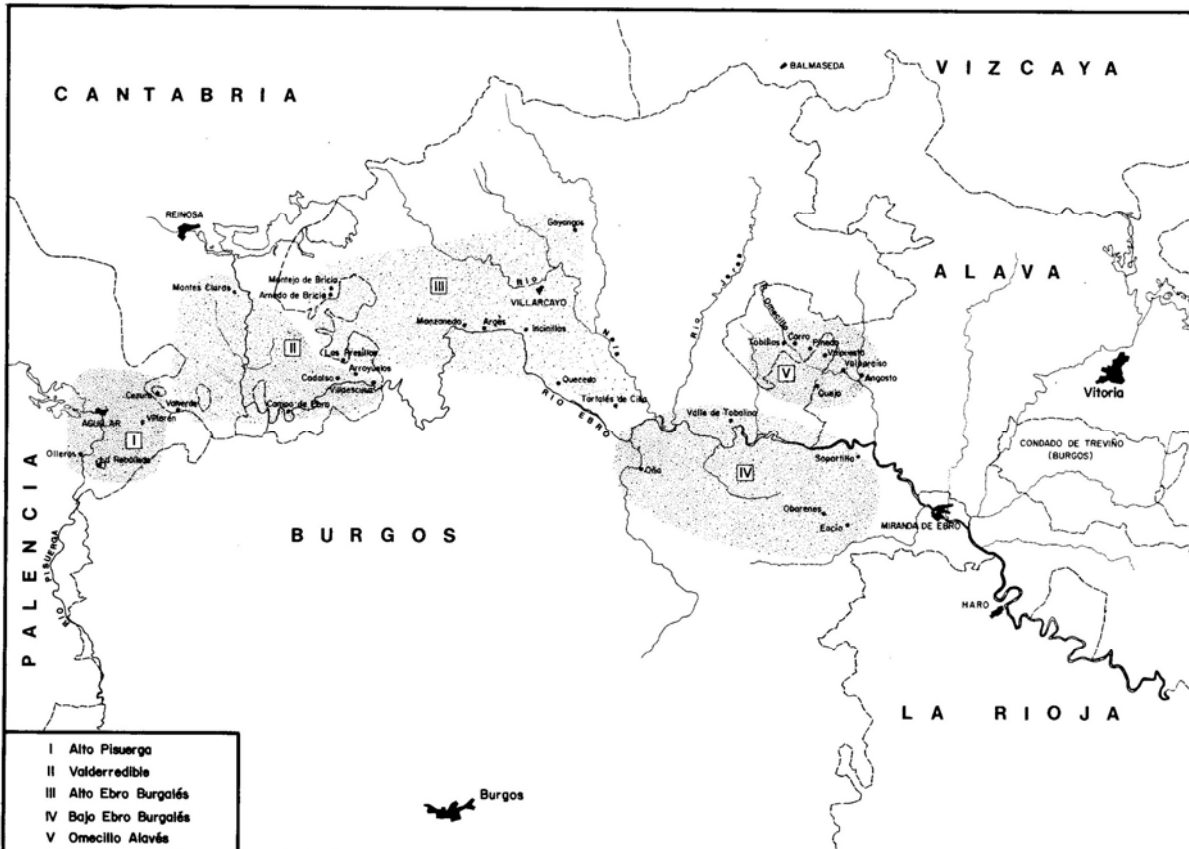
-Mapa 5- Ermita de Santa Ana de Entrena y necrópolis tardoantigua. Situación general (GONZÁLEZ BLANCO-ESPINOSA, 1976: fig. 2).



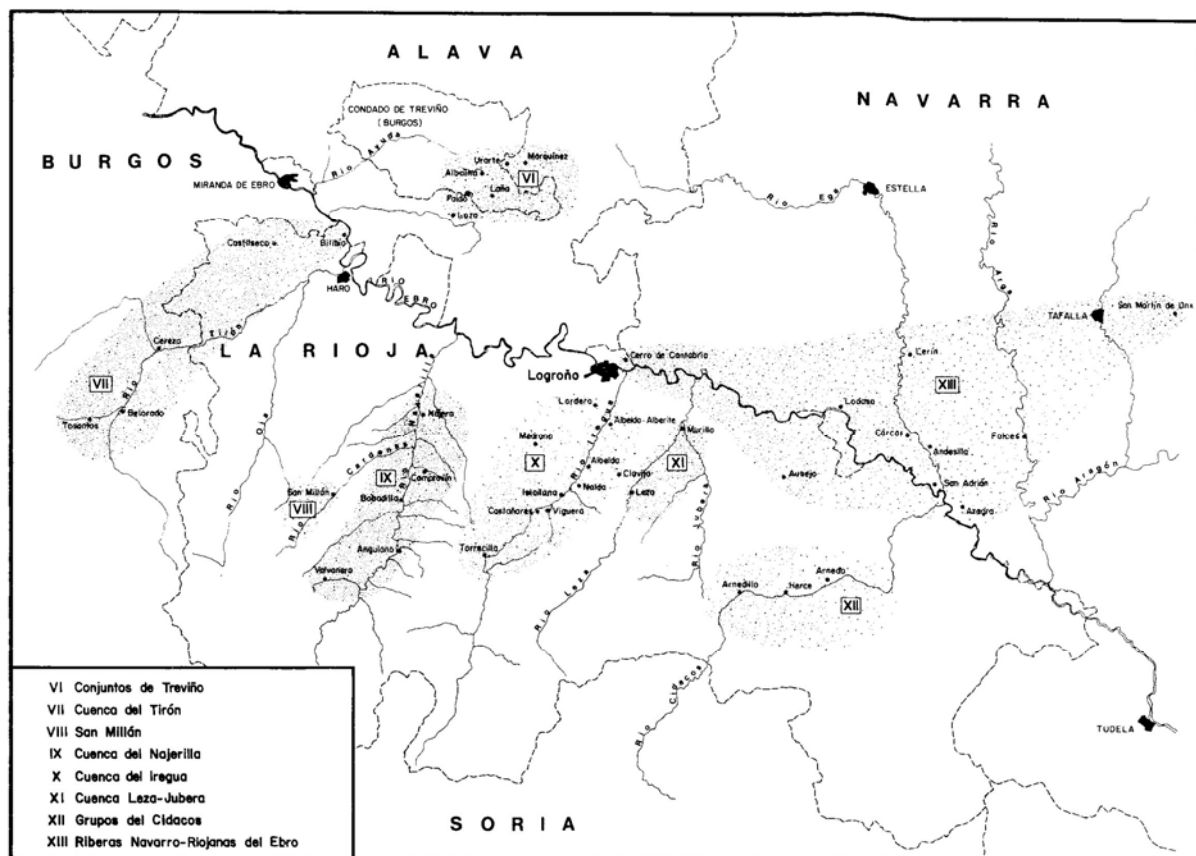
-Mapa 6- Girona en época tardorromana (AMICH, 2000: 8).



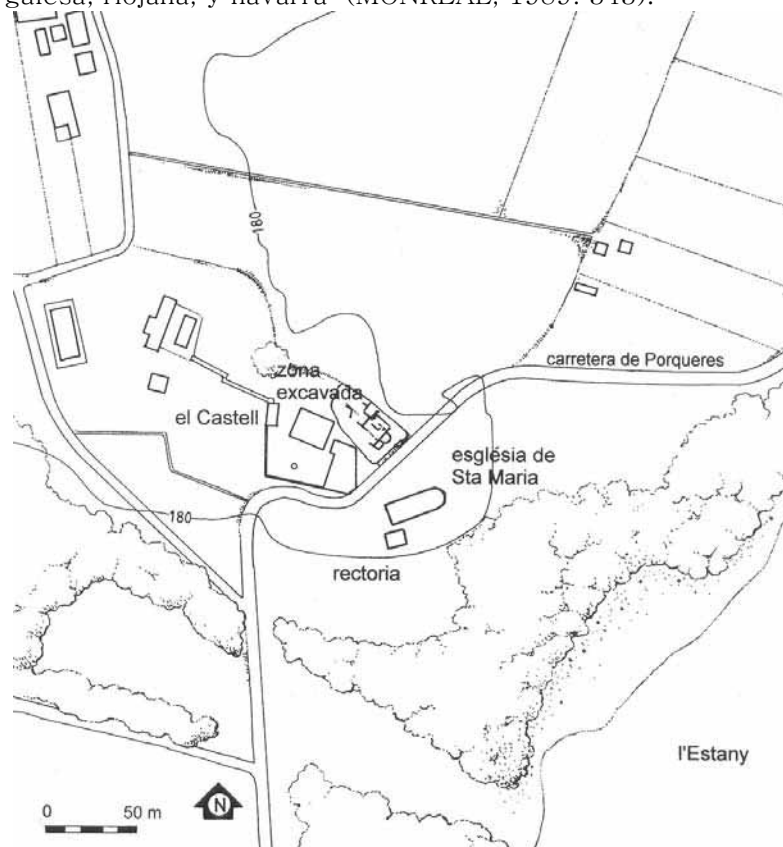
-Mapa 7- Distribución geográfica de los conjuntos rupestres del Alto Valle del Ebro (MONREAL, 1989: 341).



-Mapa 8- Distribución geográfica de los conjuntos rupestres del Alto Valle del Ebro. Detalle de las zonas burgalesa, alavesa, cántabra y palentina (MONREAL, 1989: 342).

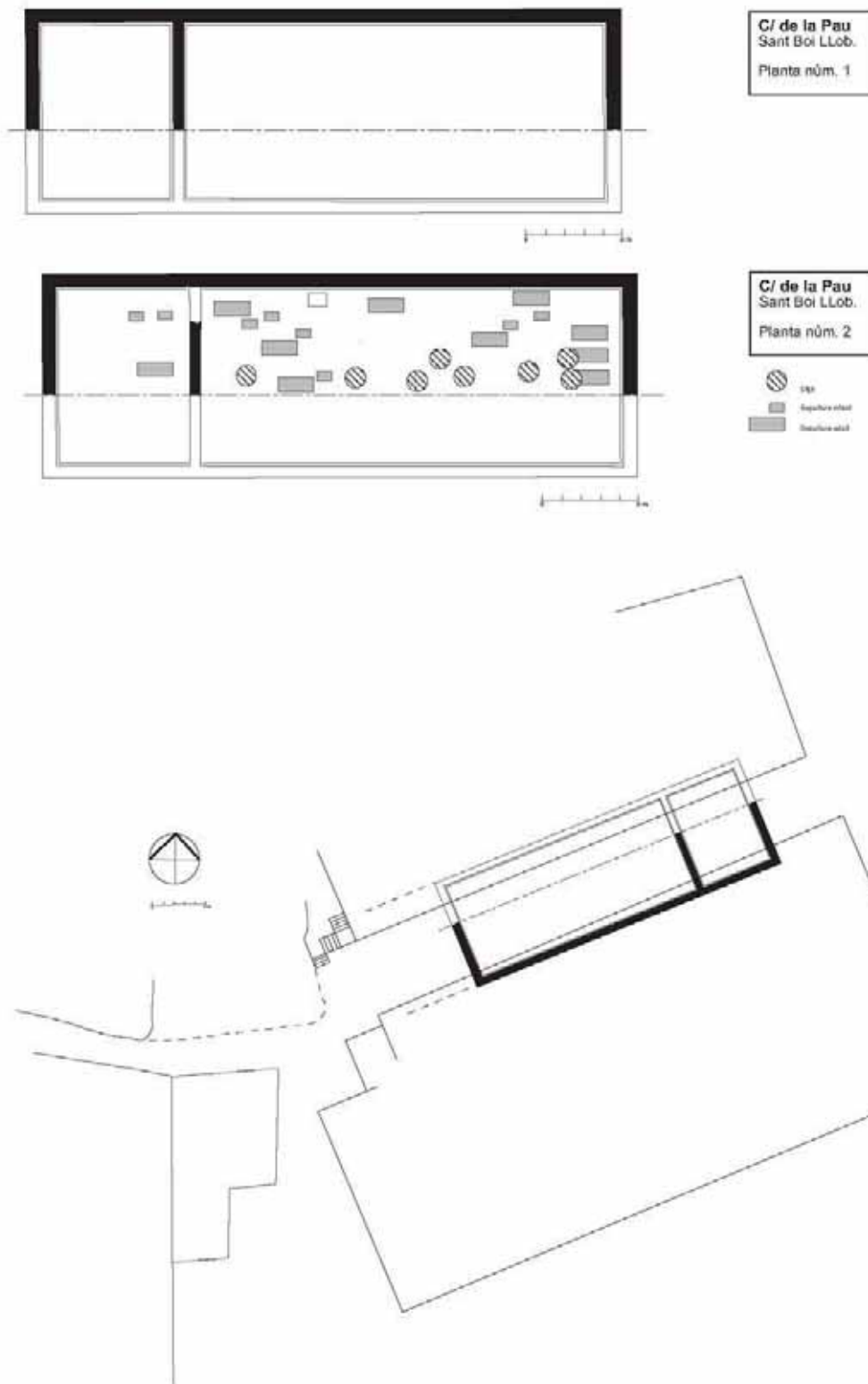


-Mapa 9- Distribución geográfica de los conjuntos rupestres del Alto Valle del Ebro. Detalle de las zonas burgalesa, riojana, y navarra (MONREAL, 1989: 343).

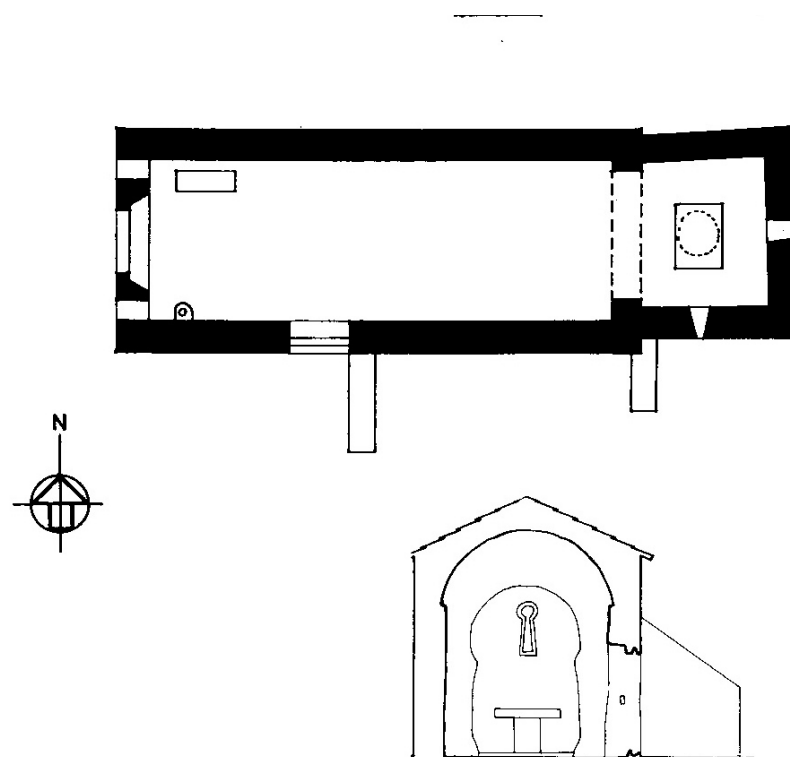


-Mapa 10- Basílica de Mas Castell, mapa de situación. Obsérvese su proximidad con la actual iglesia parroquial de Santa María (BURCH et ALII, 1999: 9).

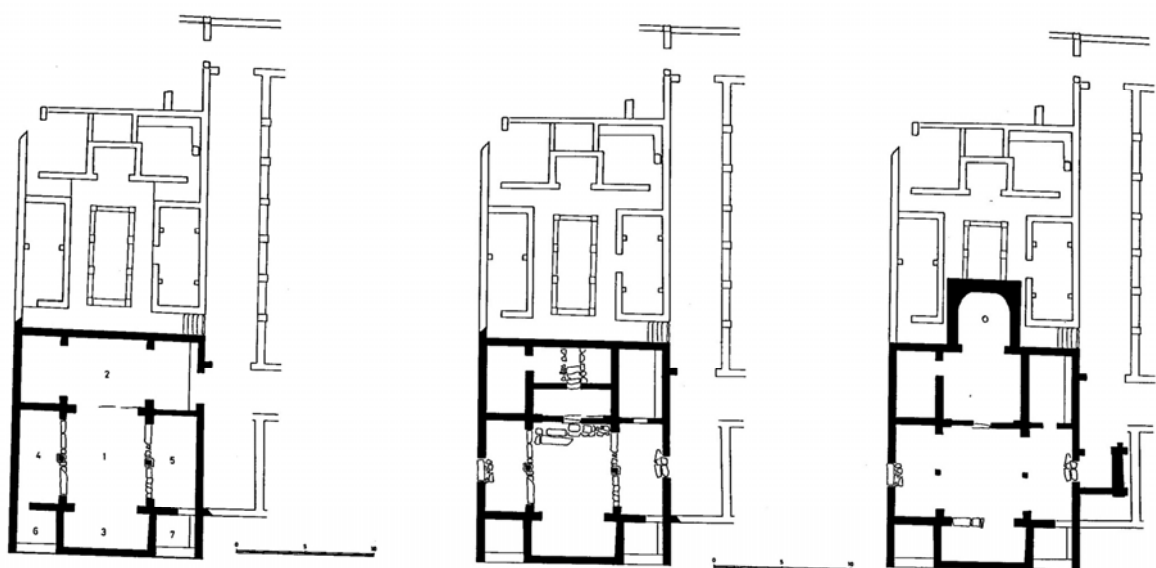
PLANIMETRÍAS Y DIBUJOS



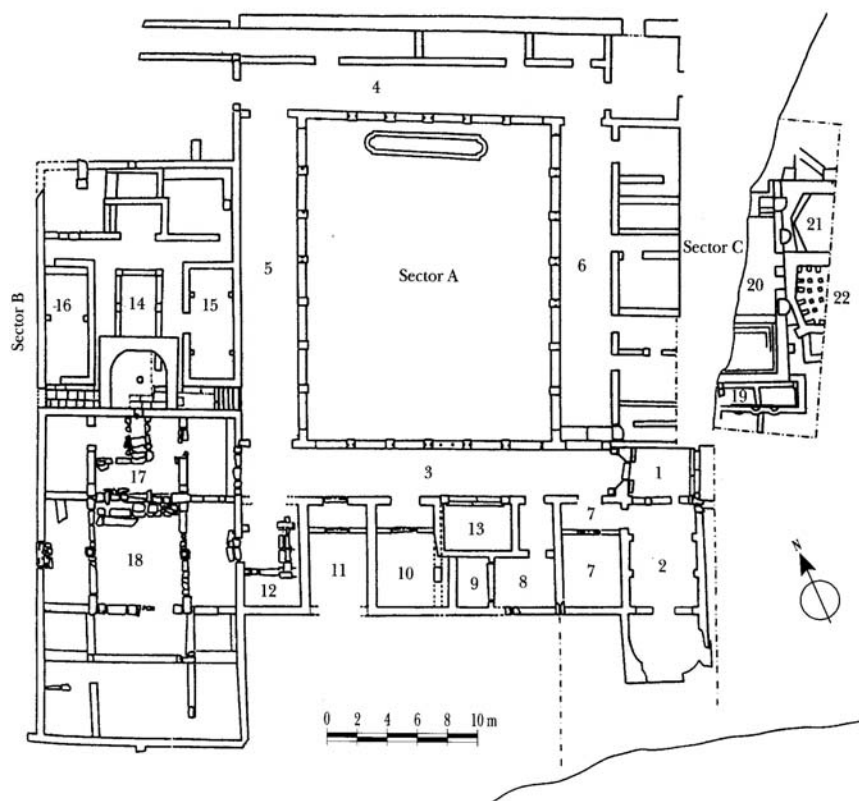
-Plano 1- Sant Baldiri (Sant Boi de Llobregat, Barcelona). Planta inédita del templo tardoantiguo hallado parcialmente debajo del templo actual, cedida por Núria Molist.



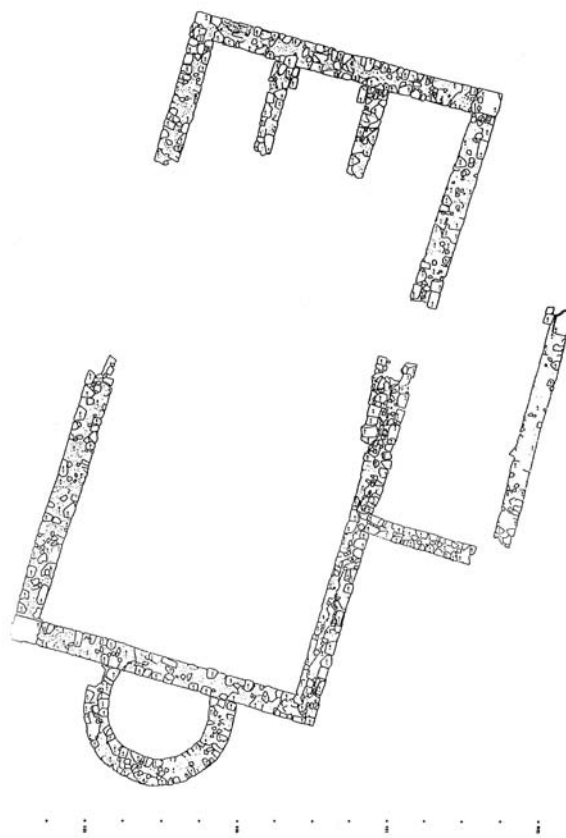
-Plano 2- Sant Cristòfor (Cabrilis, Barcelona). Planimetría de J. Bonet (GRAUPERA, 1992: 485).



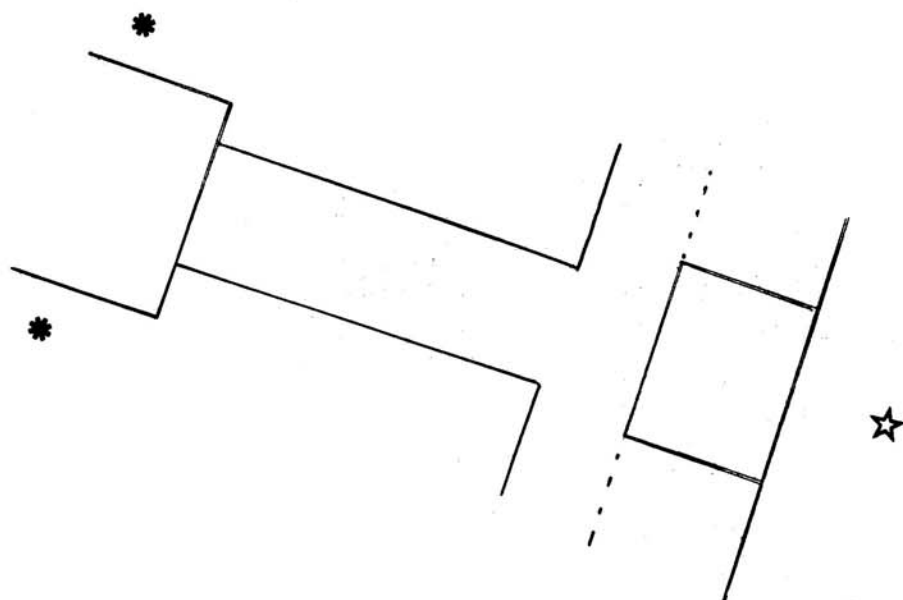
-Plano 3- Villa Fortunatus (Fraga). Evolución constructiva de la basílica cristiana, según F. Tuset (PALOL, 1989b: 2002-2003).



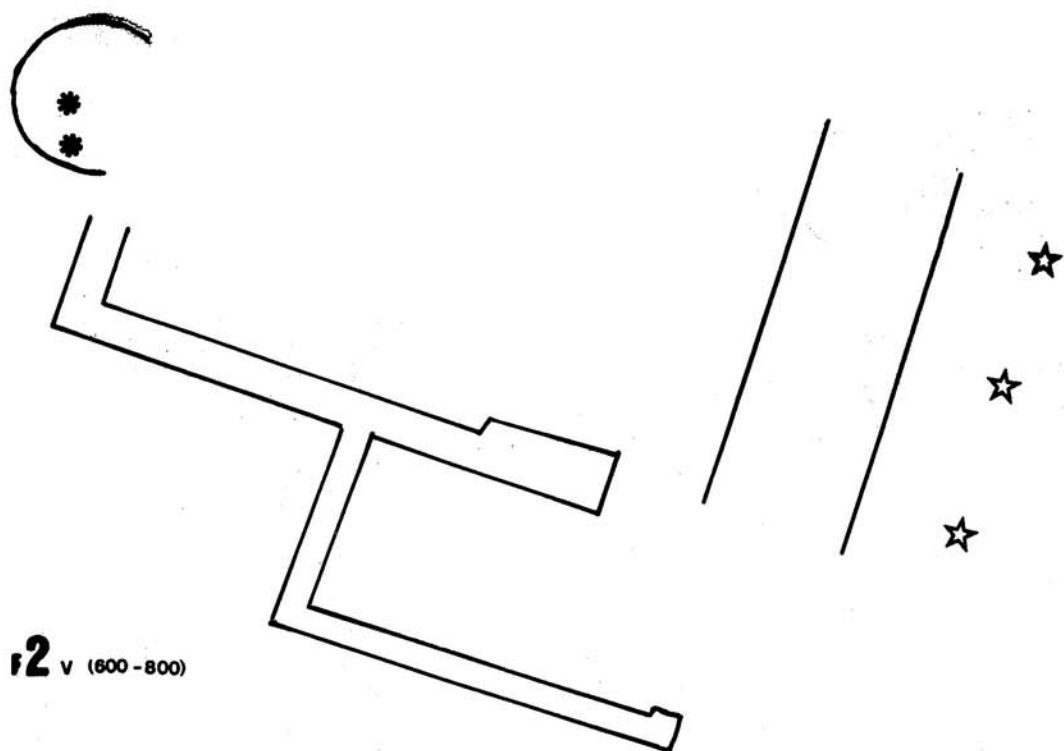
-Plano 3.2- Villa Fortunatus (Fraga). Planta general de la villa con indicación de la basílica en el lado Oeste, según F. Tuset (ESCRIBANO-FATÁS, 2001: 67).



-Plano 4- Santa María de Mijangos (Burgos), planta (LECANDA, 2000b: 186).

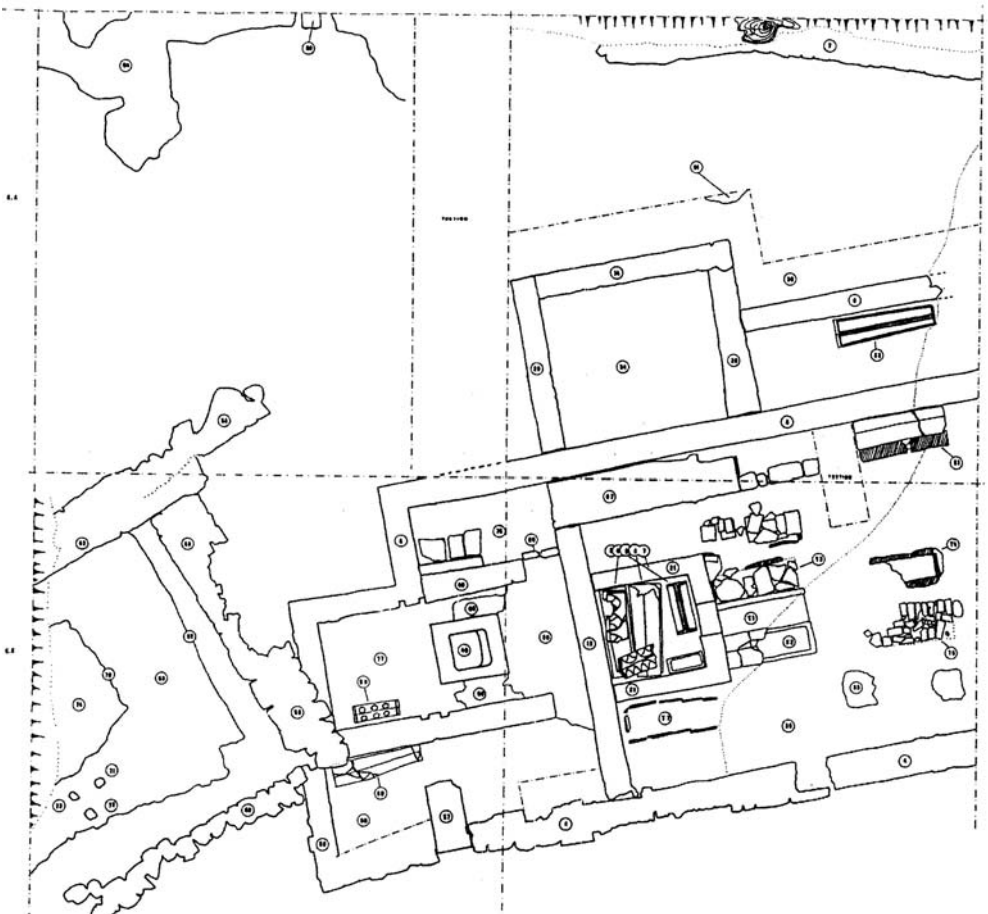


F1 PX (450 - 600)

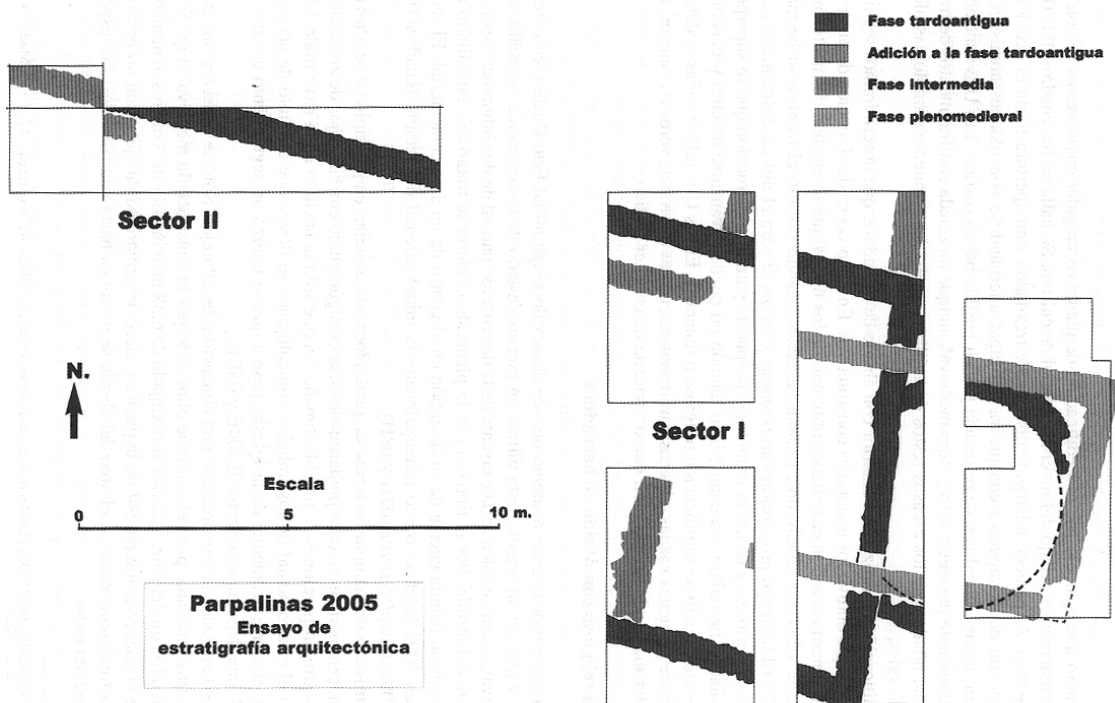


F2 v (600 - 800)

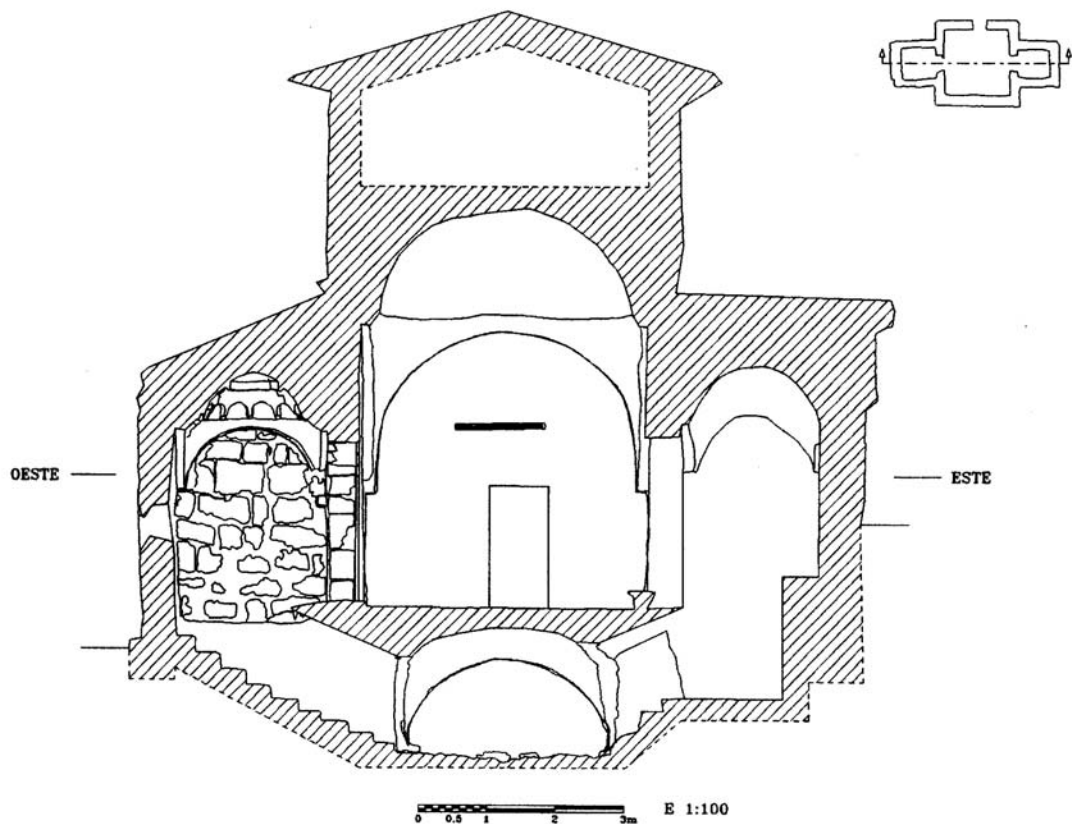
-Plano 4.1- Santa María de Mijangos (Burgos), representación esquemática de las dos fases tardoantiguas del templo (LECANDA, 2000a: 552-553).



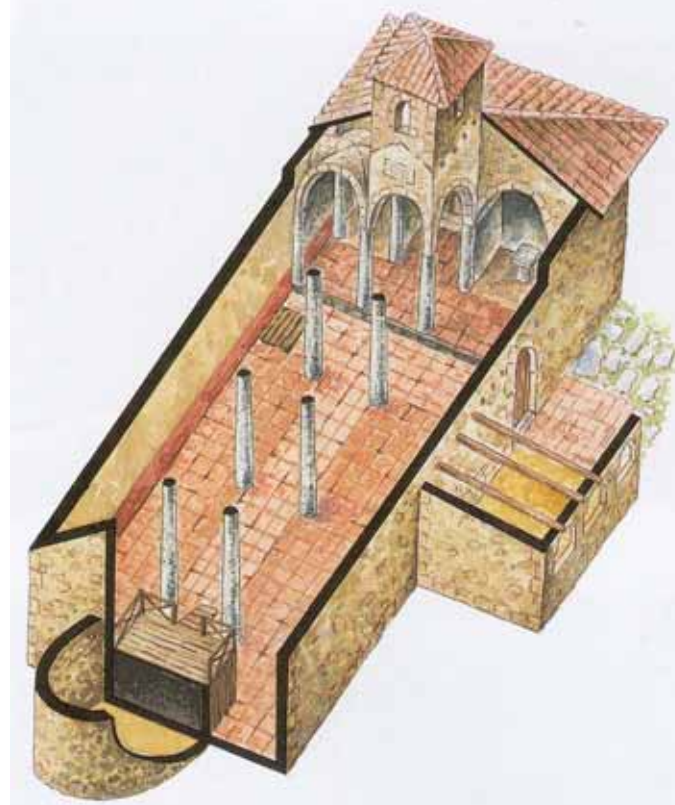
-Plano 5- Templo de Vallejo de Santillán (Burgos), planta (LECANDA, 2000b: 199).



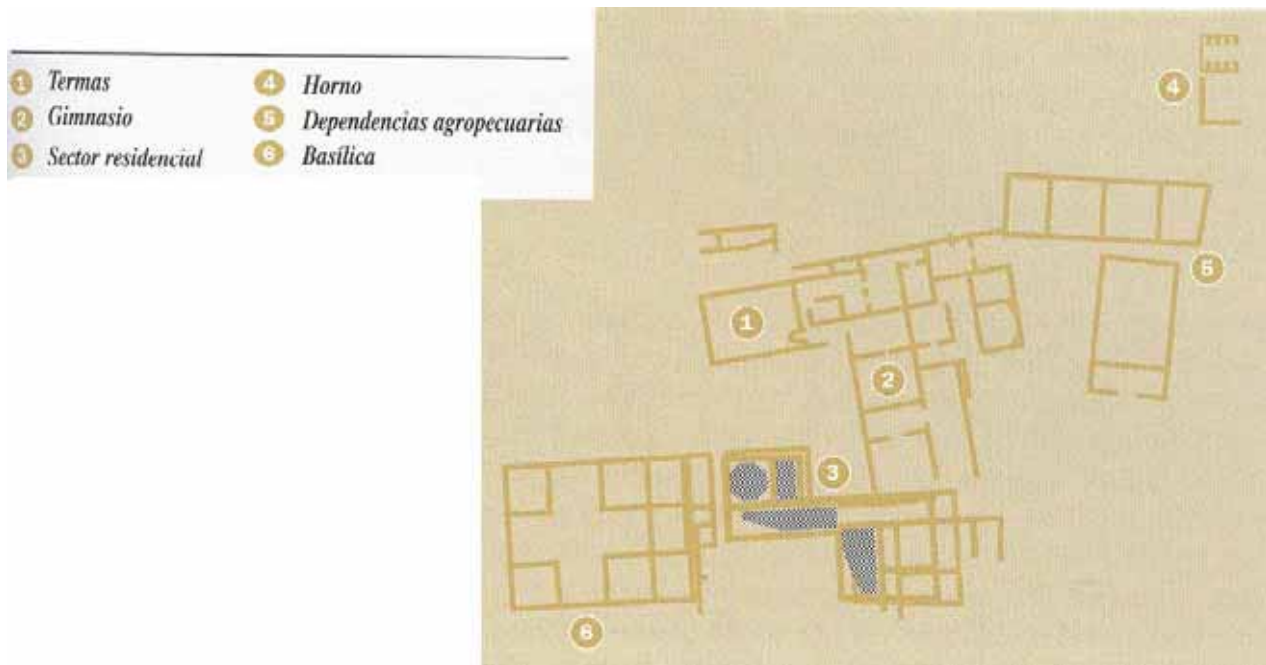
-Plano 6- Iglesia de *Parpalines*. Planta de la iglesia con sus fases históricas (ESPINOSA, 2006: 315).



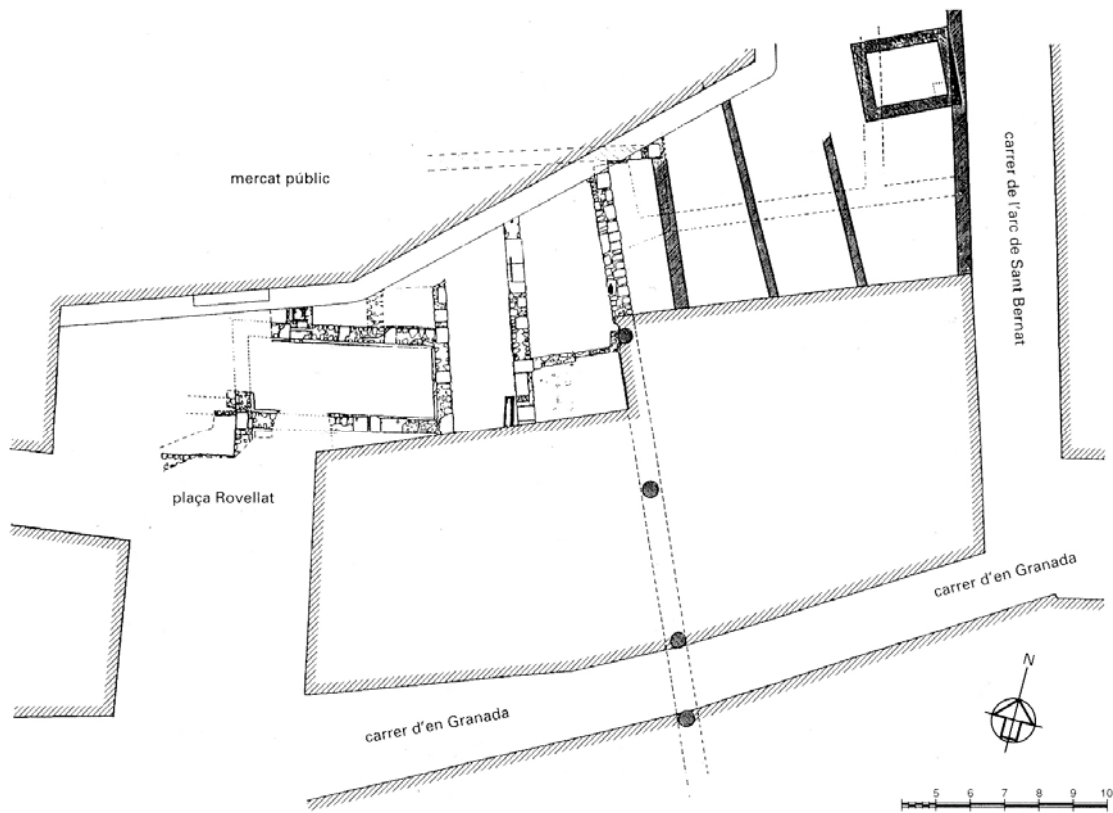
-Plano 7- *Martyrium* de Santa Coloma. Sección Norte y planta (ángulo superior derecho) según Caballero, Fernández Mier, Feijoo y Arce (CABALLERO, 2000b: 240).



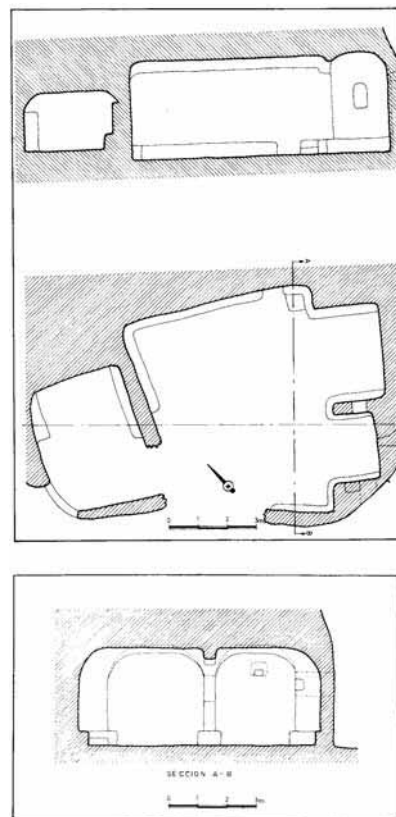
-Plano 8- Santa María de Mijangos (Burgos). Restitución idealizada (VAL-ESCRIBANO, 2004: 89).



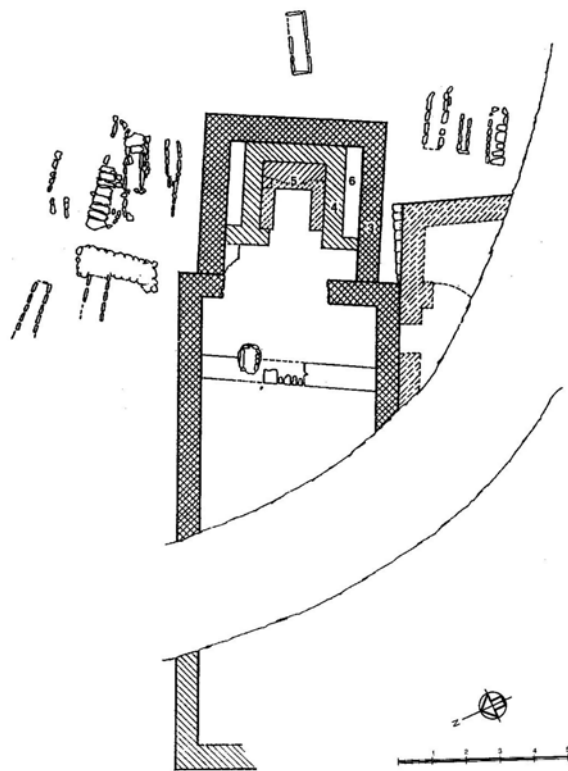
-Plano 9- Planta esquemática general de la villa romana de Navatejera, con indicación de su basílica cruciforme (VAL-ESCRIBANO, 2004: 125).



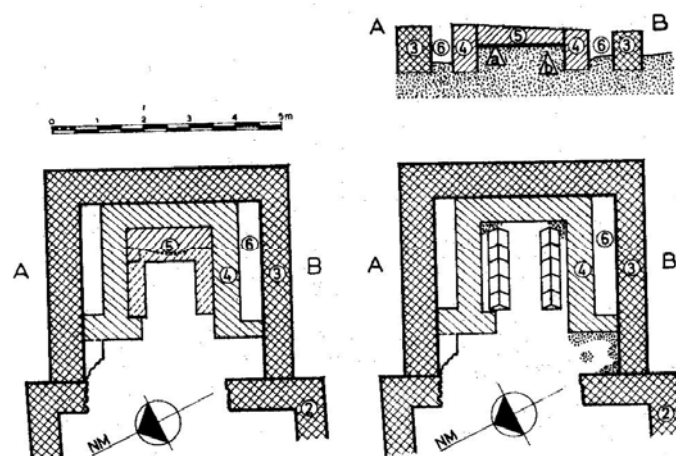
-Plano 10- Restos arqueológicos de la Plaça Rovellat (Tarraco). Planta general de las estructuras aparecidas, según P. M. Berges (AQUILUÉ, 1999b: 81).



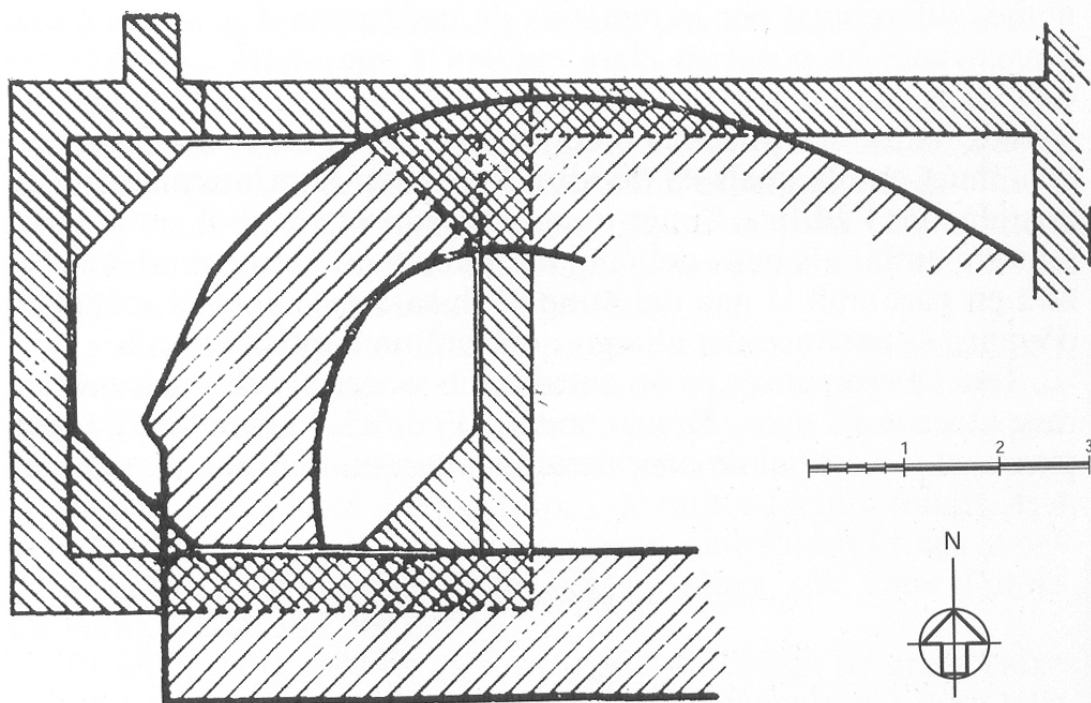
-Plano 11- Planta y secciones de la iglesia rupestre de San Martín de Villarén (Palencia) (MONREAL, 1989: 346, láminas 7 y 8).



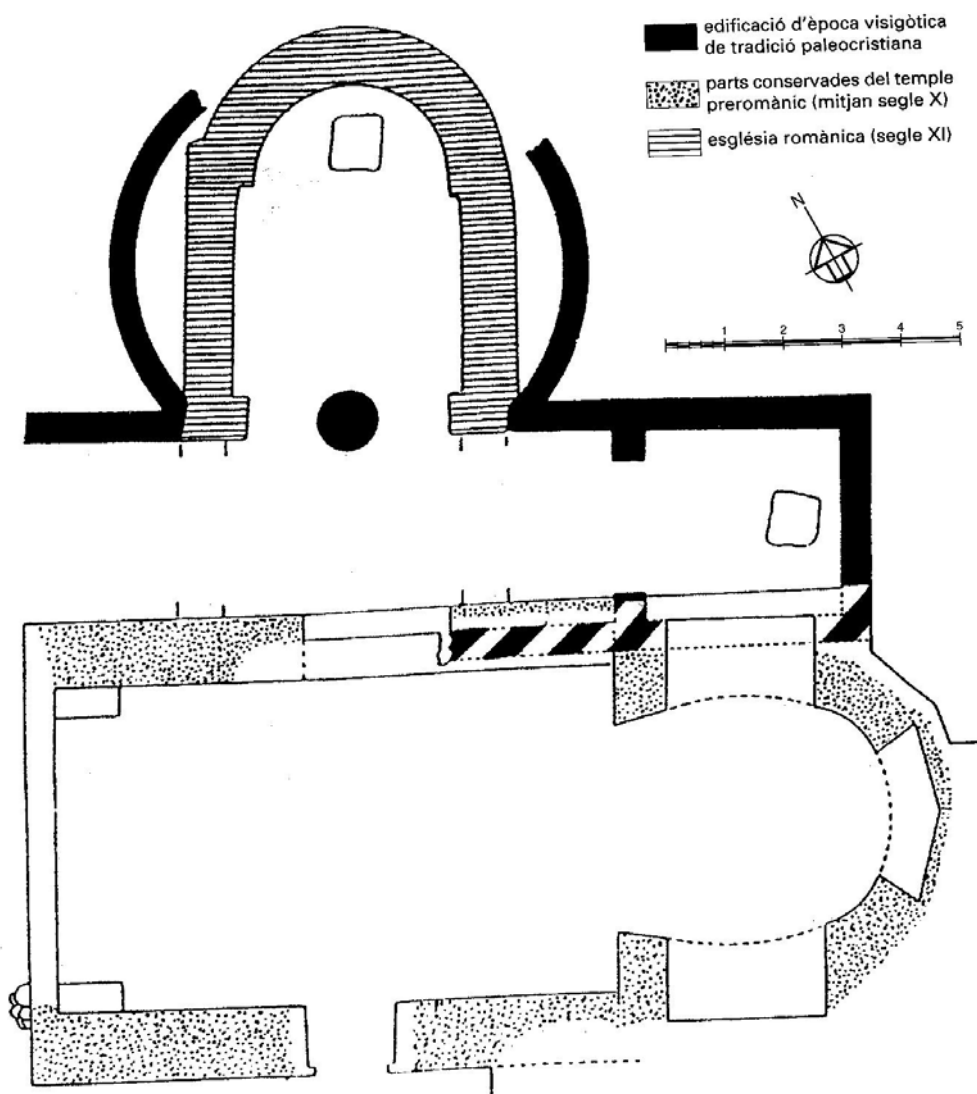
-Plano 12- Basílica de Santa Cristina d'Aro. Planta general, según P. de Palol y Ll. Esteva (ESTEVA, 1993: 65).



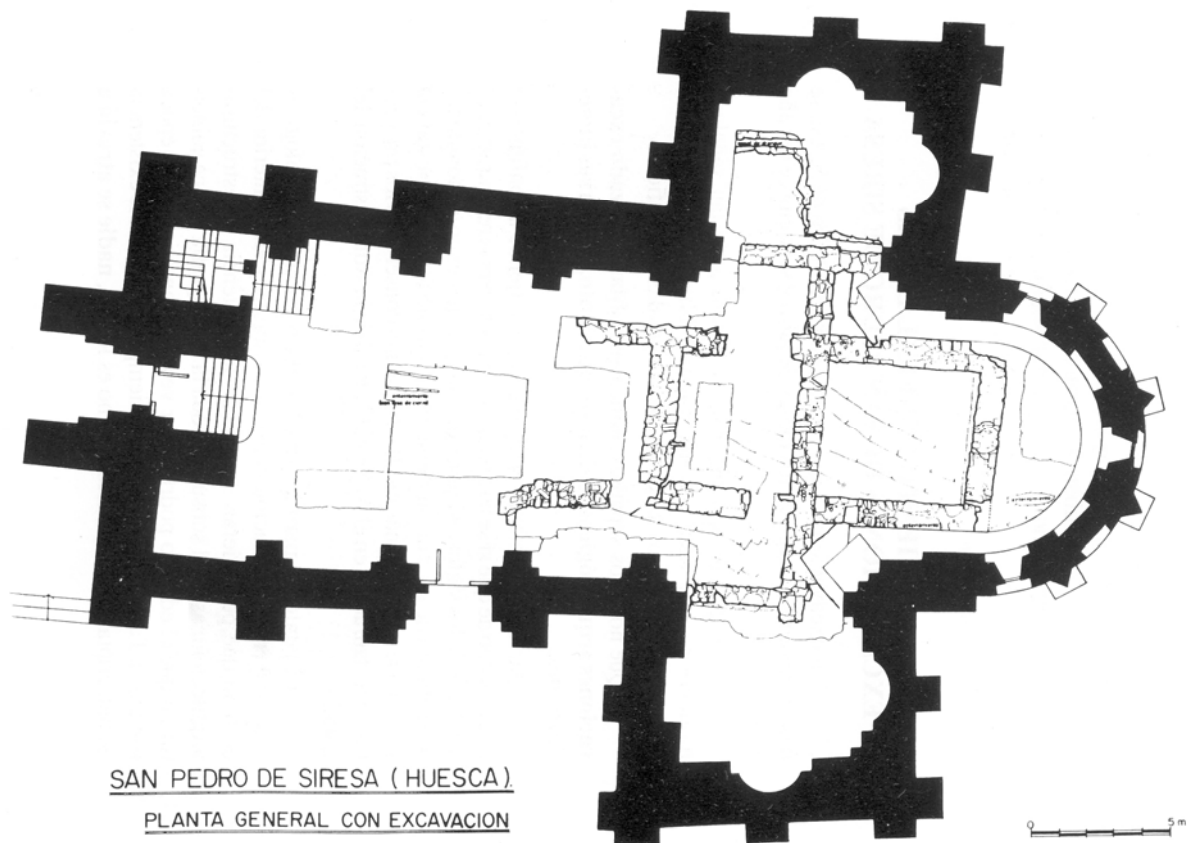
-Plano 12.1- Basílica de Santa Cristina d'Aro. Sección y plantas del ábside, con las dos tumbas de *tegulae*, según P. de Palol y Ll. Esteva (ESTEVA, 1993: 66).



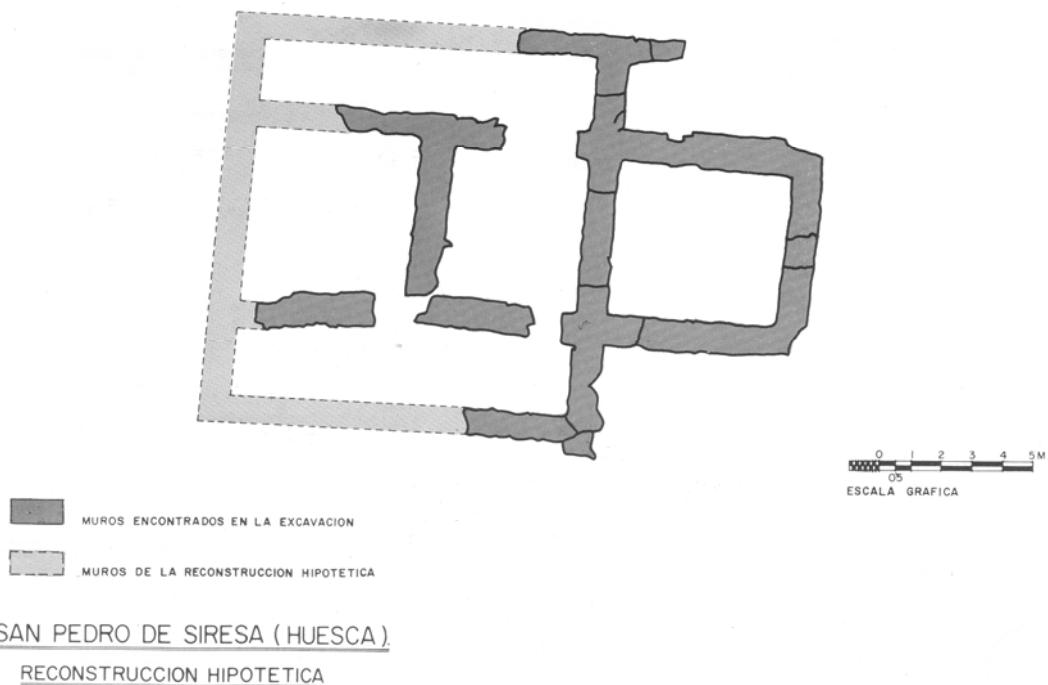
-Plano 13- Torre del Fum. Planta general de la estructura, según Ll. Esteva (VVAA, 1999: 194).



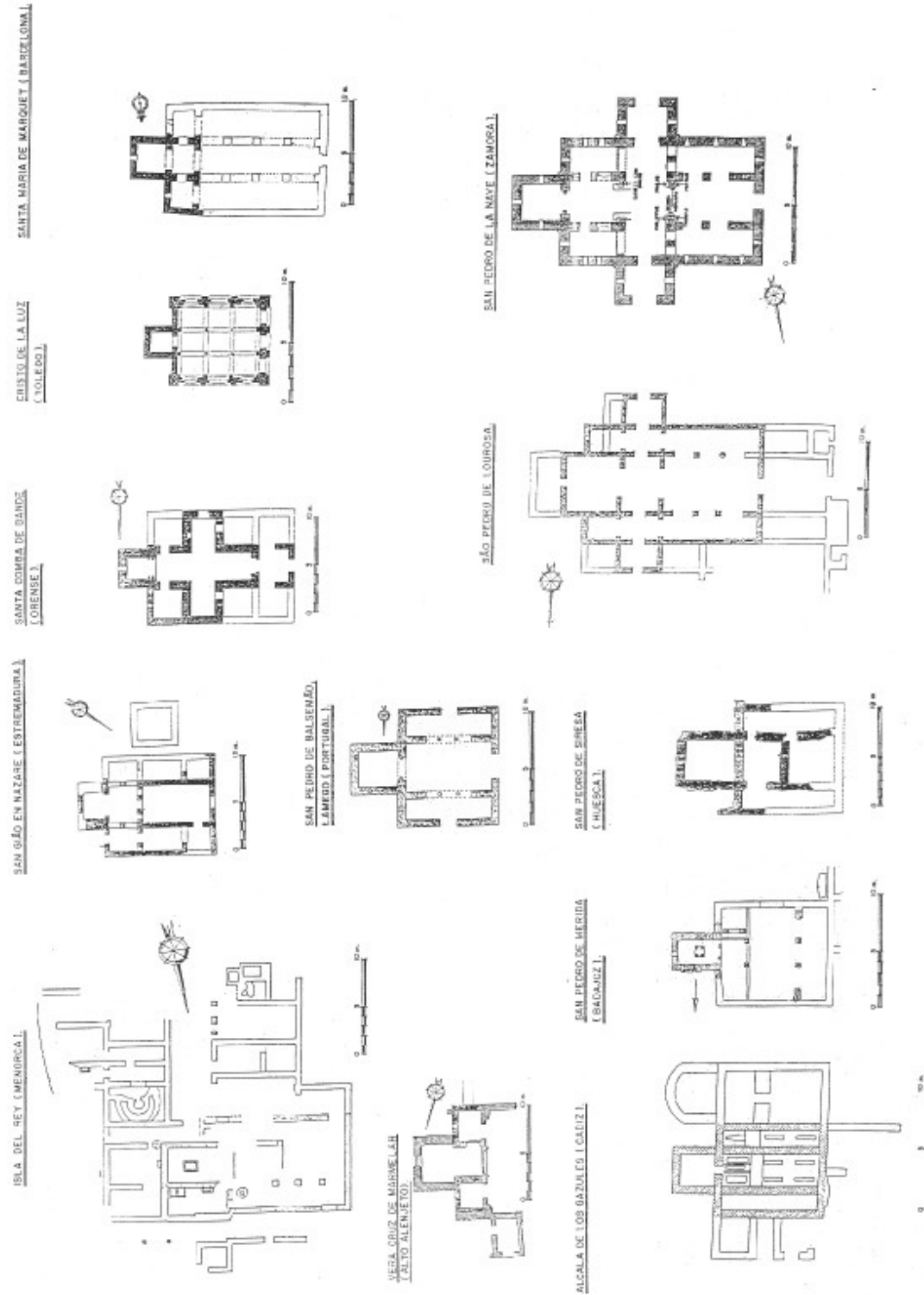
-Plano 14- Basílica de Bell-lloc d'Aro. Planta de las diferentes iglesias, según Ll. Esteva (VVAA, 1999: 195).



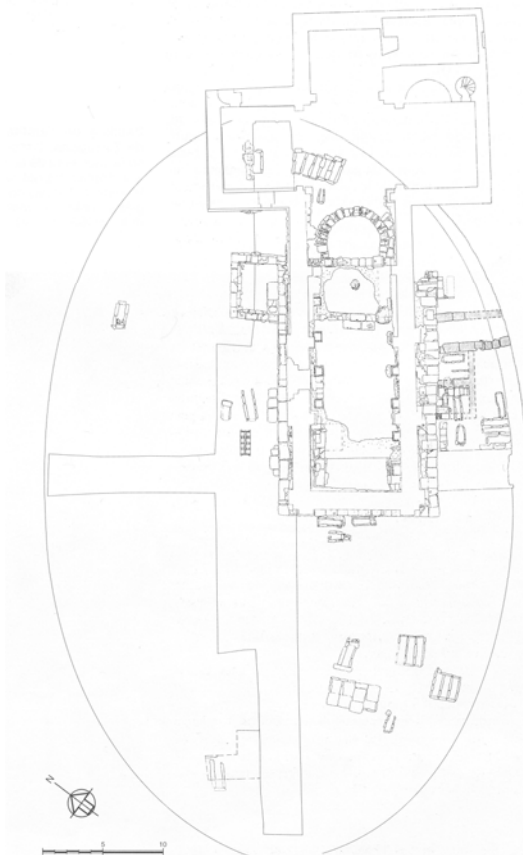
-Plano 15.1- San Pedro de Siresa (Valle de Hecho, Huesca). Planta general de la iglesia antigua dentro de la planta del edificio actual (PUERTAS, 1993: 10).



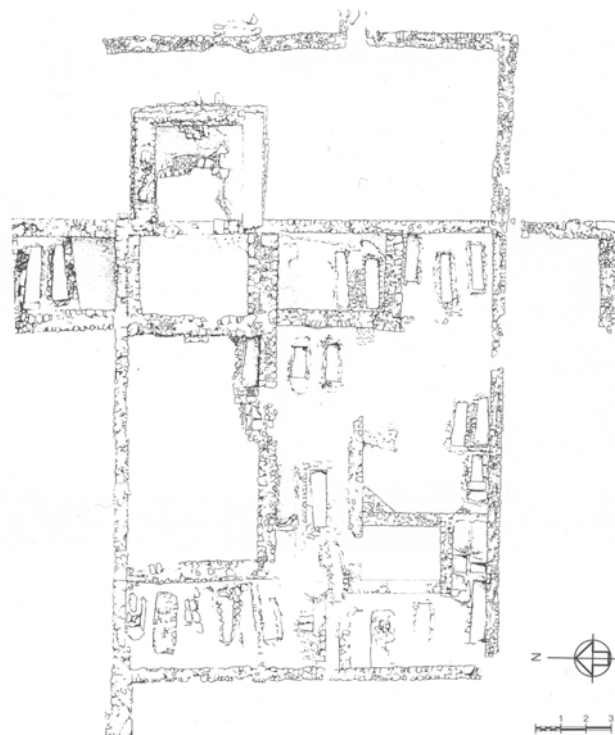
-Plano 15.2- San Pedro de Siresa. Planta restituida de la iglesia antigua (PUERTAS, 1993: 33).



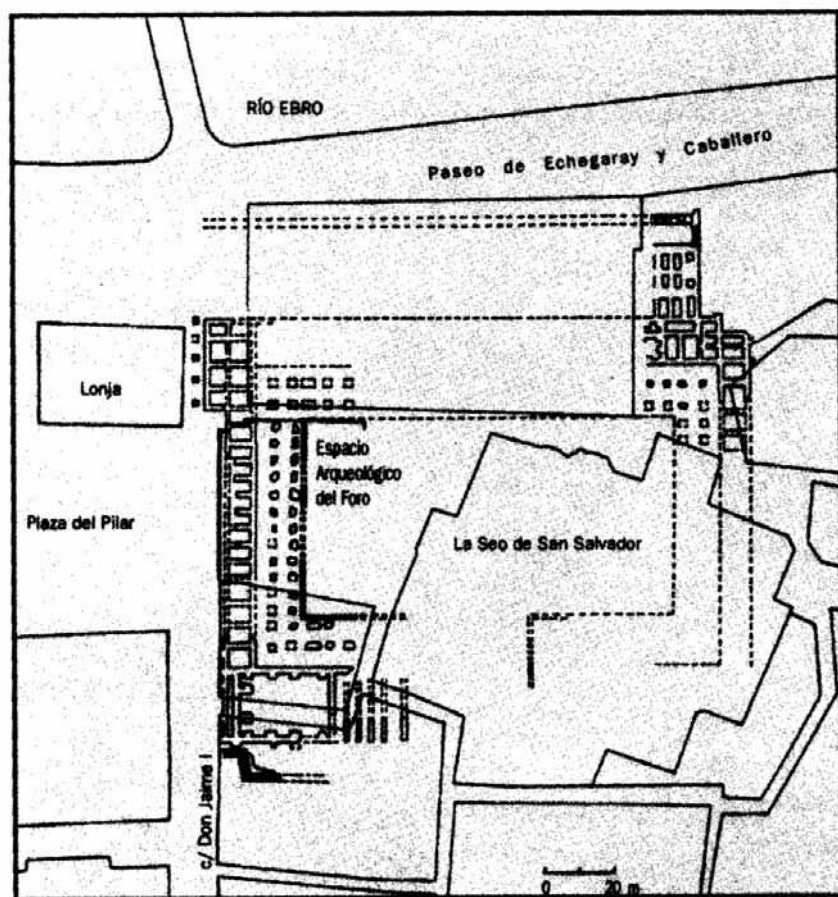
-Plano 15.3- San Pedro de Siresa. Paralelos arquitectónicos hispanos (PUERTAS, 1993: 34-35).



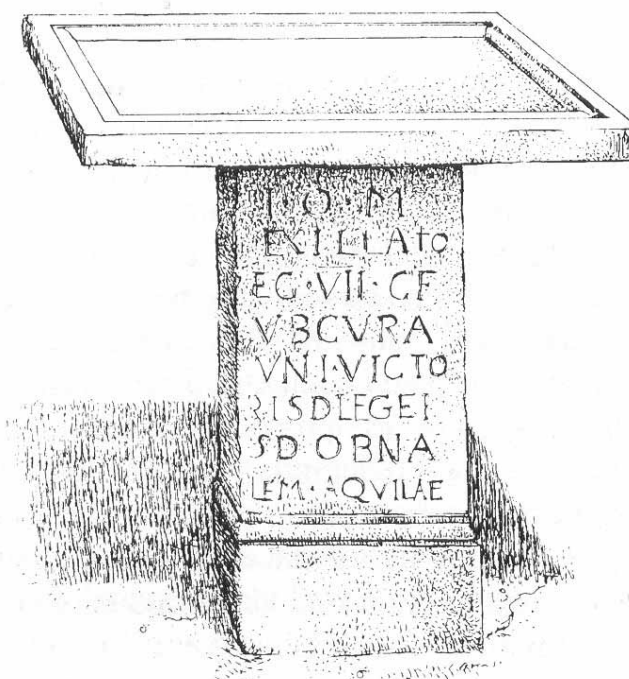
-Plano 16- Arena del anfiteatro de *Tarraco* con las sucesivas basílicas cristianas: la medieval, de planta cruciforme, se superpone a la tardoantigua, con ábside ultrapasado y necrópolis a su alrededor (según TED'A, en GODOY, 1999: 178).



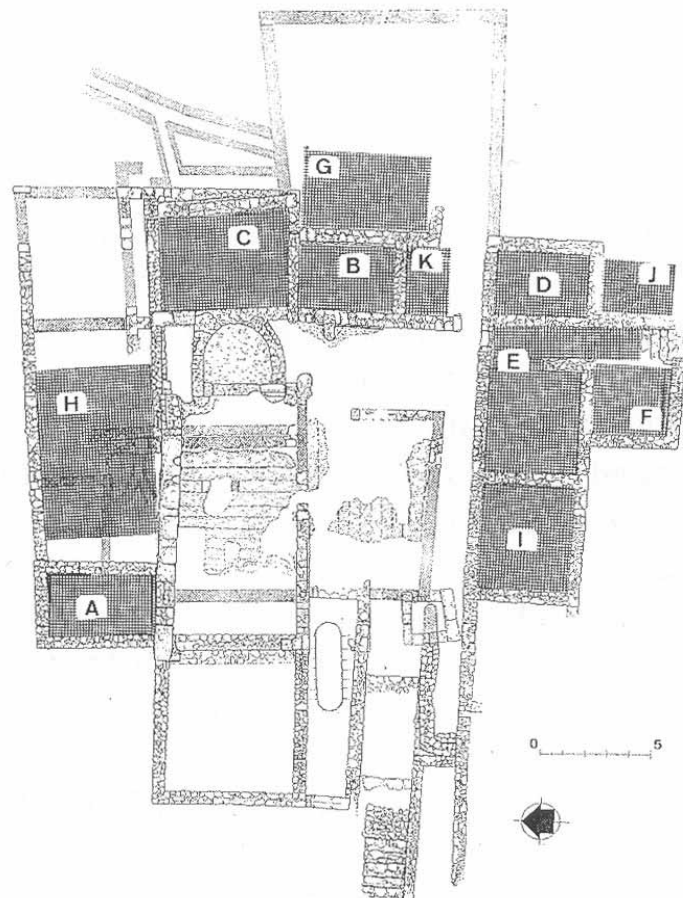
-Plano 17- Santa Magdalena (*Emporion*). Planta general del templo con su necrópolis (AQUILUÉ-NOLLA, 1999: 200).



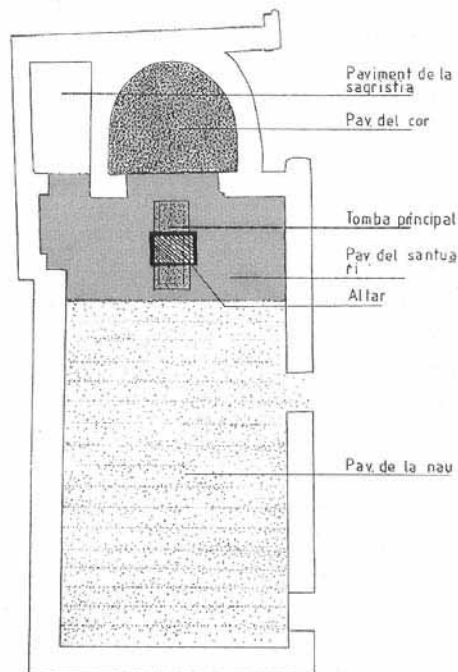
-Plano 18- Planta del foro de *Caesaraugusta* y ubicación de la actual Seo de San Salvador (AGUAROD-MOSTALAC, 1998: 22).



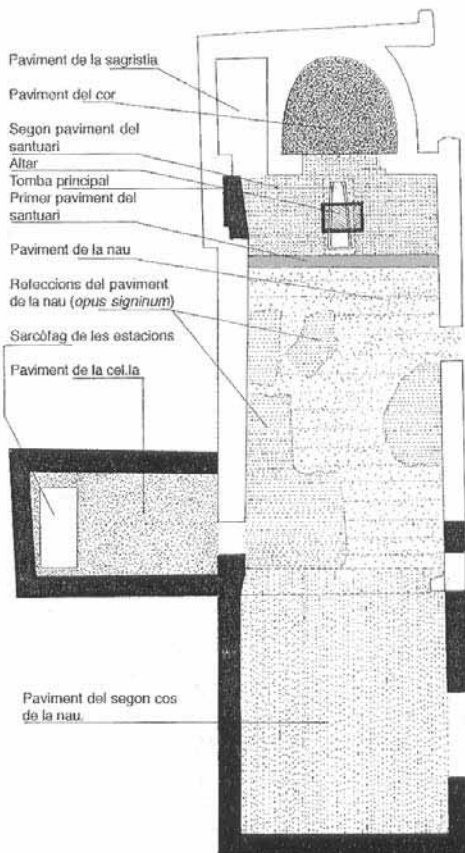
-Plano 19.1- Basílica de la Neápolis. Altar restituido (NOLLA-SAGRERA, 1995: 103).



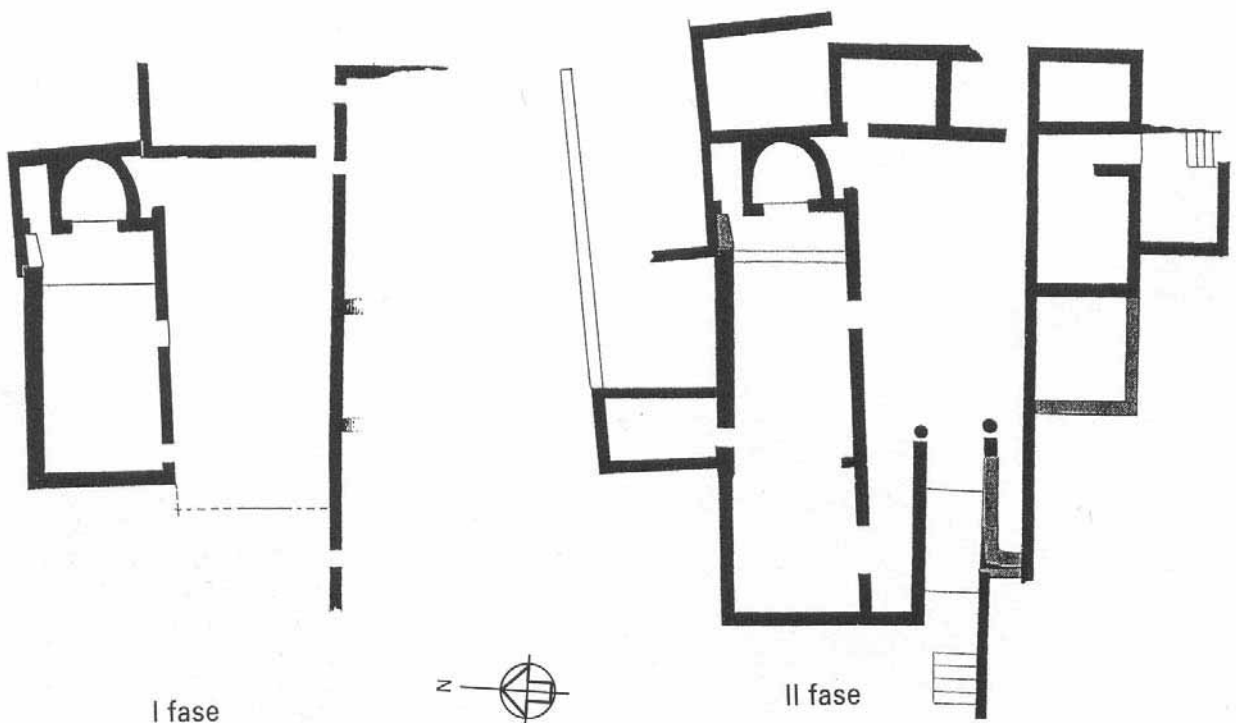
-Plano 19.2- Basílica de la Neápolis. Planta general del templo y de sus construcciones anexas. La letra A corresponde a la capilla, y de la B a la K a los ámbitos funerarios (NOLLA-SAGRERA, 1995: 96).



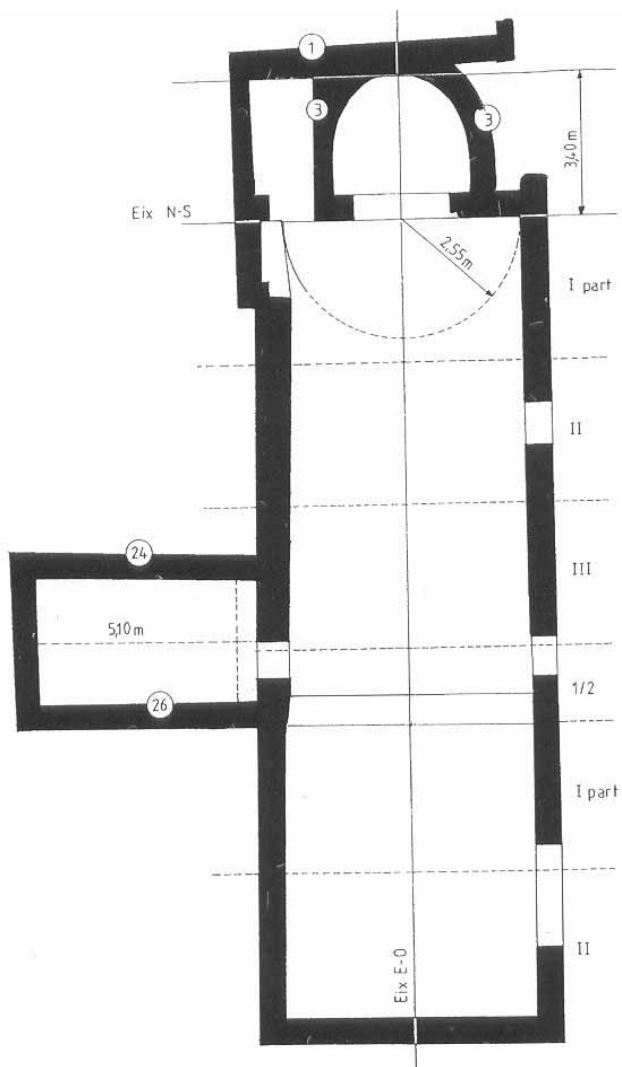
-Plano 19.3- Basílica de la Neápolis. Planta de la fase I (NOLLA-SAGRERA, 1995: 86).



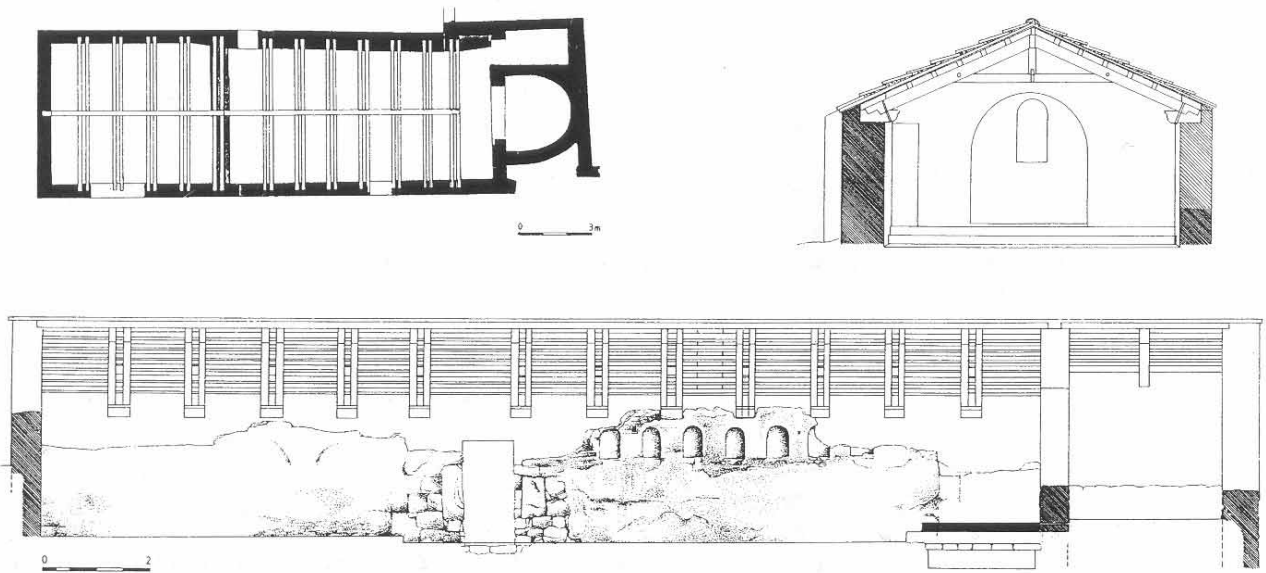
-Plano 19.4- Basílica de la Neápolis. Planta de la fase II (NOLLA-SAGRERA, 1995: 89).



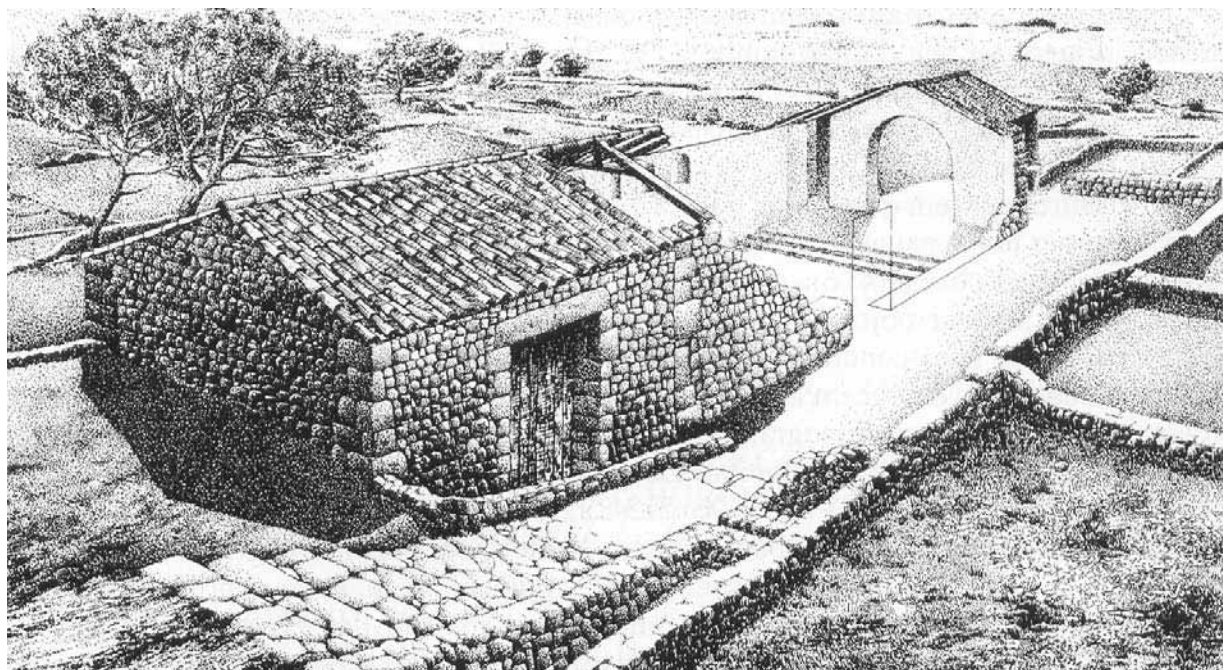
-Plano 19.5- Basílica de la Neápolis y estructuras anexas. Planta de las fases I y II (NOLLA-SAGRERA, 1995: 96).



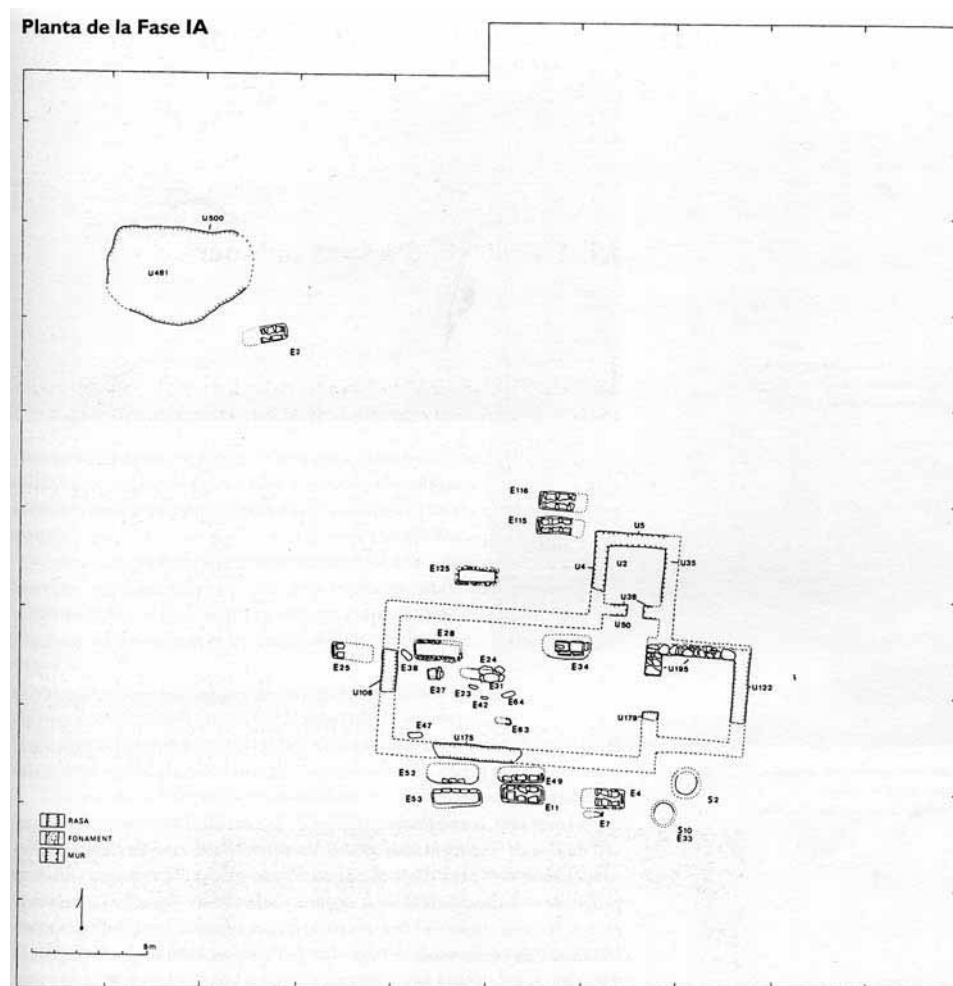
-Plano 19.6- Basílica de la Neápolis. Modulaciones (NOLLA-SAGRERA, 1995: 96).



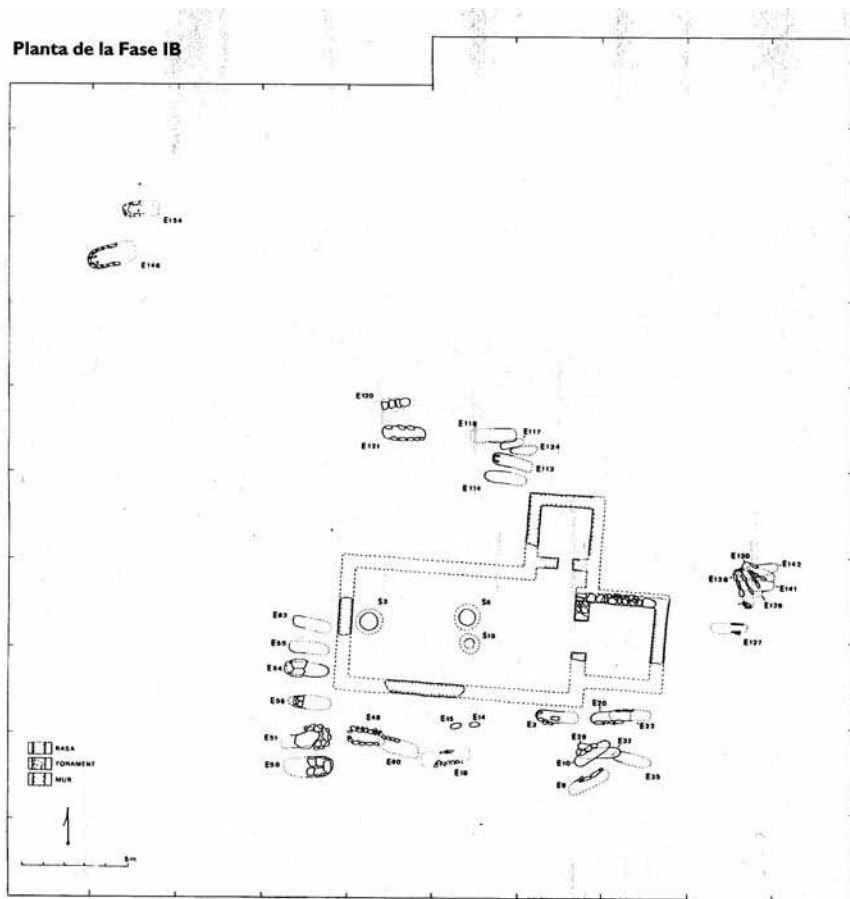
-Plano 19.7- Basílica de la Neápolis. Fase II con alzado y sistema de cobertura (NOLLA-SAGRERA, 1995: 92).



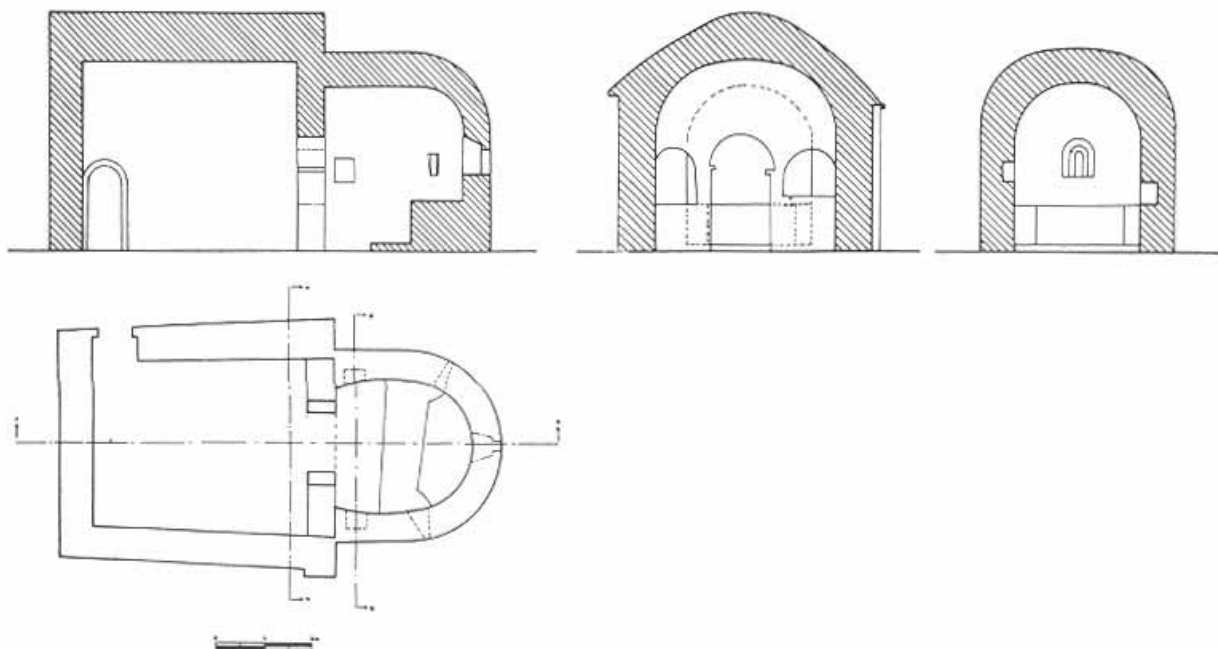
-Plano 19.8- Basílica de la Neápolis. Fase II, restitución (NOLLA-SAGRERA, 1995: 313).



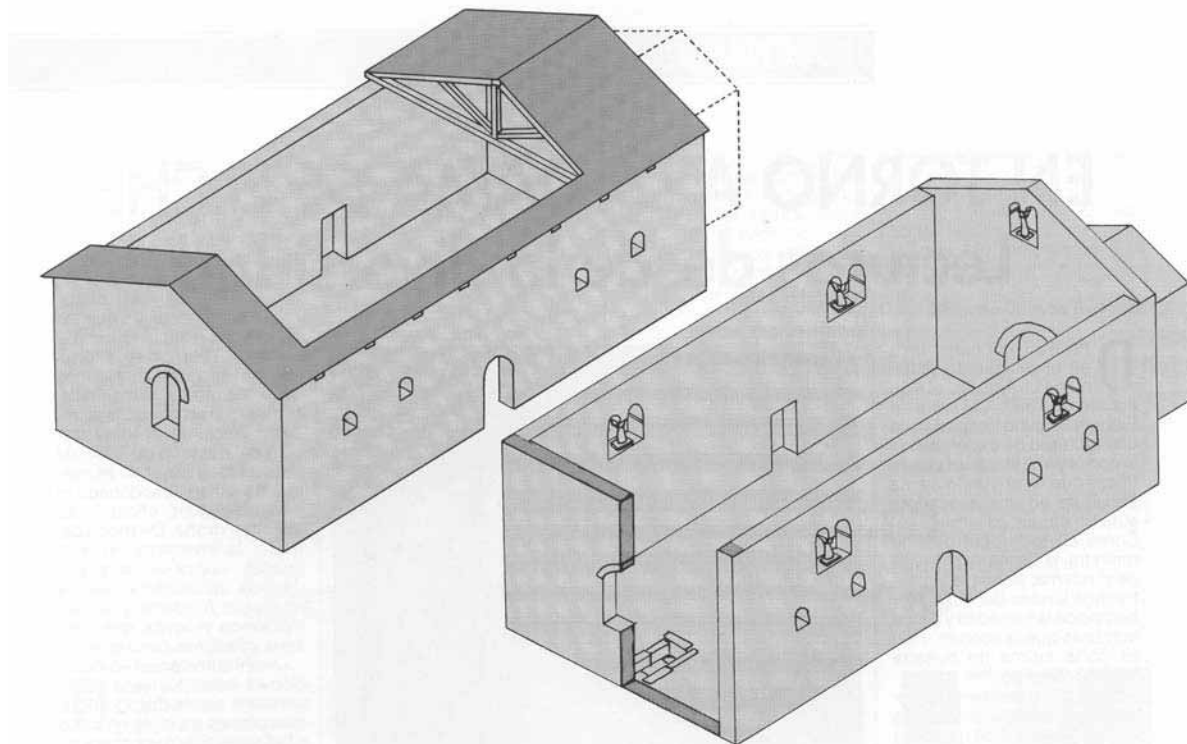
-Plano 20- Iglesia Vieja de Sant Menna (Sentmenat, Barcelona). Planta de la fase IA (ROIG-COLL-MOLINA, 1995: 27).



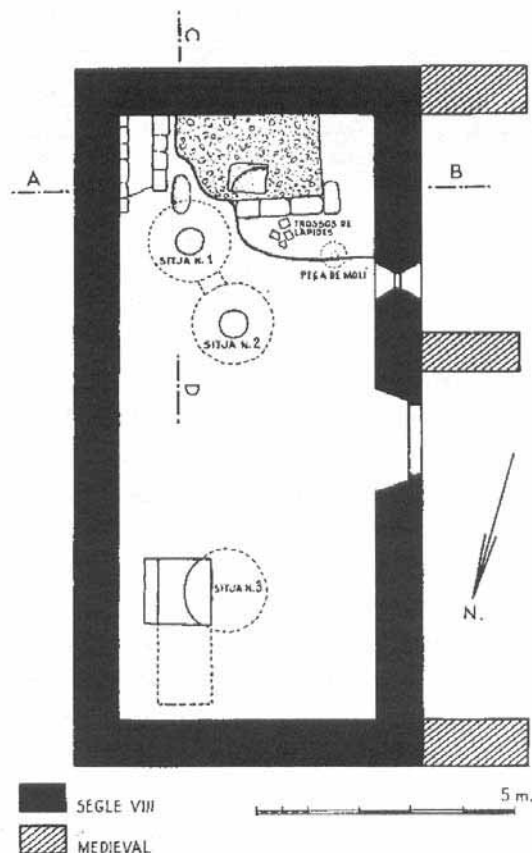
-Plano 20.1- Iglesia Vieja de Sant Menna (Sentmenat, Barcelona). Planta de la fase IB (ROIG-COLL-MOLINA, 1995: 44).



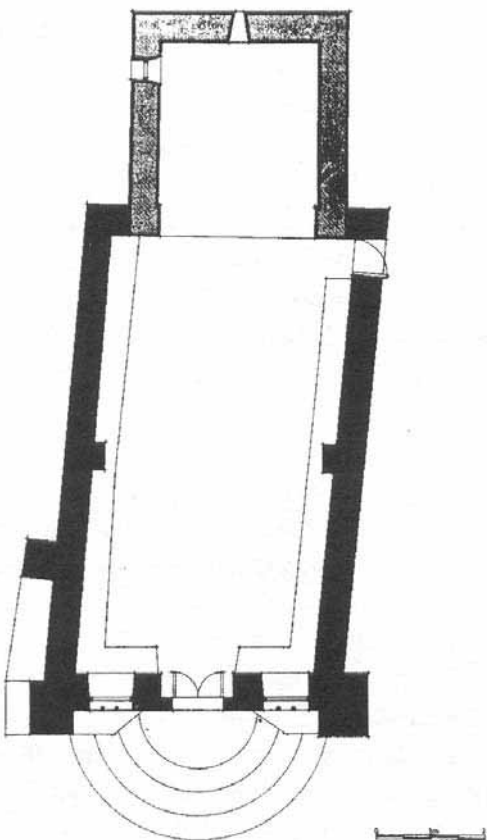
-Plano 21- San Esteban de Viguera, planta y secciones (MONREAL, 1999: 25).



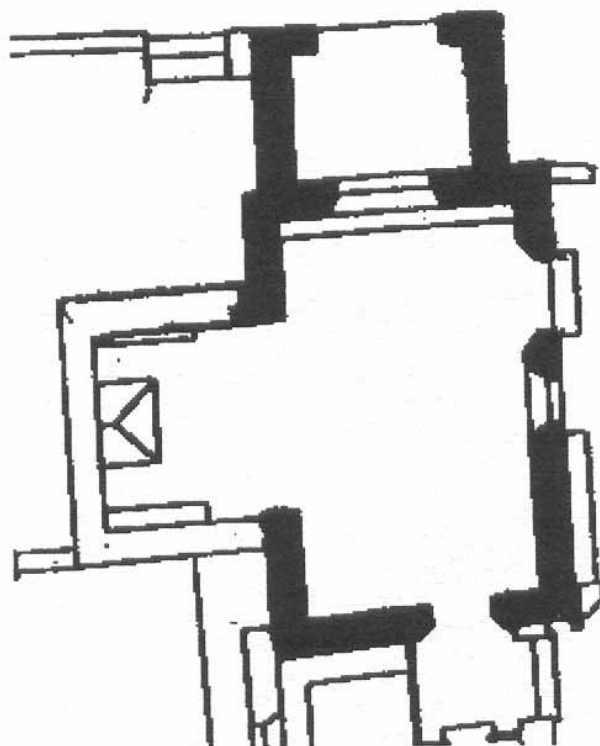
-Plano 22- La Asunción de San Vicente del Valle, reconstrucciones hipotéticas de la 1^a fase —mitad superior— y de la 2^a fase —mitad inferior— (APARICIO, 1995: 59).



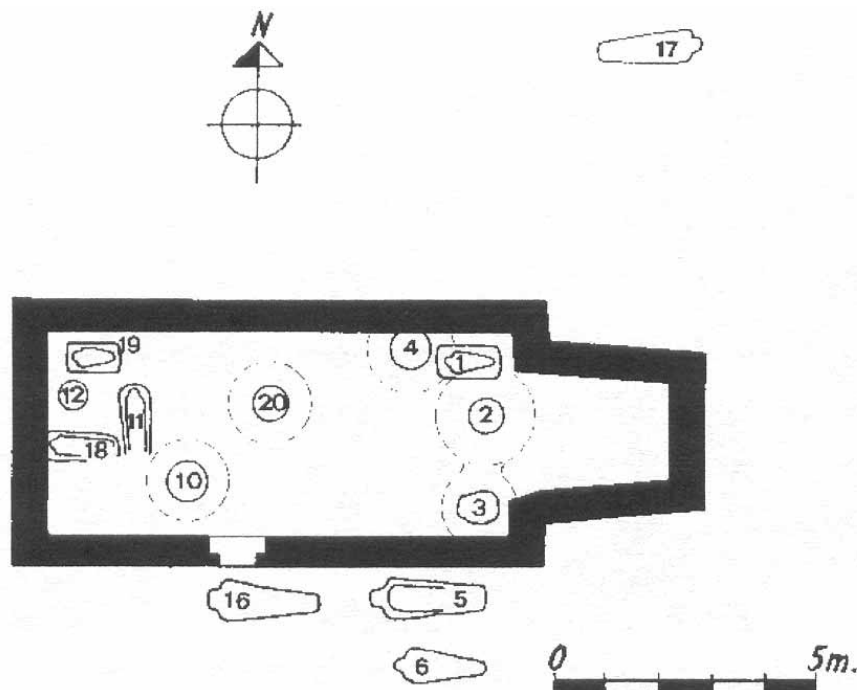
-Plano 23- Sant Martí de Mata (*Iluro*), planta del edificio según M. Ribas (GRAUPERA, 2001-2002 [2]: 35).



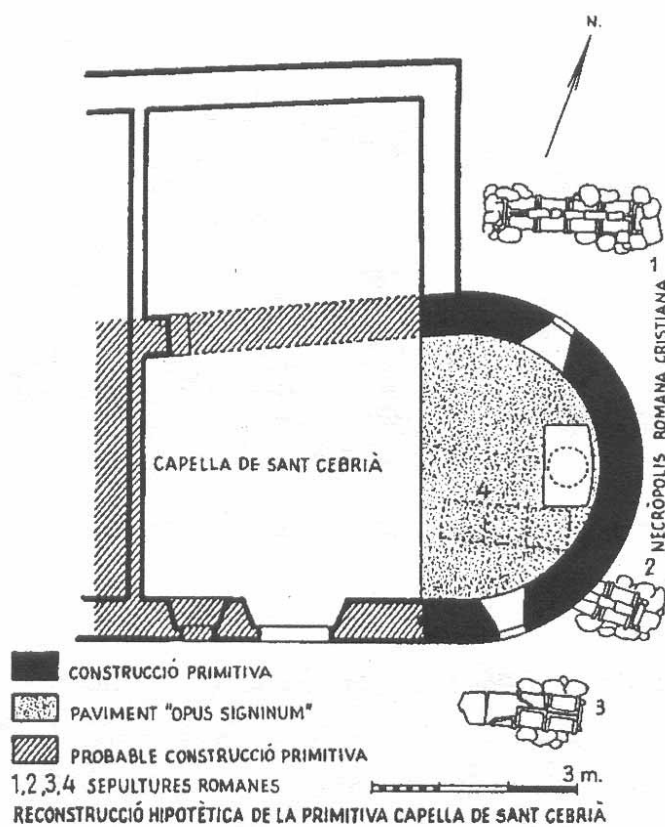
-Plano 24- Sant Salvador (Vilassar de Dalt, Barcelona), planta del edificio (GRAUPERA, 2001-2002 [2]: 52).



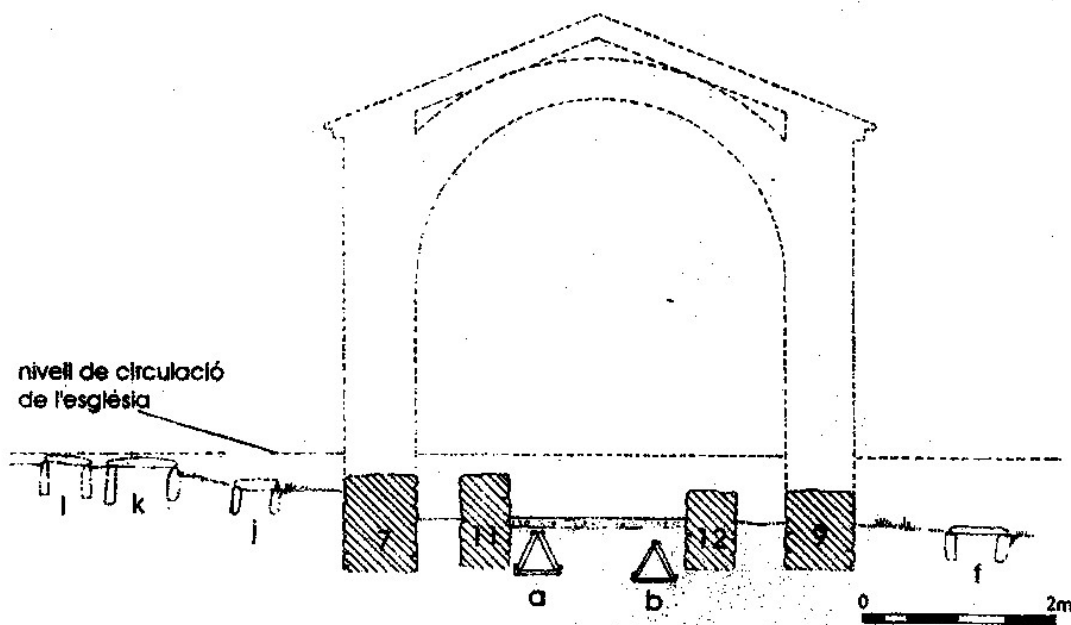
-Plano 25- Santa Anastasia (Premià de Mar, Barcelona), planta del edificio (GRAUPERA, 2001-2002 [2]: 56).



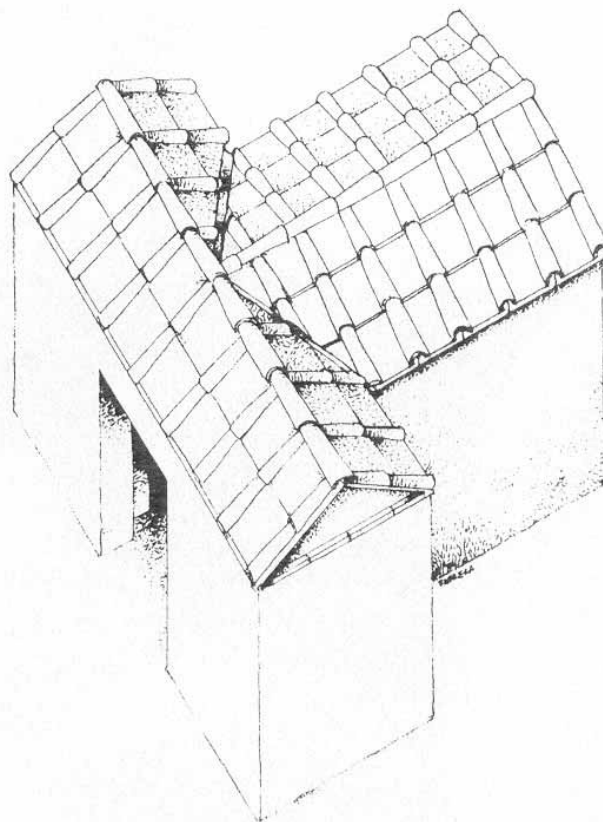
-Plano 26- Sant Cugat de Traià (Argentona, Barcelona), planta del edificio (GRAUPERA, 2001-2002 [2]: 68).



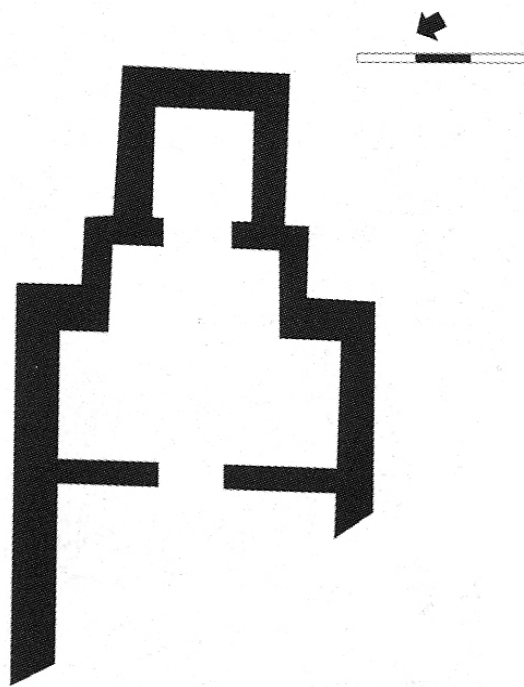
-Plano 27- Sant Cebrià, hoy Santa Margarida (Cabrera de Mar, Barcelona). Planta del edificio según M. Ribas (GRAUPERA, 2001-2002 [2]: 74).



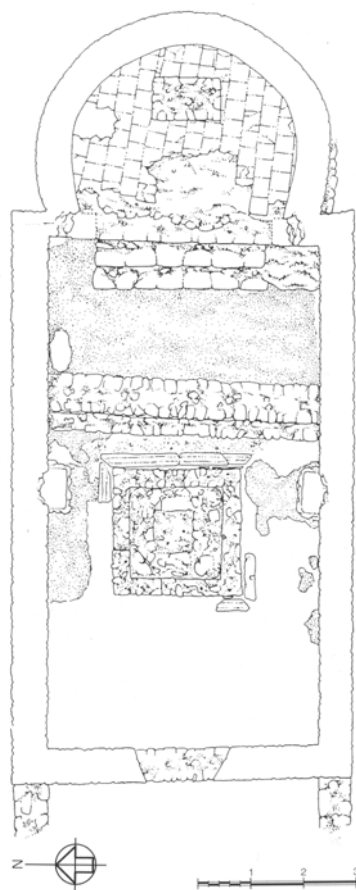
-Plano 28- Basílica de Santa Cristina d'Aro. Sección del ábside, con las dos tumbas de *tegulae*, según las últimas interpretaciones (AICART-NOLLA-SAGRERA, 1999: 27).



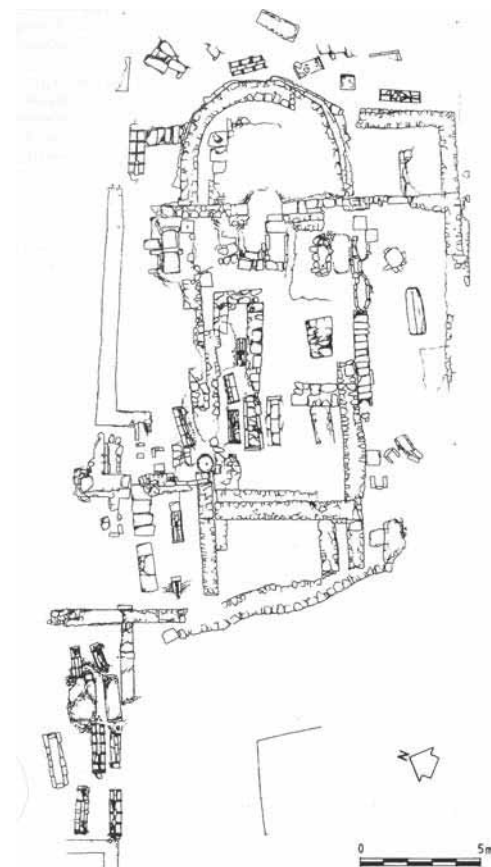
-Plano 29- Basílica de Santa Cristina d'Aro. Restitución del hipotético mausoleo/1^a fase del edificio (AICART-NOLLA-SAGRERA, 1999: 30).



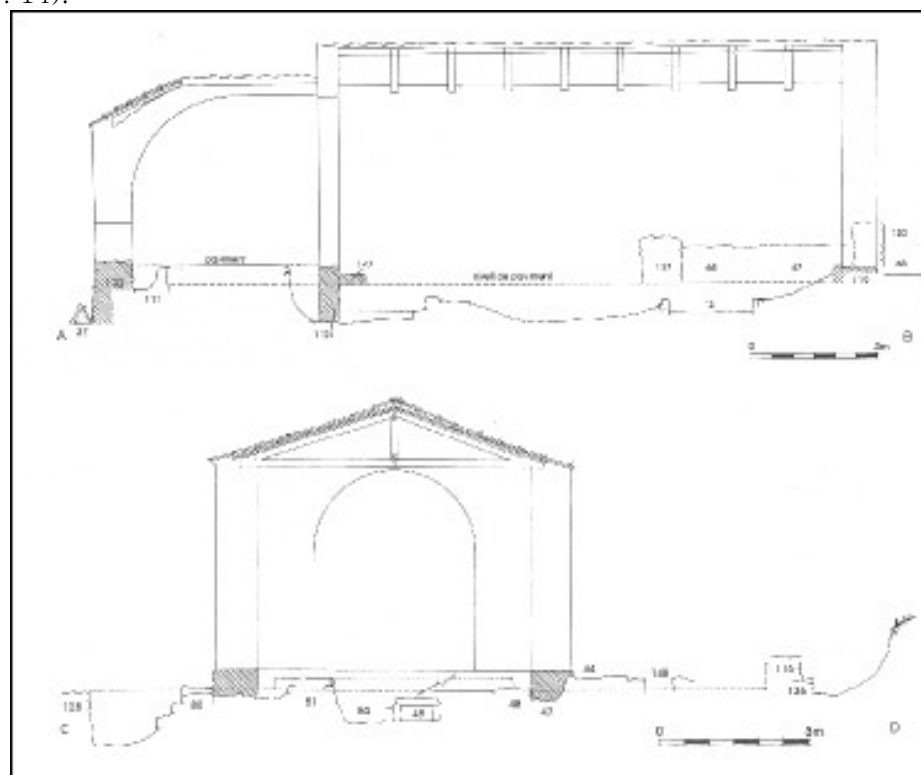
-Plano 30- Basílica de Santa Cristina d'Aro. Planta de la basílica, según las últimas interpretaciones (AICART-NOLLA-PALAHÍ, 2008: 77).



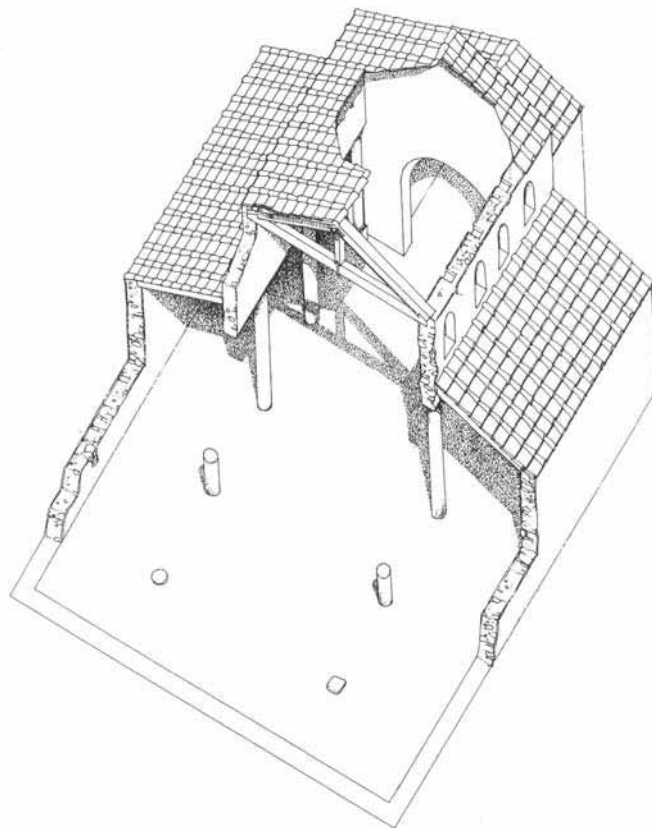
-Plano 31- Santa Margarida (*Emporion*). Planta general de la iglesia, con la piscina bautismal en el centro (AQUILUÉ,-NOLLA, 1999b: 201).



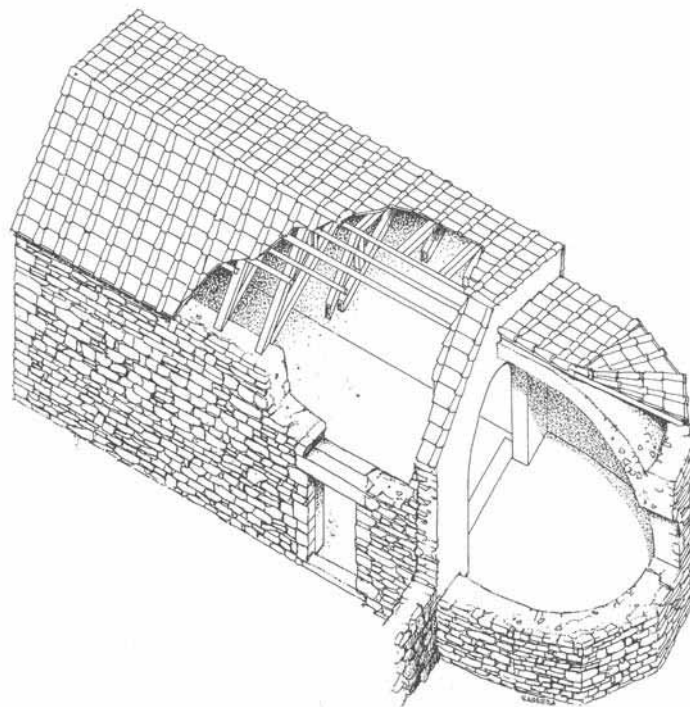
-Plano 32- Basílica de Mas Castell, planta general de la basílica y de la necrópolis (BURCH et ALII, 1999: 14).



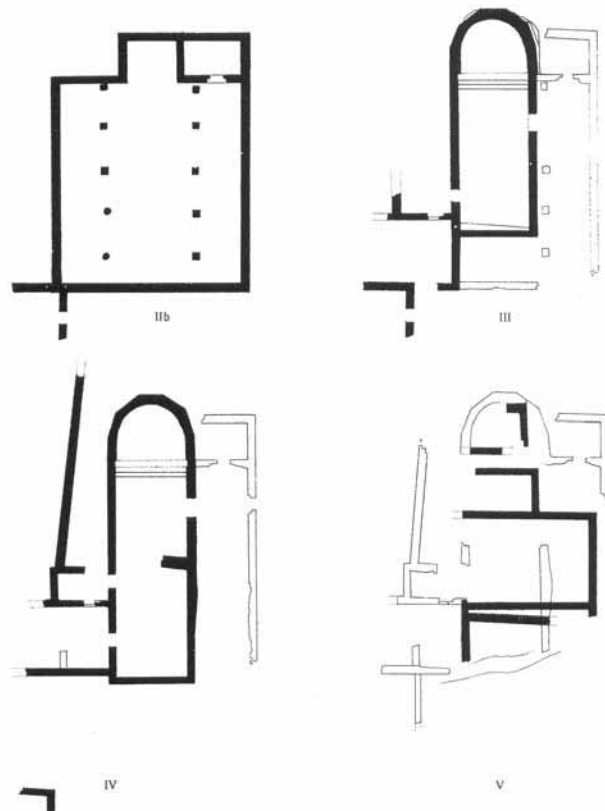
-Plano 33- Basílica de Mas Castell, secciones de la fase III (BURCH et ALII, 1999: 38-39).



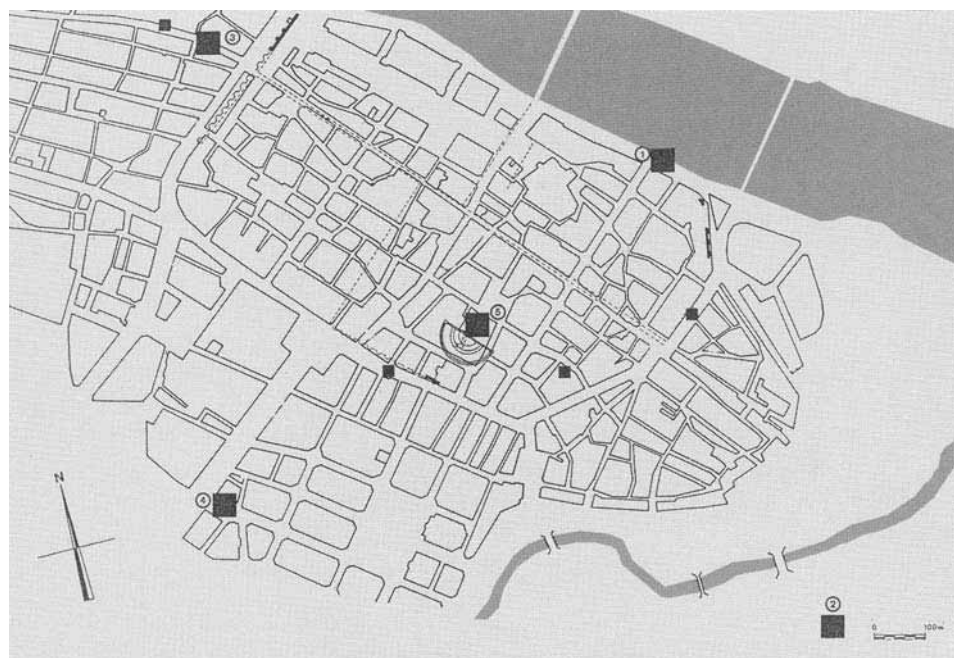
-Plano 34- Basílica de Mas Castell, restitución de la fase IIA (BURCH et ALII, 1999: 38).



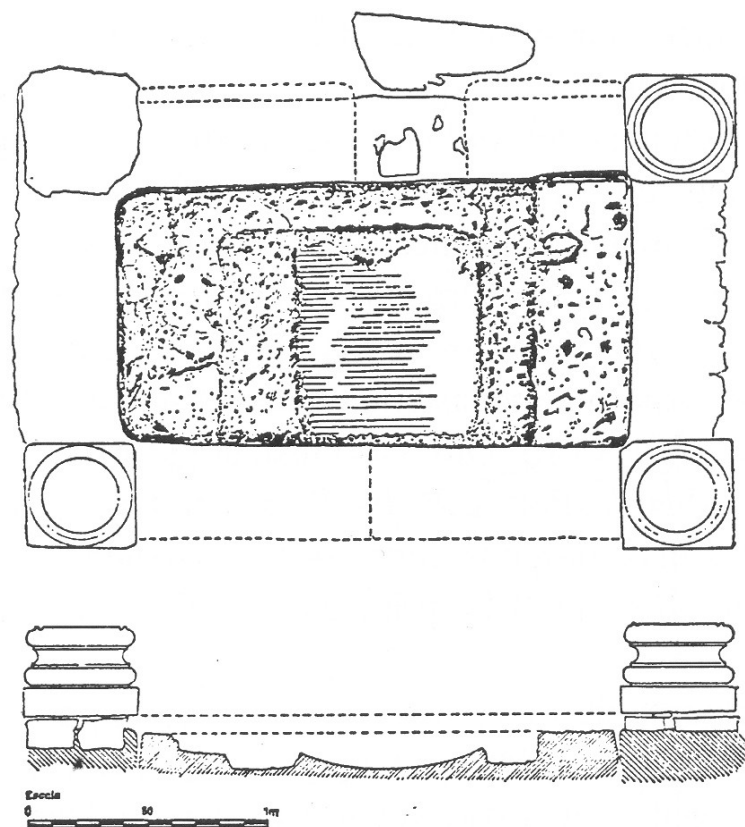
-Plano 35- Basílica de Mas Castell, restitución de la fase III (BURCH et ALII, 1999: 39).



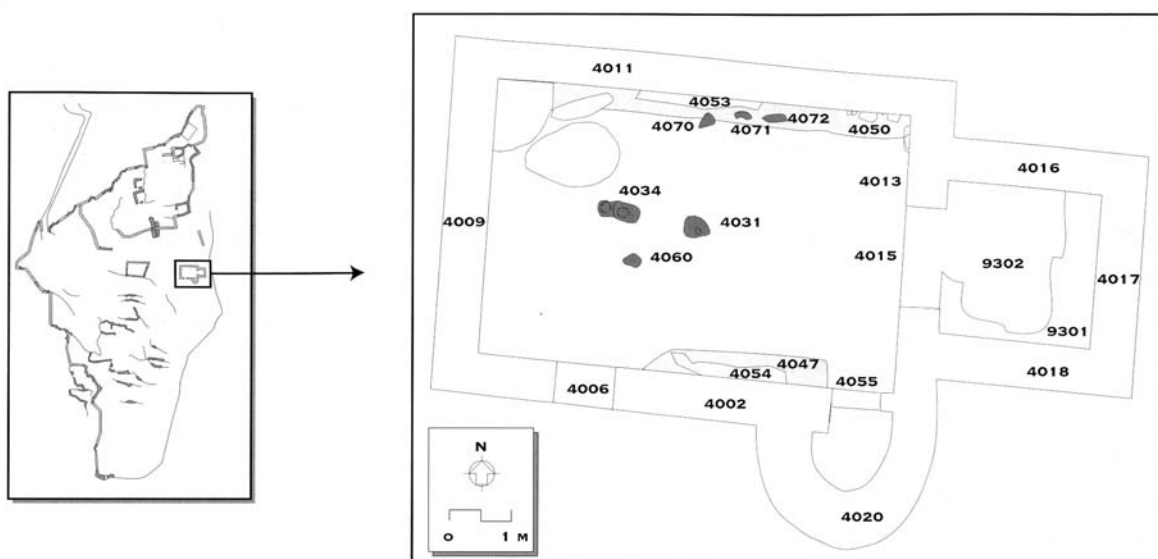
-Plano 36- Basílica de Mas Castell, evolución de la planta por fases (BURCH et ALII, 1999: 41).



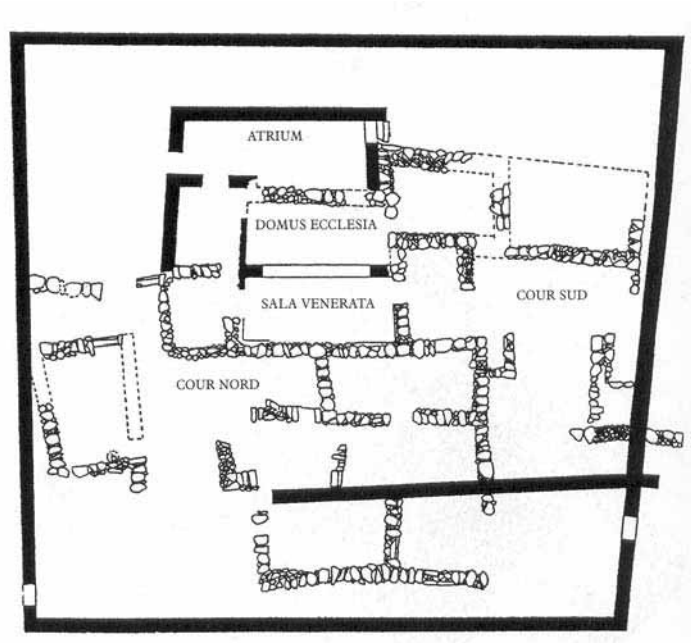
-Plano 37- Necrópolis tardoantiguas de *Caesaraugusta* (AGUAROD-MOSTALAC, 1998: 14).



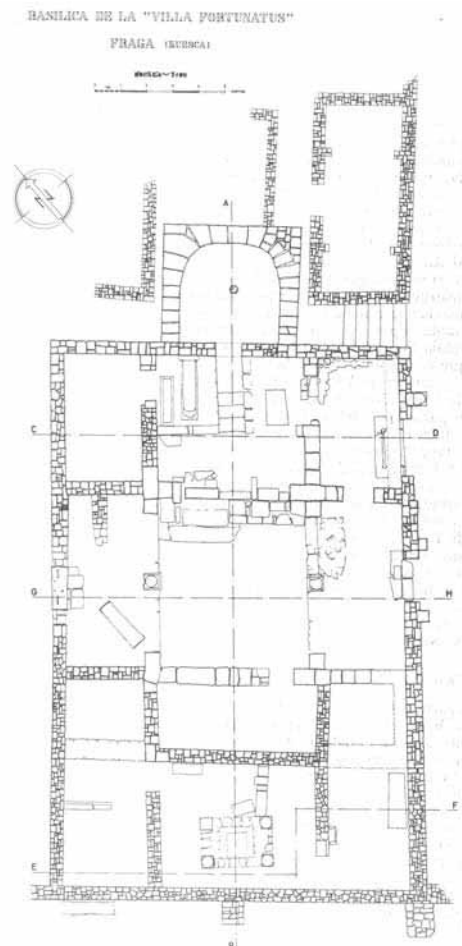
-Plano 38- Villa Fortunatus (Fraga). Planta y sección de la piscina bautismal (PALOL, 1972b: 183).



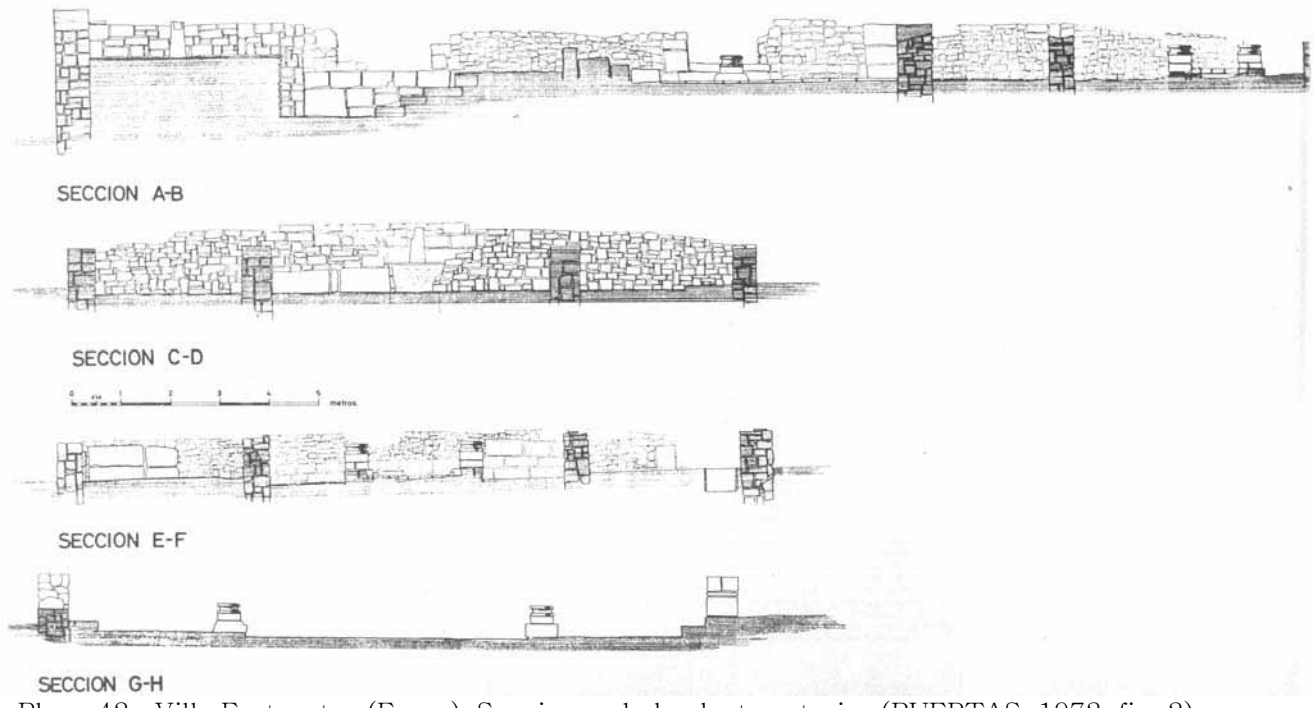
-Plano 39- Sant Vicenç del Roc d'Enclar, Andorra. Planta de la iglesia a finales del siglo VII (LLOVERA et ALII, 1997: 408).



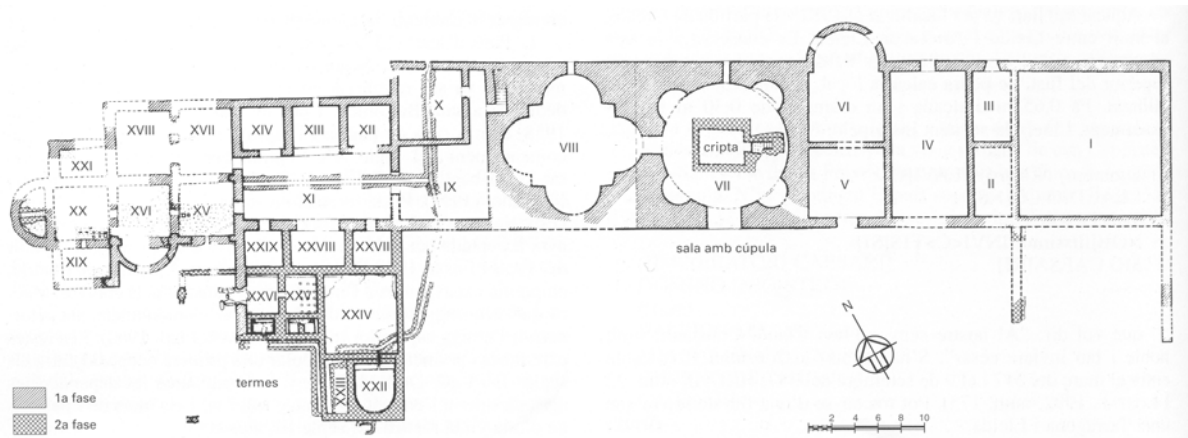
-Plano 40- *Domus ecclesiae* de la *insula sacra* de Cafarnaúm, en Palestina (CRIPPA-ZIBAWI, 1998: 50). Apréciese la imposibilidad de identificar arqueológicamente este tipo de arquitectura doméstica como espacio de culto. En *Hispania*, ello aún no ha sido posible.



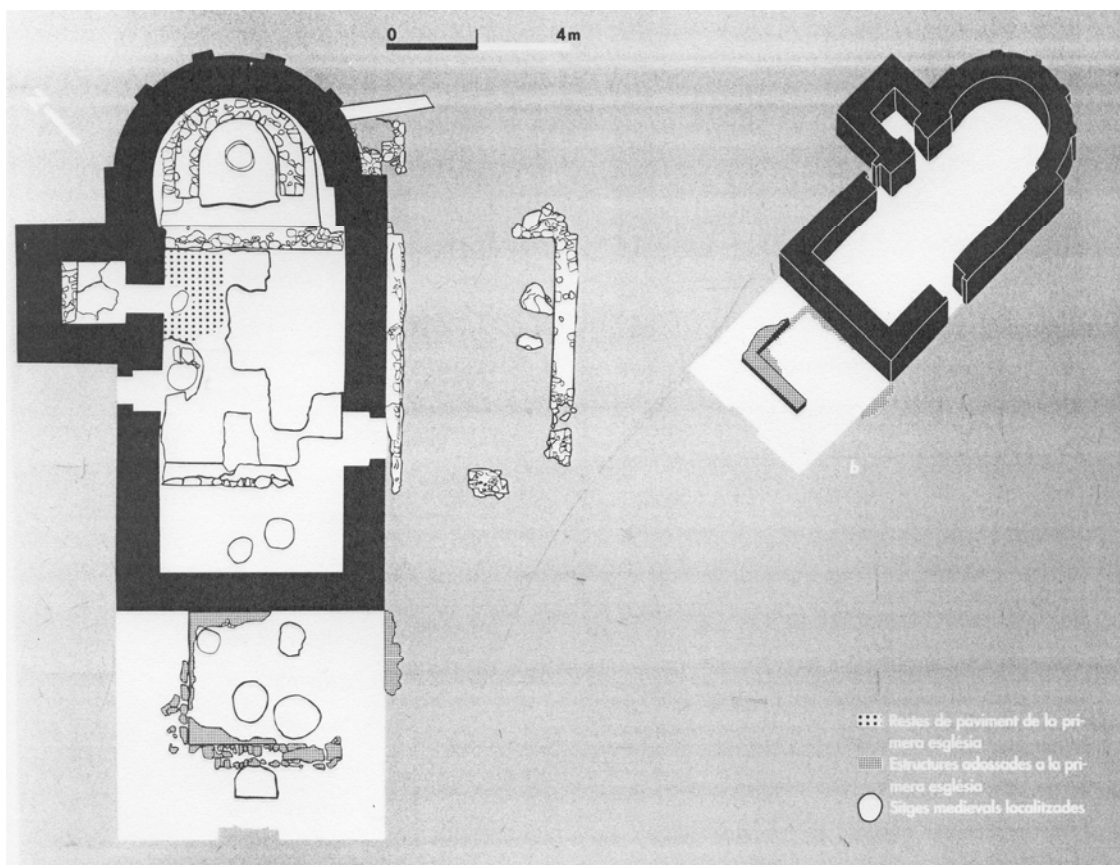
-Plano 41- Villa Fortunatus (Fraga). Planta general de la basílica según R. Puertas (PUERTAS, 1972: fig. 1).



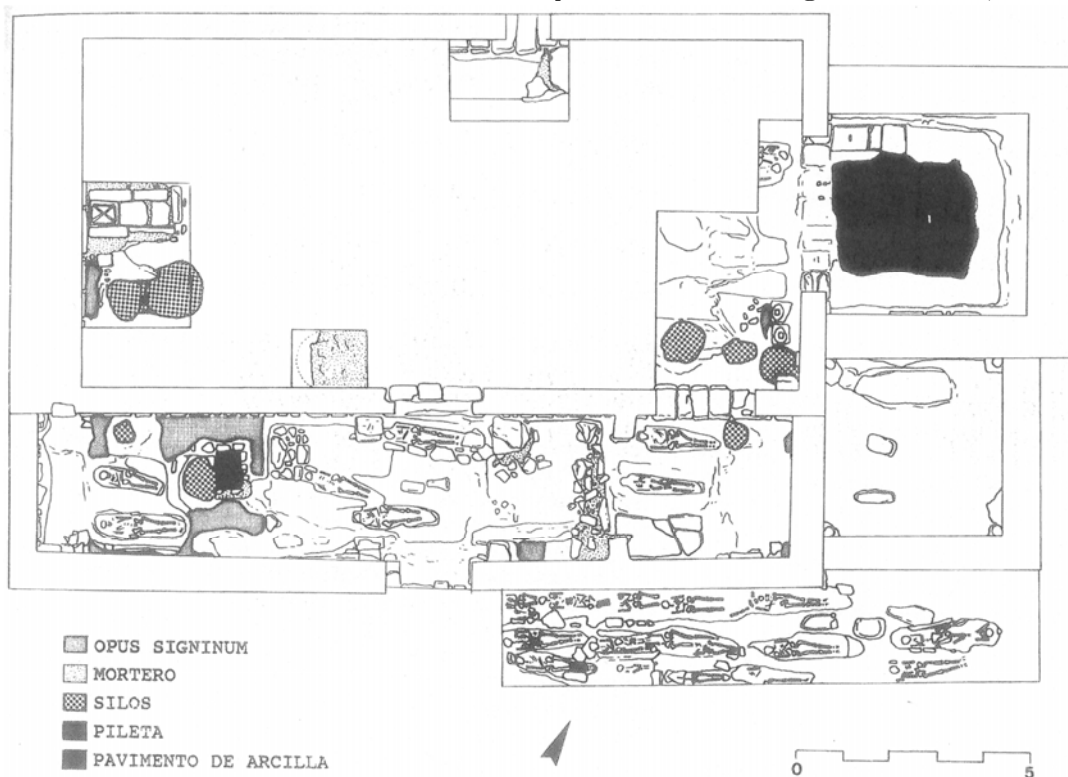
-Plano 42- Villa Fortunatus (Fraga). Secciones de la planta anterior (PUERTAS, 1972: fig. 2).



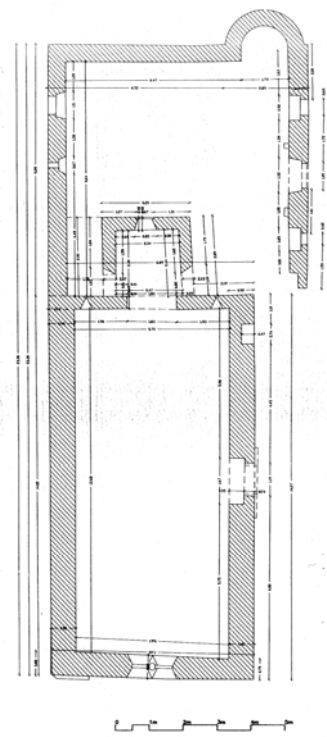
-Plano 43- Monumento de Centcelles (Constantí, Tarragona). Planta general de la villa con el mausoleo cristiano, según T. Hauschild (VVAA, 1999: 128).



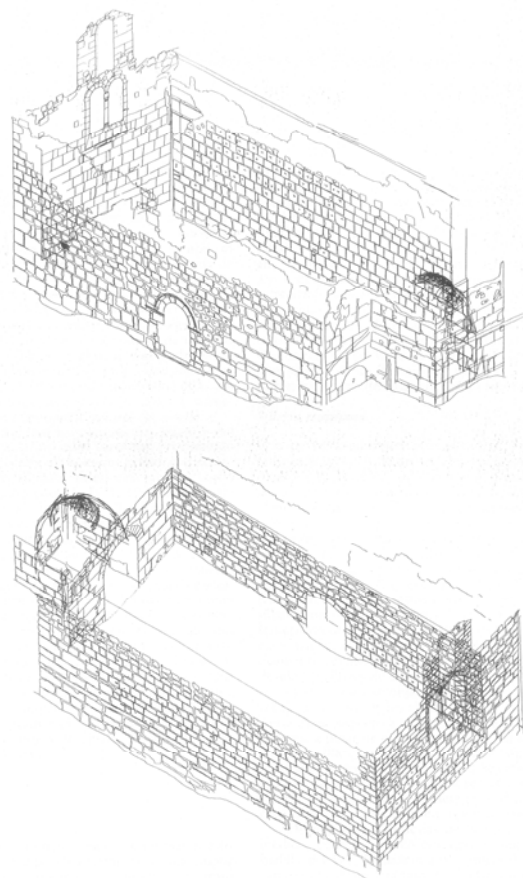
-Plano 44- Sant Pau de Riu-sec (Sabadell, Barcelona). Planta general del templo actual —en negro— con indicación de las estructuras de la primera fase de la iglesia (MAURI, 1996: 33).



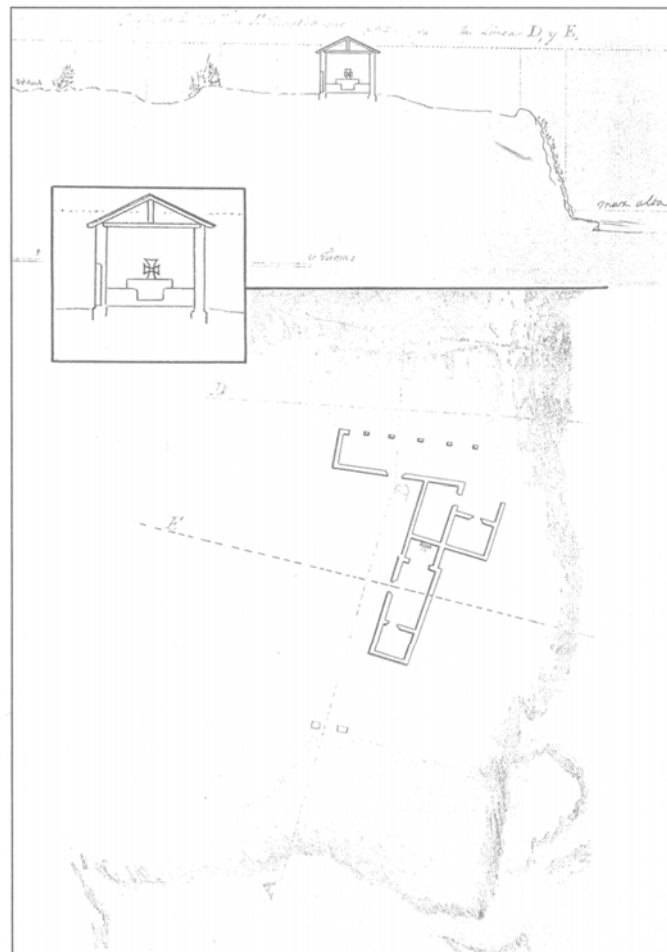
-Plano 45- La Asunción de San Vicente del Valle, planta general con los elementos más significativos (APARICIO-FUENTE, 1996: 159).



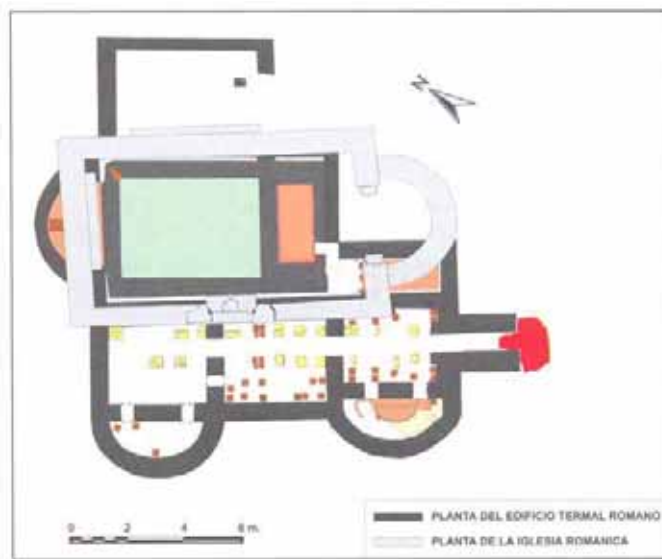
-Plano 46- San Pedro el Viejo de Arlanza, Hortigüela. Planta general del edificio en su estado actual (CABALLERO-CÁMARA-LATORRE-MATESANZ, 1994: 144).



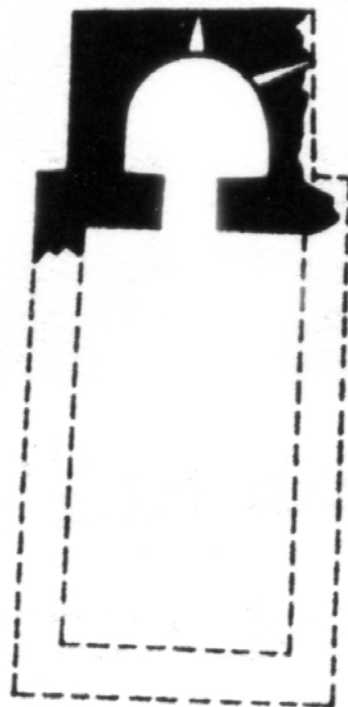
-Plano 47- San Pedro el Viejo de Arlanza, Hortigüela. Perspectivas del edificio en su estado actual (CABALLERO-CÁMARA-LATORRE-MATESANZ, 1994: 150).



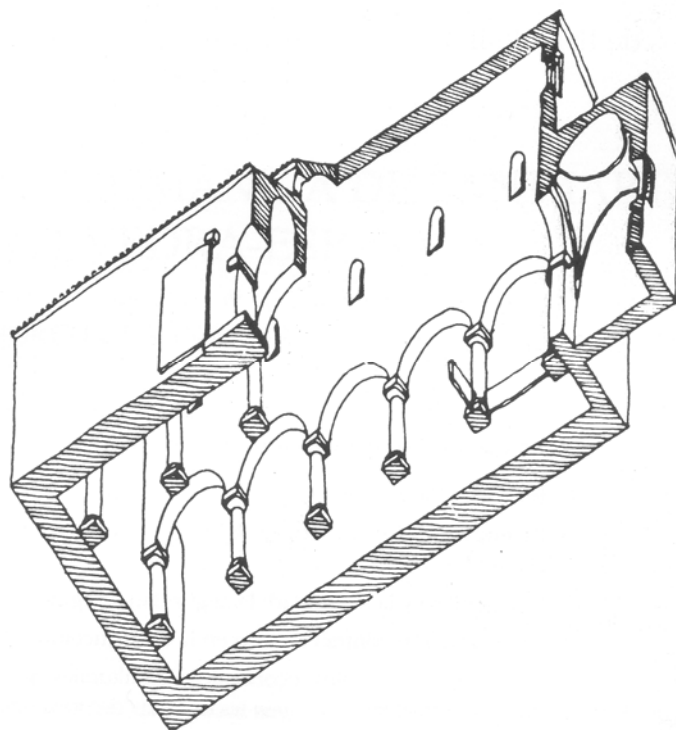
-Plano 48- San Martín, Santander. Planta y sección de la ermita en su estado actual (GONZÁLEZ ECHEGARAY-CASADO, 2003: 477).



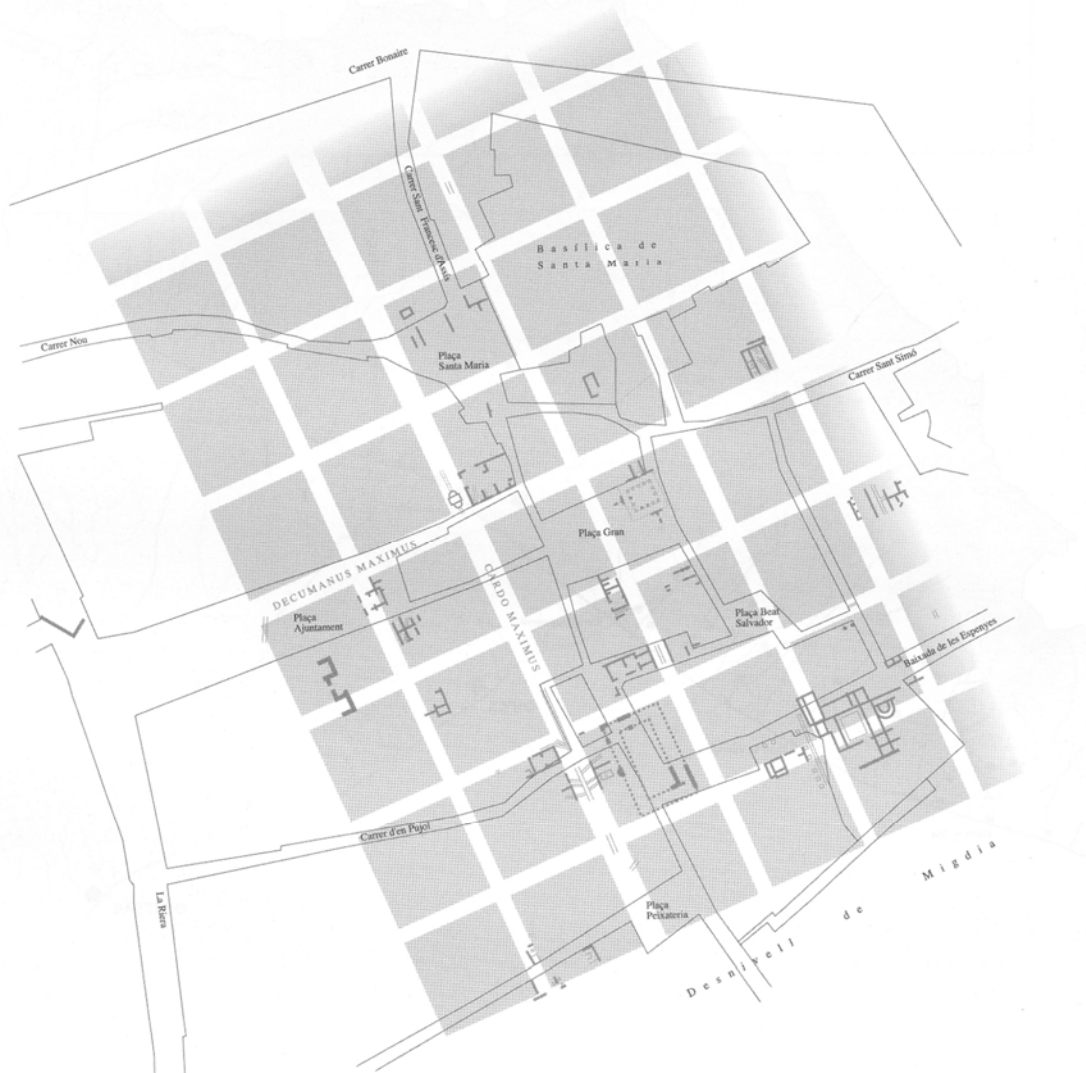
-Plano 49- San Juan de Maliaño, Camargo. Planta de la iglesia asentada sobre unas termas romanas (SAN MIGUEL-MUÑOZ-MORLOTE-MONTES, 2003: 519).



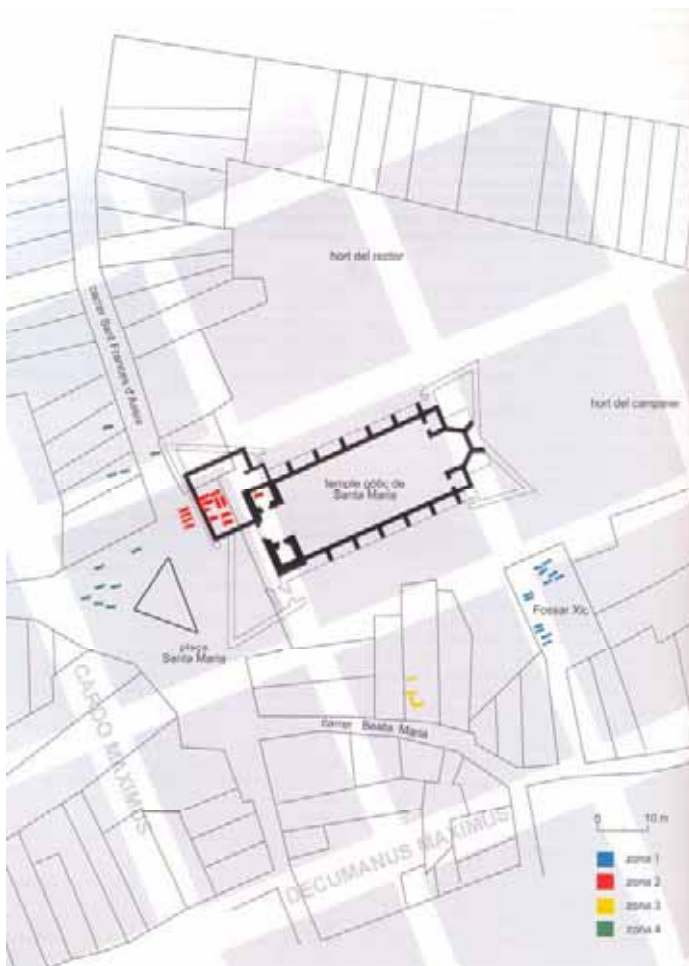
-Plano 50- Sant Miquel (Olèrdola, Barcelona). Planta restituida de la iglesia más primitiva (MOLIST, 1999: 55).



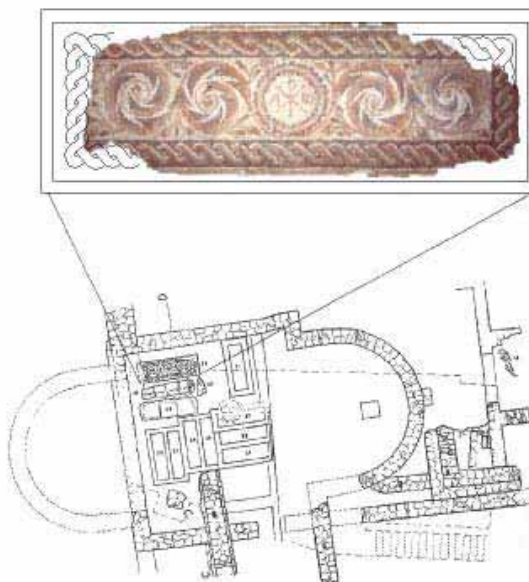
-Plano 51- San Pedro el Viejo de Arlanza, Hortigüela. Reconstrucción ideal del primer edificio (CABALLERO-CÁMARA, 1995: 89).



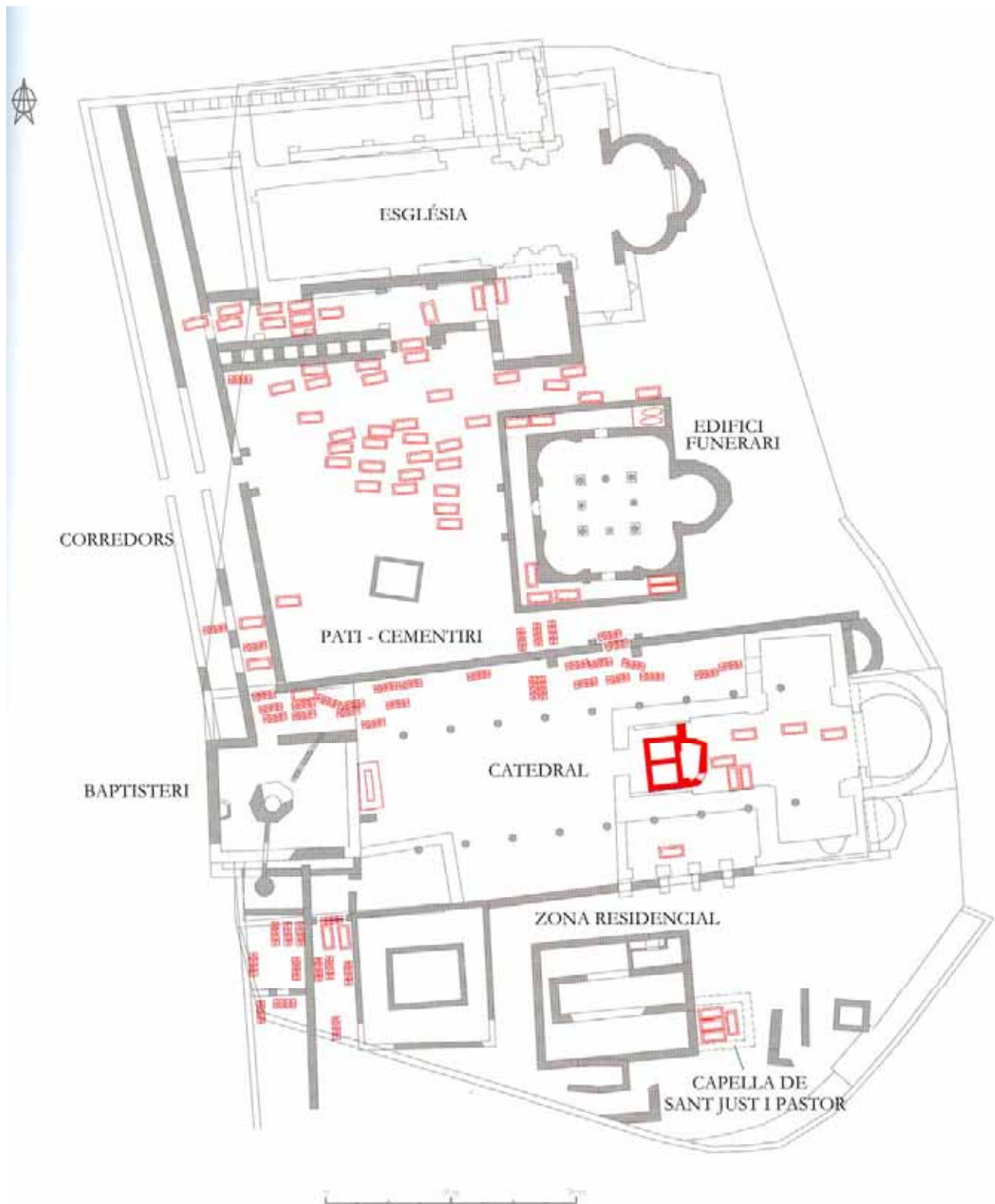
-Plano 52- Santa María (*Ilturo*). Planta de las *insulae* romanas —en gris— y situación de la actual iglesia parroquial de Santa María (CELA-REVILLA, 2004: 20).



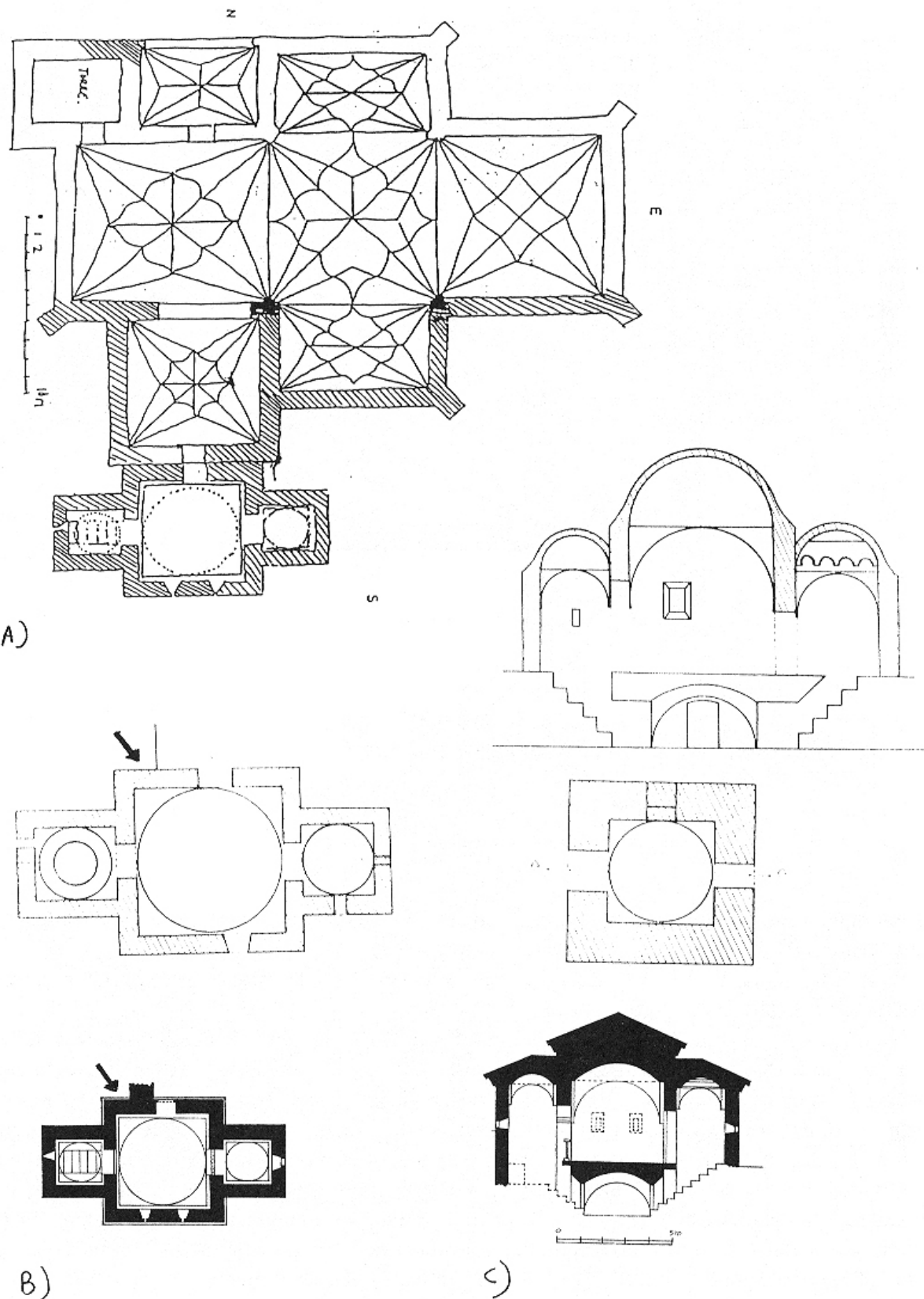
-Plano 53- Santa María (*Iluro*). Detalle del plano anterior, con restitución de la iglesia gótica de Santa María e indicación de las zonas documentadas de necrópolis tardoantigua (CELA-REVILLA, 2004: 318). Obsérvese la adecuación del templo gótico a los límites de la antigua *insula* romana encima de la cual se instaló.



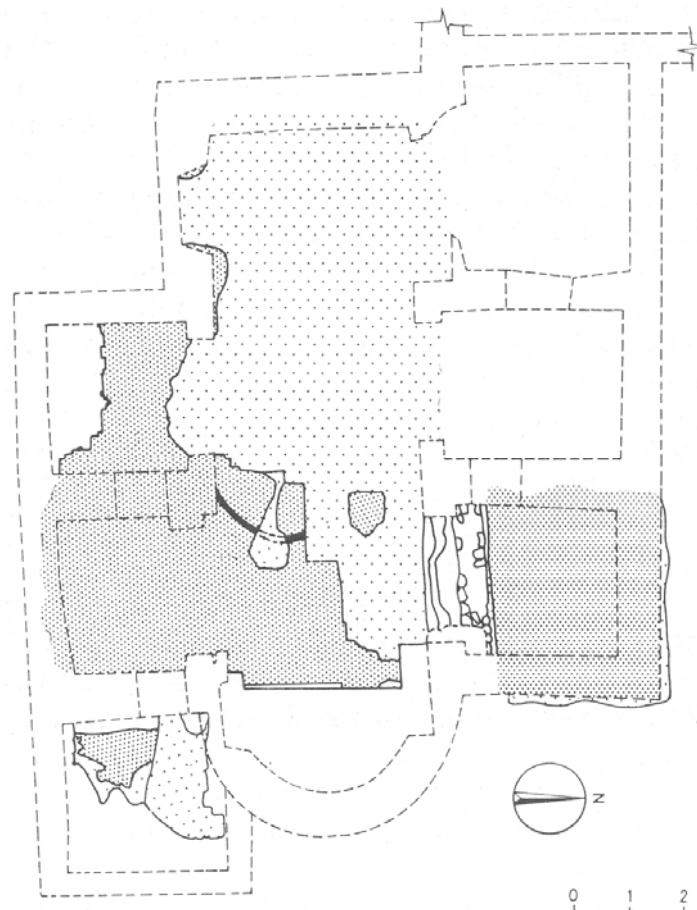
-Plano 54- *Cella Memoriae* de la Plaza Antoni Maura (Barcelona), planta del edificio según TRAVESSET, 1993. La foto del mosaico es de P. Vivas y la ha cedido el Museu d'Història de la Ciutat de Barcelona.



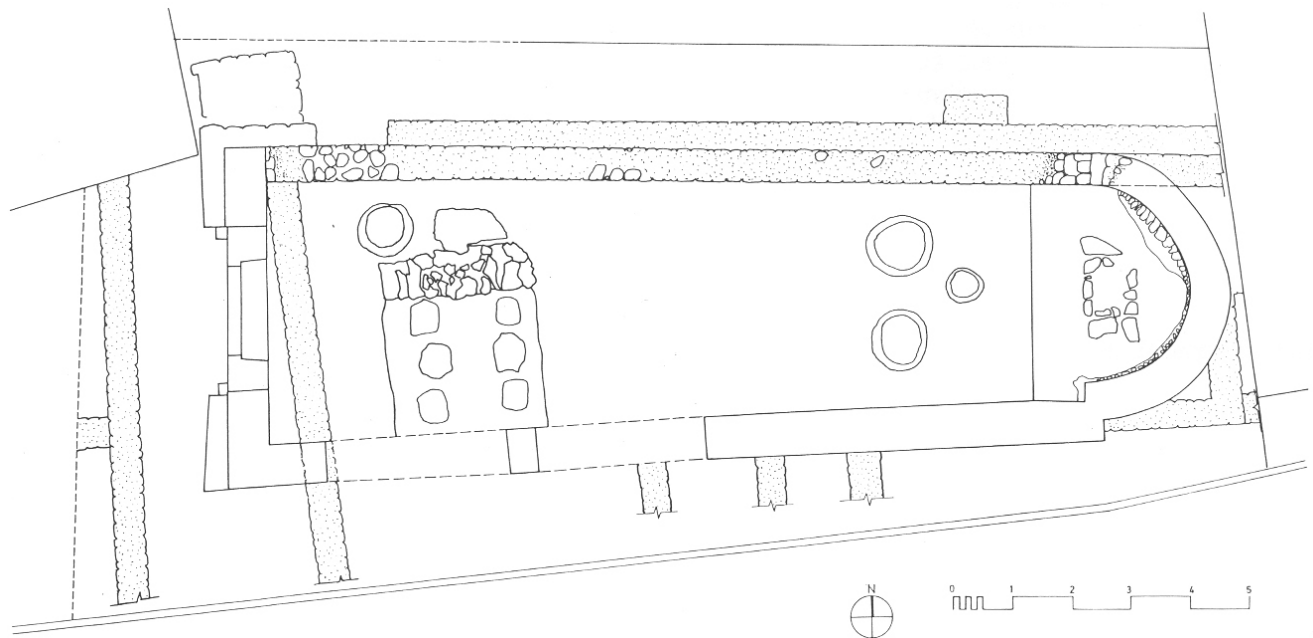
-Plano 55- Grupo episcopal/conjunto de Sant Pere (Terrassa, Barcelona). Planta general del grupo episcopal entre 450/460 e inicios del siglo VI (GARCIA-MORO-TUSET, 2009: 107).



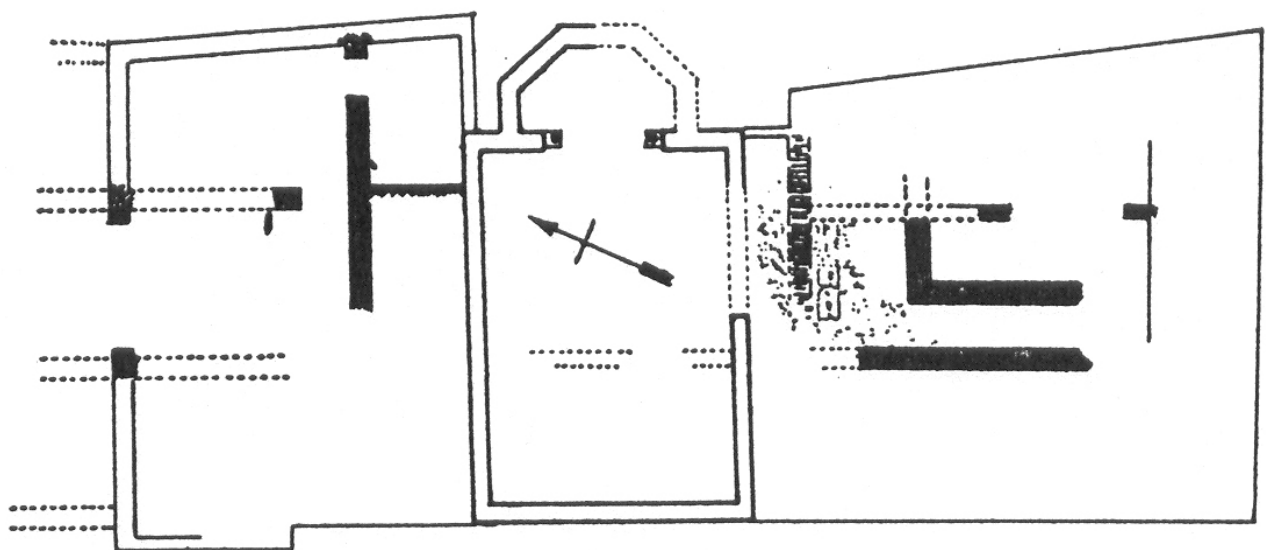
-Plano 56- *Martyrium* de Santa Coloma. El monumento integrado en la actual iglesia parroquial, con detalles de las plantas a distintos niveles y de las secciones (LÓPEZ-HERNÁEZ, 1998: 517).



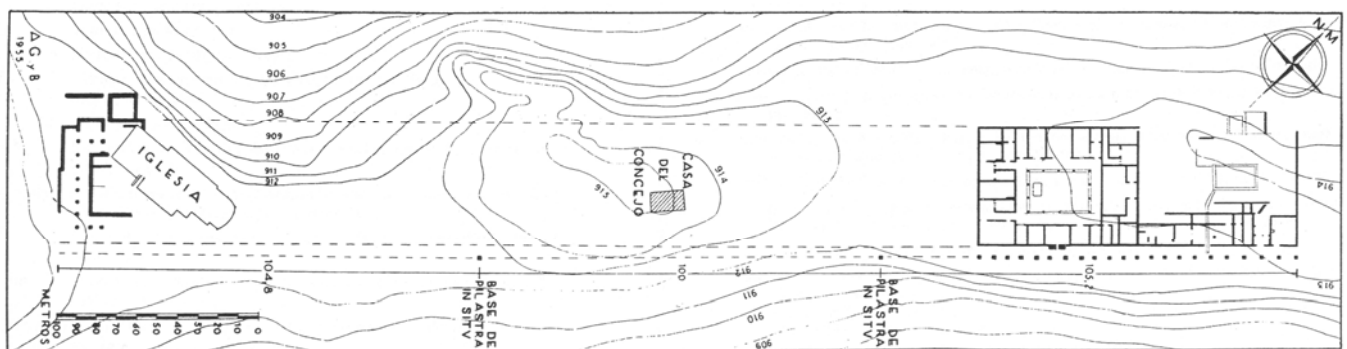
-Plano 57- Sant Valentí de les Cabanyes (Les Cabanyes del Penedès, Barcelona), planta de la iglesia medieval con el mosaico altoimperial —trama mas clara—, según A. López y X. Fierro (AIAC, 1993: 34).



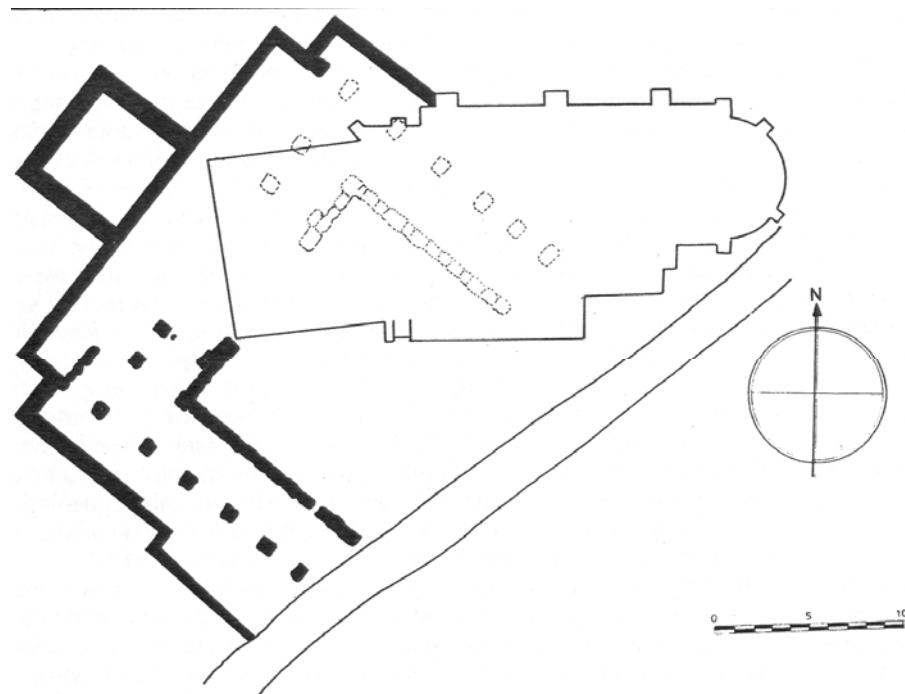
-Plano 58- Sant Bartomeu (Navarcles, Barcelona), planta de la iglesia medieval asentada sobre muros romanos —muros punteados—, según A. Caixal y A. López (AIAC, 1993: 39).



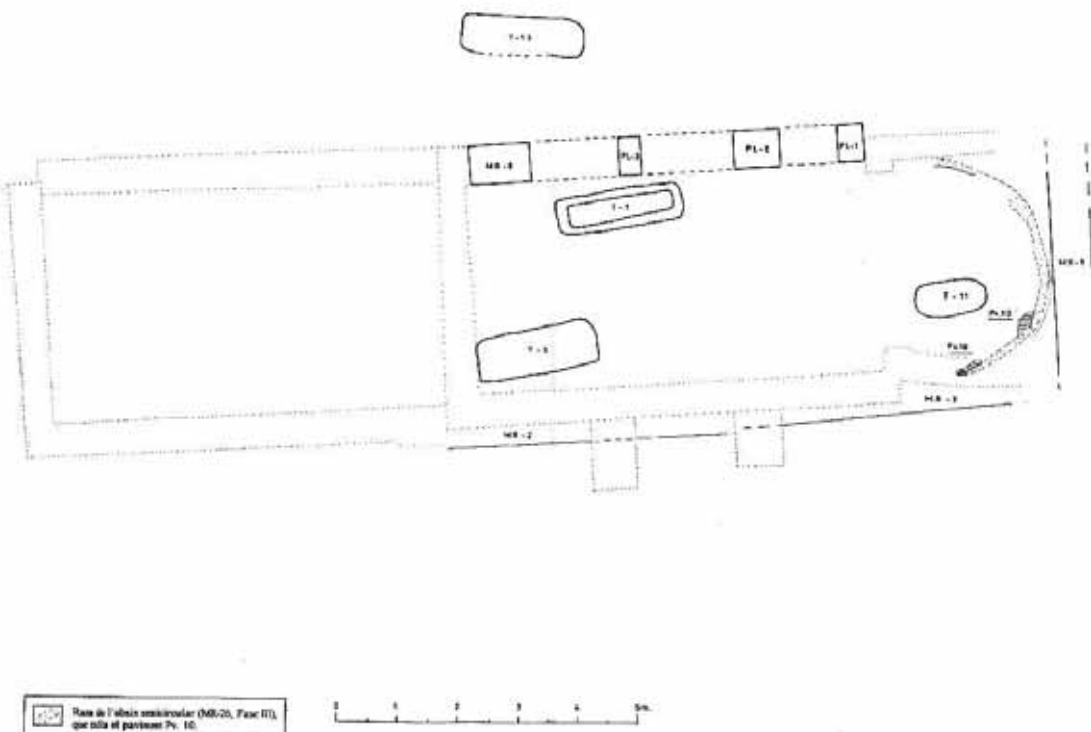
-Plano 59- Basílica tardoantigua de Cornellà (Barcelona) (PUIG I CADAFALCH, 1961: 21).



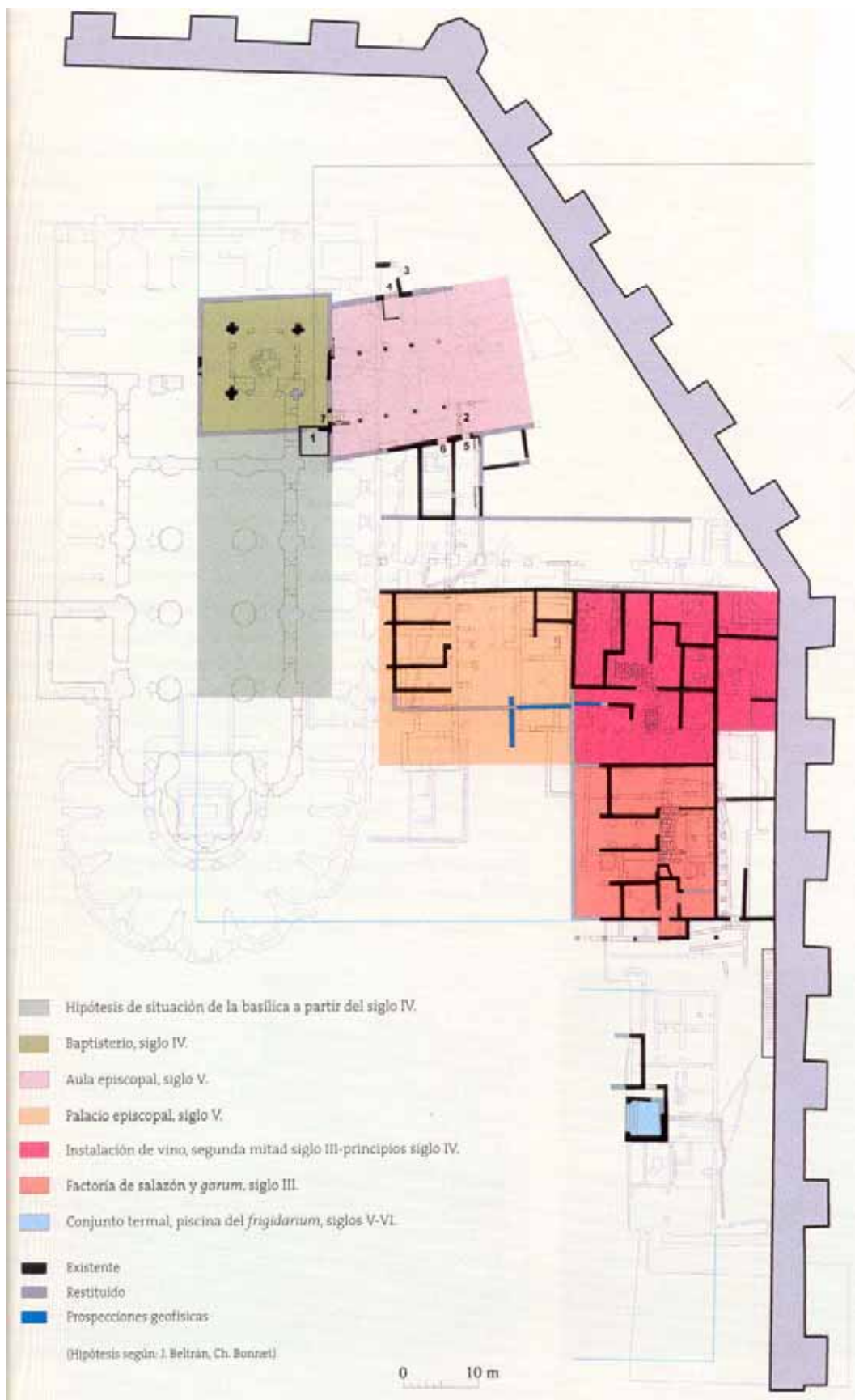
-Plano 60- Santa María, *Iuliobriga*. Planta de la zona pública de la ciudad con indicación, a la izquierda, de la iglesia de Santa María (FERNÁNDEZ VEGA, 1993: plano 18).



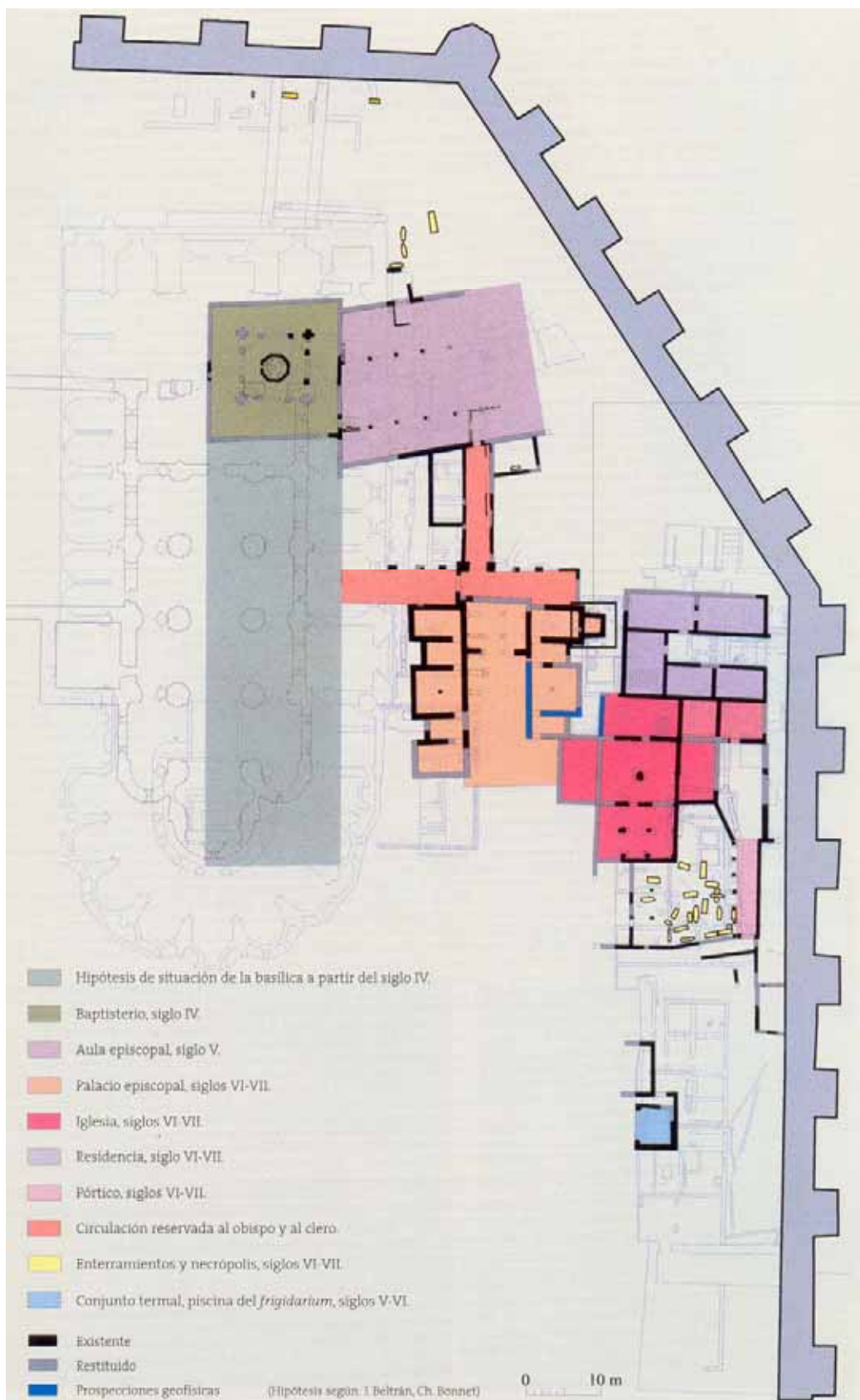
-Plano 61- Santa María, *Iuliobriga*. Detalle del plano anterior, donde se aprecia la superposición de la iglesia a un edificio público romano, catalogado como templo (FERNÁNDEZ VEGA, 1993: plano 15).



-Plano 62- Ermita de Sant Joan de Benviure o de Ca n'Estaper (Castellbisbal, Barcelona). Planta de la fase II del yacimiento, correspondiente a la iglesia tardoantigua (PUJADES-SUBIRANAS, 2003: P-07).



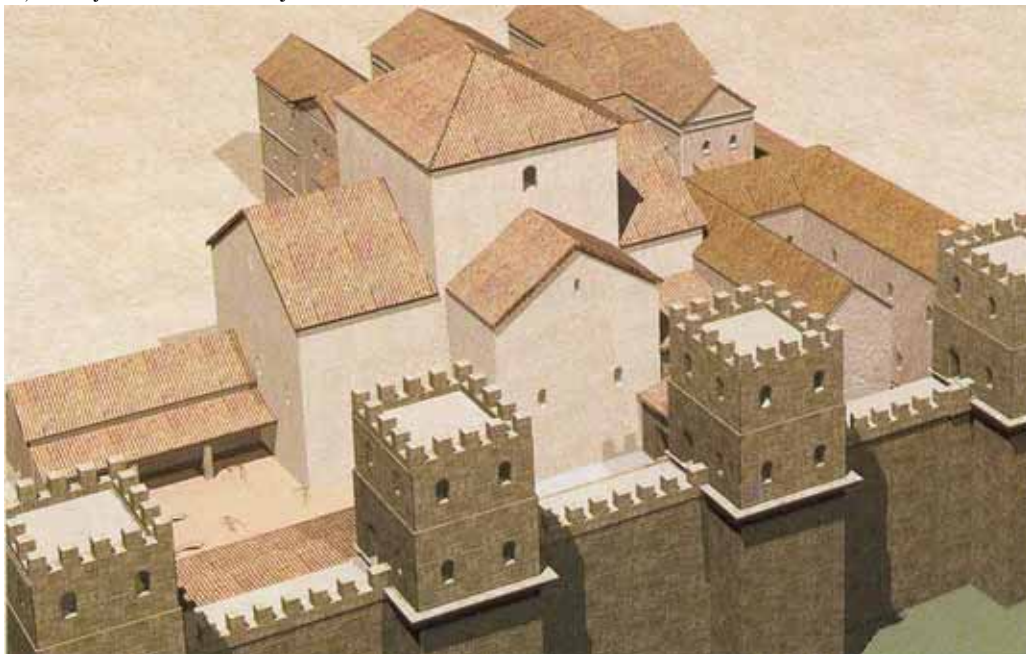
-Plano 63- Grupo episcopal de Barcelona. Planta general del conjunto en el siglo V (BONNET-BELTRÁN DE HEREDIA, 2001: 75, dibujo de M. Berti y E. Revilla).



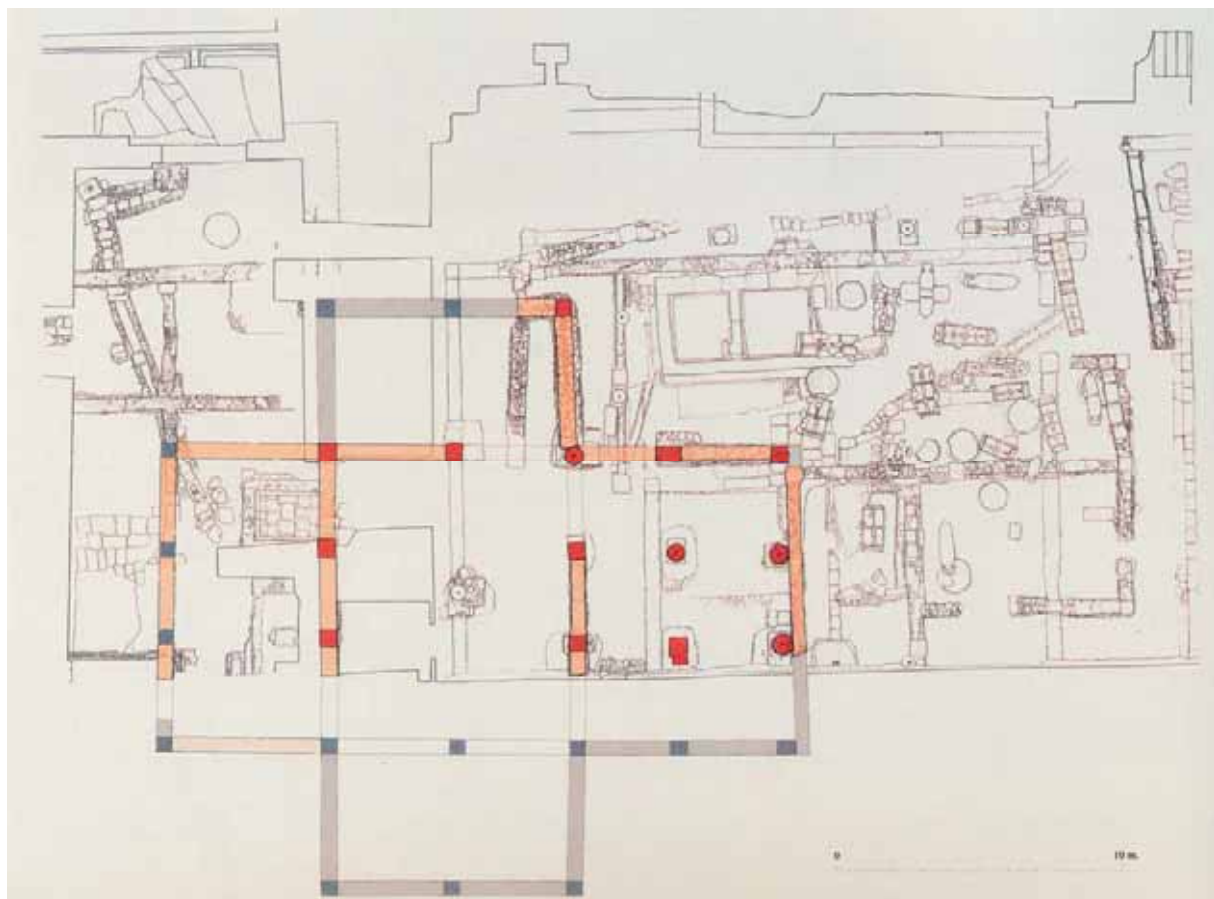
-Plano 64- Grupo episcopal de Barcelona. Planta general del conjunto en los siglos VI-VII (BONNET-BELTRÁN DE HEREDIA, 2001: 79, dibujo de M. Berti y E. Revilla).



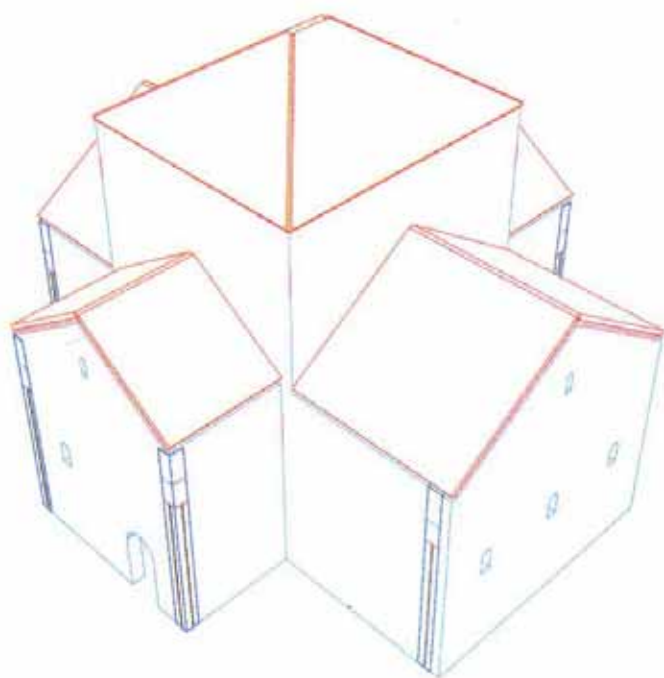
-Plano 65- Grupo episcopal de Barcelona. Iglesia cruciforme y anexos: en el centro del plano se observa la iglesia; a la izquierda, la necrópolis; a la derecha, un edificio anejo en forma de “U”, al que se le ha querido ver un carácter palatino (BONNET-BELTRÁN DE HEREDIA, 2001: 81, dibujo de M. Berti y E. Revilla).



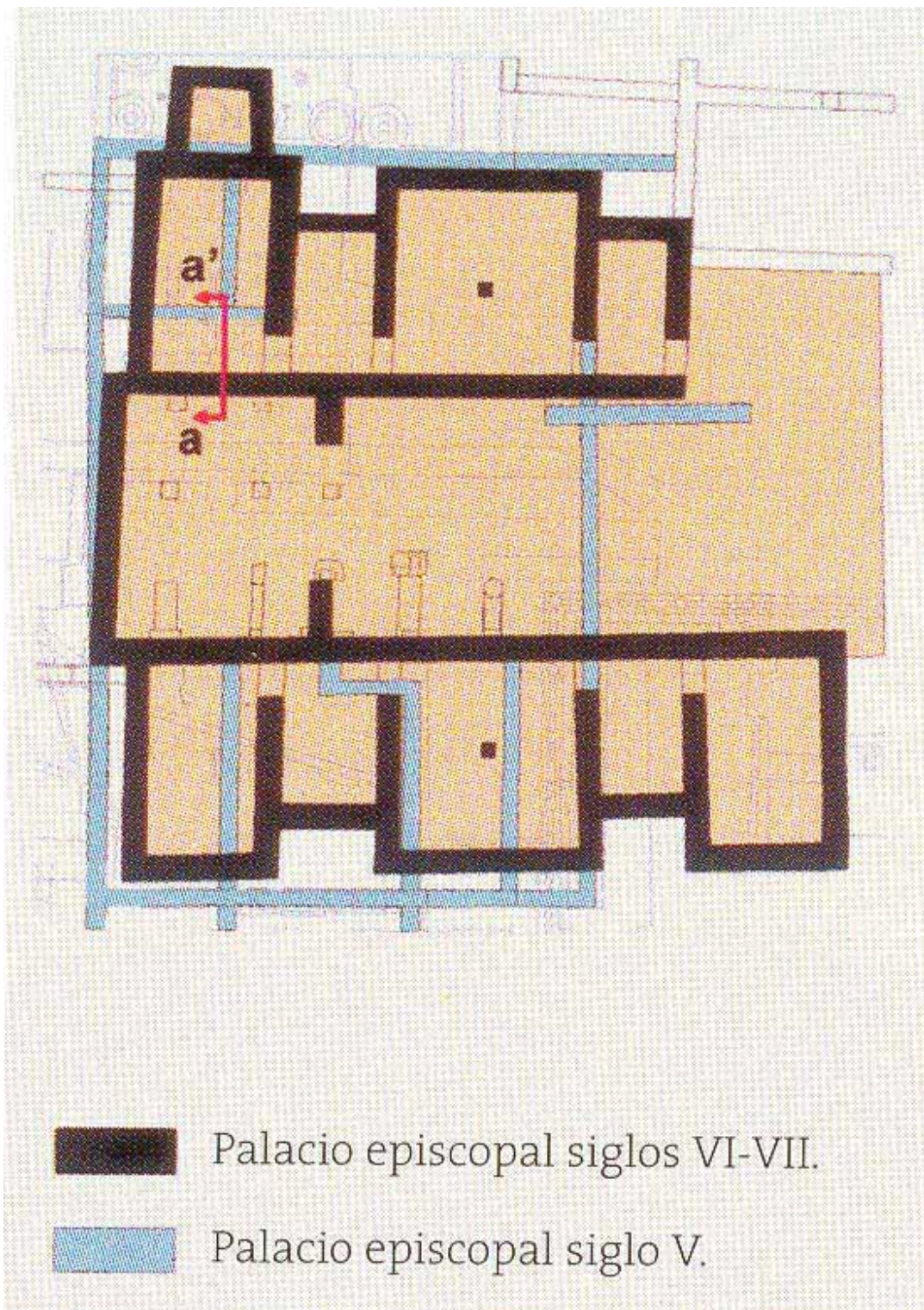
-Plano 66-Grupo episcopal de Barcelona. Iglesia cruciforme y anexos: restitución (BONNET-BELTRÁN DE HEREDIA, 2001: 81, dibujo de CENTUM-MHCB).



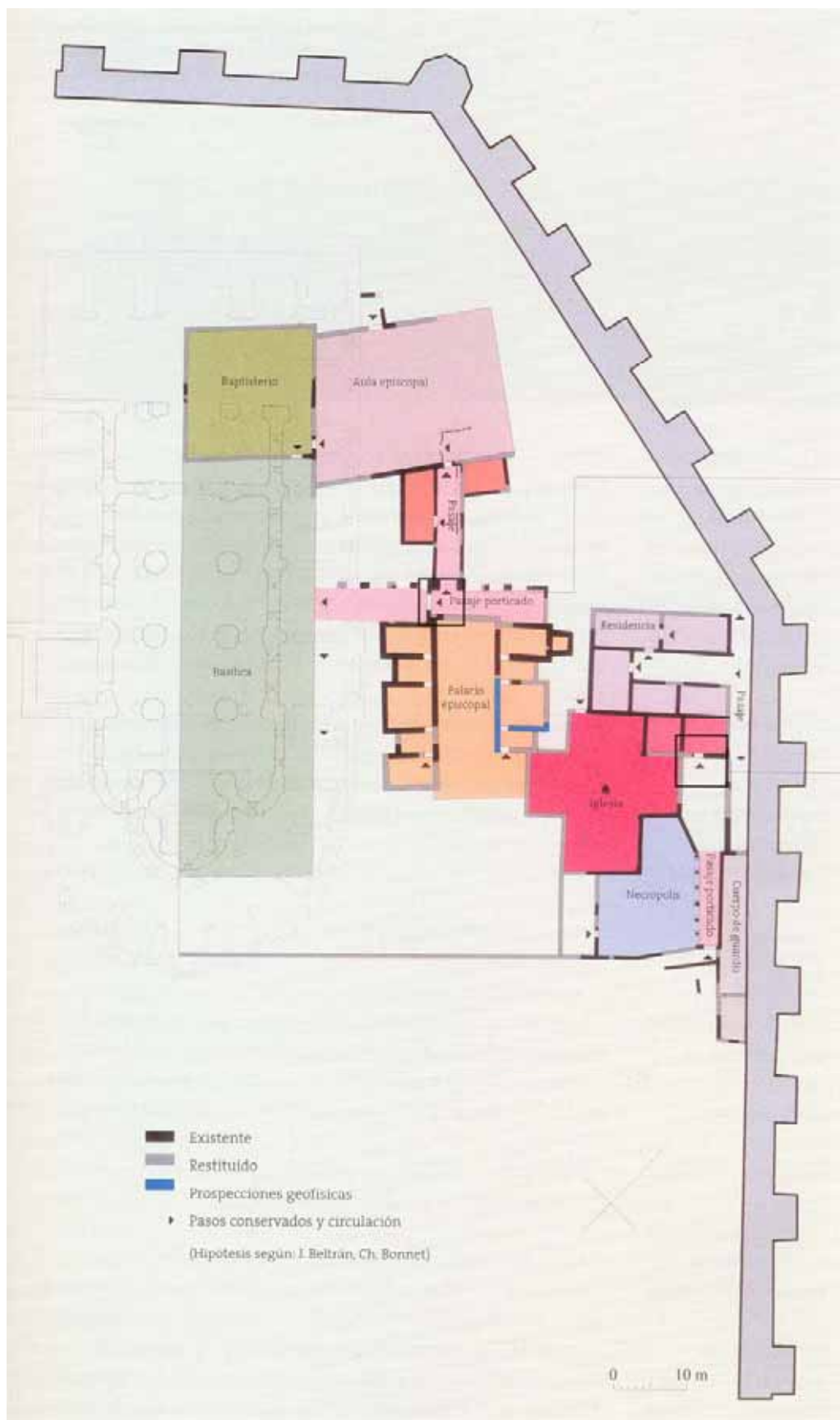
-Plano 67- Grupo episcopal de Barcelona. Iglesia cruciforme: detalle de la planta (BONNET-BELTRÁN DE HEREDIA, 2001: 82, dibujo de M. Berti y E. Revilla).



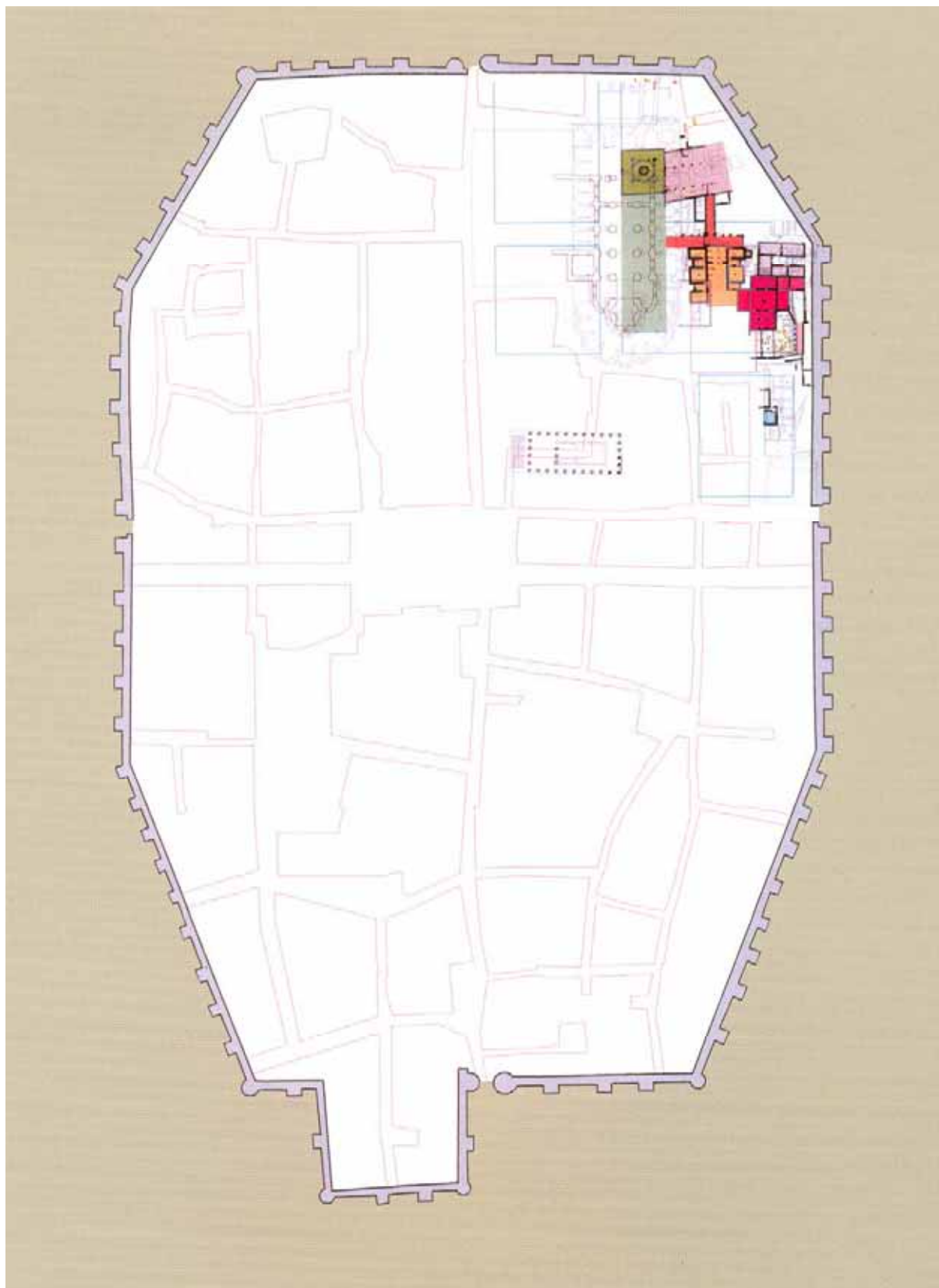
-Plano 68-Grupo episcopal de Barcelona. Iglesia cruciforme: restitución (BONNET-BELTRÁN DE HEREDIA, 2001: 83, dibujo según la hipótesis de Lourenço, Roca y Alves).



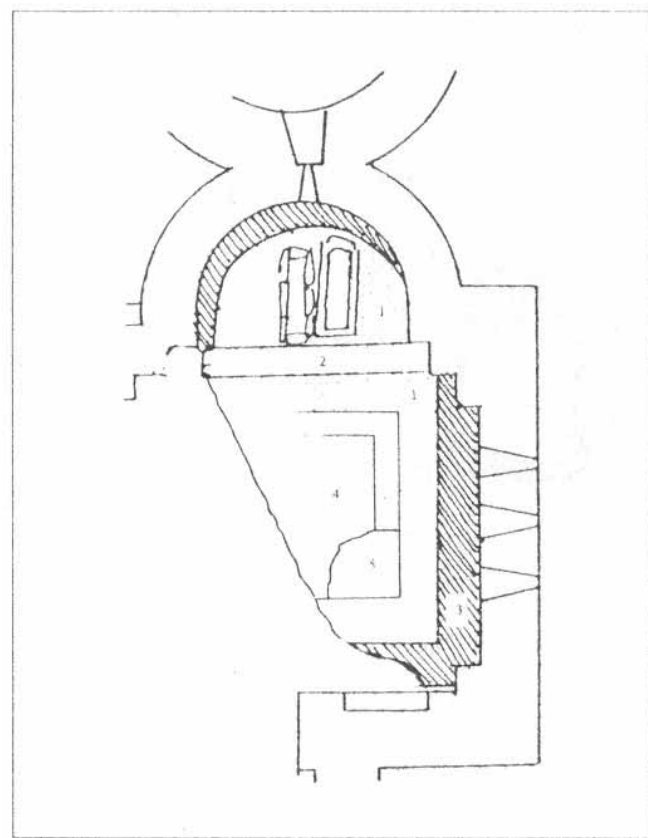
-Plano 69- Grupo episcopal de Barcelona. Palacio episcopal: planta por fases (BONNET-BELTRÁN DE HEREDIA, 2001: 89, dibujo de M. Berti y E. Revilla).



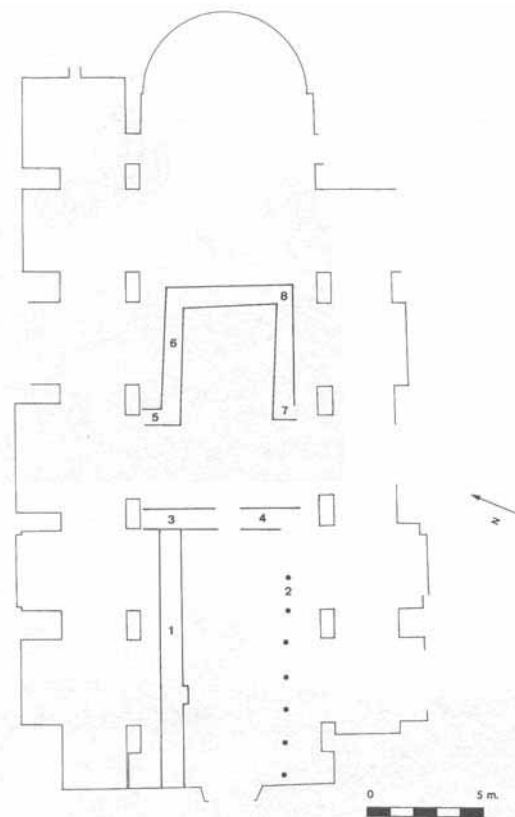
-Plano 70- Grupo episcopal de Barcelona. Planta general del conjunto en los siglos VI-VII, con indicación de las zonas de paso y comunicación entre los diferentes edificios (BONNET-BELTRÁN DE HEREDIA, 2001: 91, dibujo de M. Berti y E. Revilla).



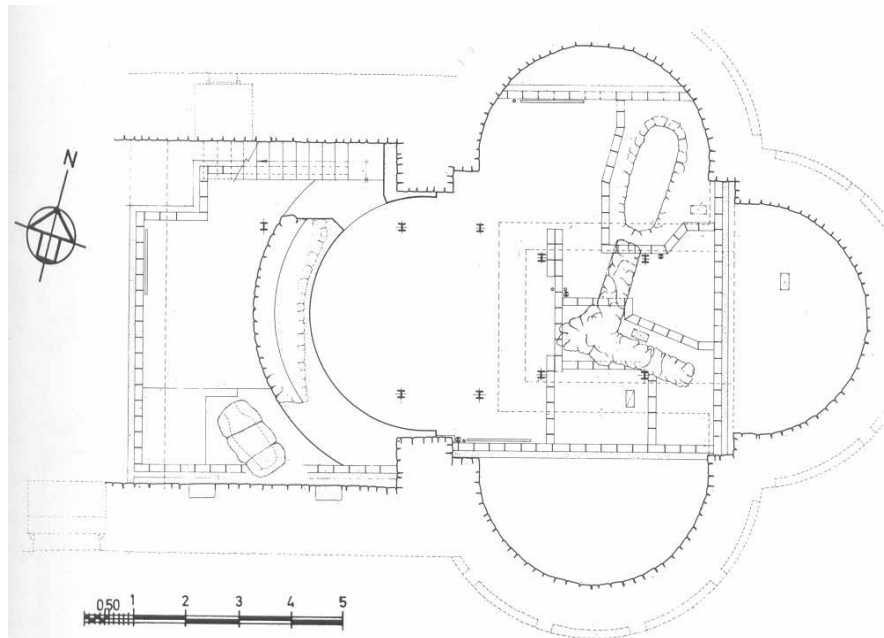
-Plano 71- Grupo episcopal de Barcelona. Planta general del conjunto dentro de las murallas romanas de *Barcino*; por debajo del conjunto, en un trazo más fino, se puede apreciar la catedral actual; casi en el centro del recinto de murallas, el templo de Augusto (BONNET-BELTRÁN DE HEREDIA, 2001: 94, dibujo de M. Berti y E. Revilla).



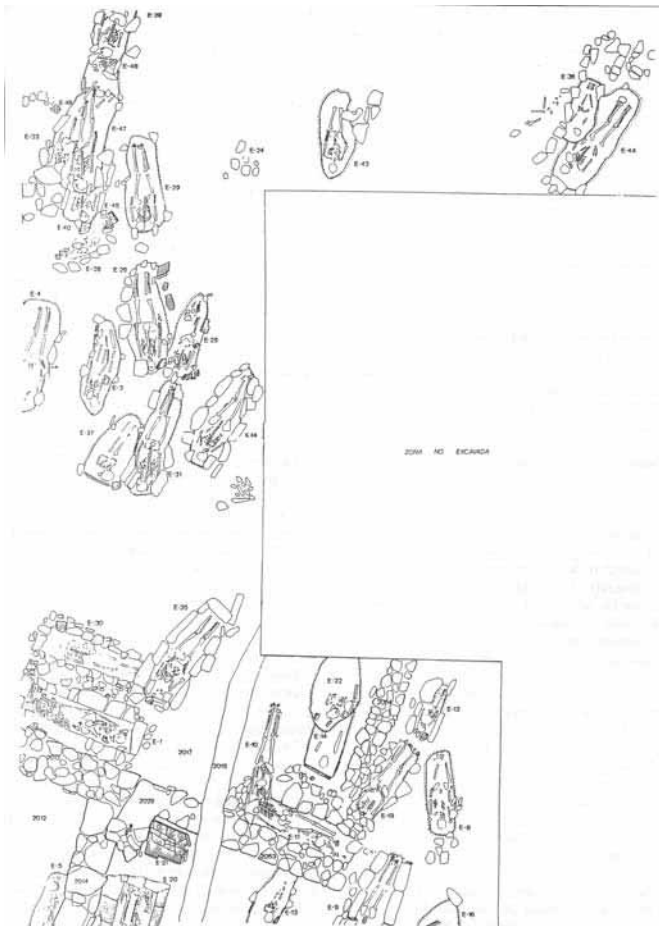
-Plano 72- Santa María (*Rhoda*), planta esquemática de las excavaciones realizadas en 1945 (NOLLA, 1997: 117).



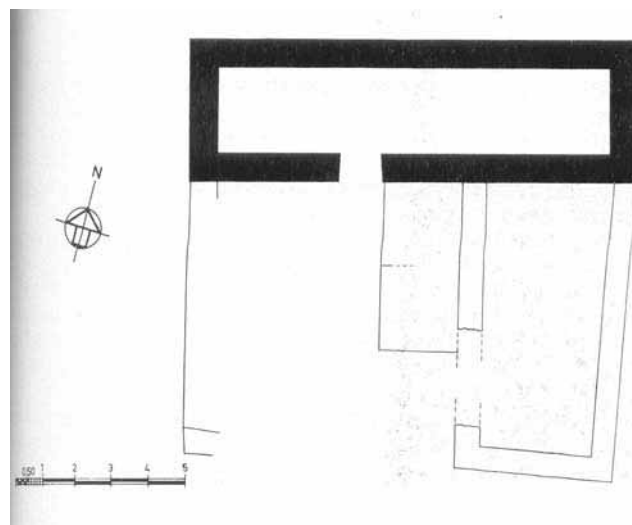
-Plano 73- Sant Cugat de Salt (*Gerunda*), planta de la iglesia actual con los restos de la iglesia más antigua en su interior, según ALBERCH-BURCH, 1996-97: 1318.



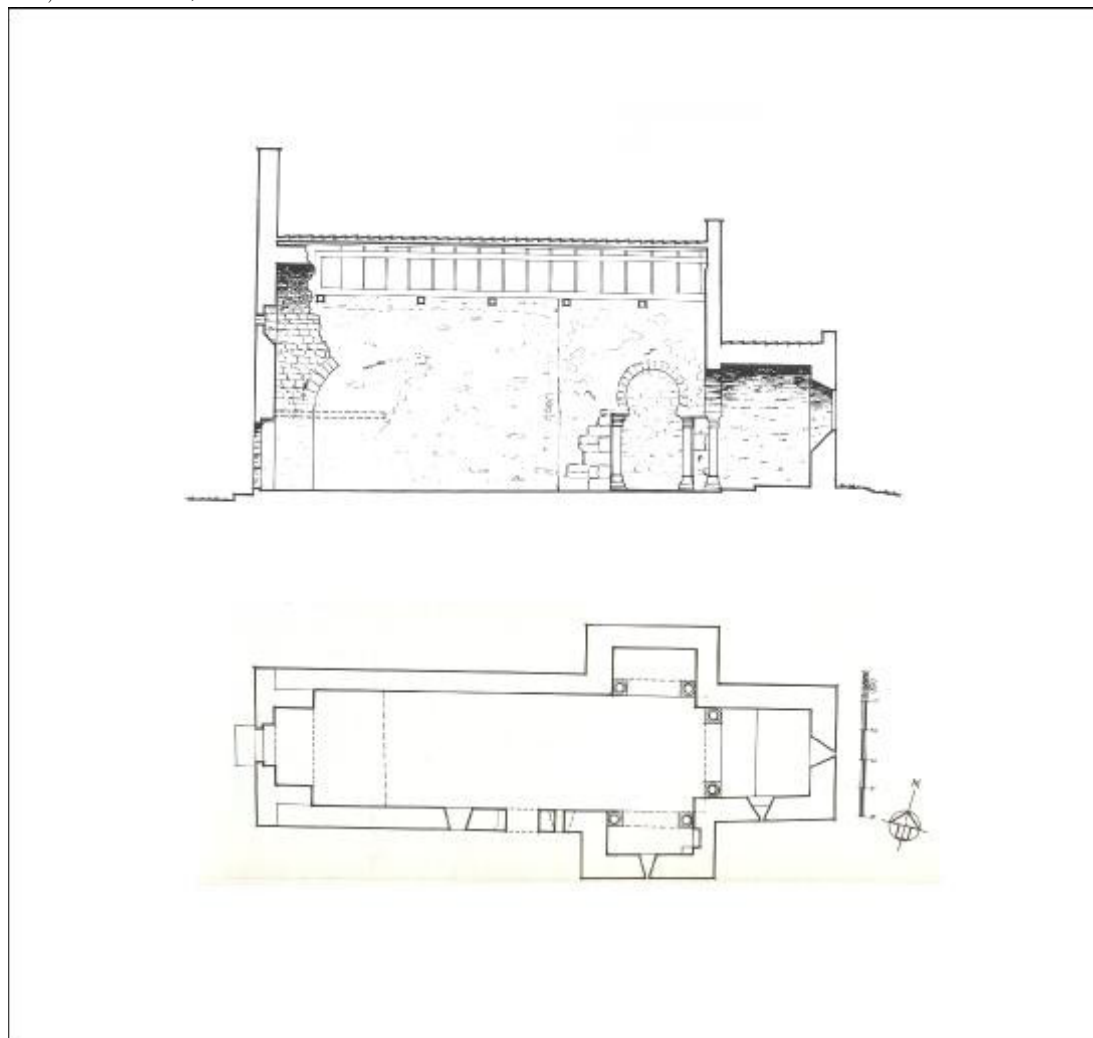
-Plano 74- Sant Nicolau (*Gerunda*), planta general de las estructuras romanas o tardoantiguas aparecidas en la cabecera de la iglesia medieval durante las excavaciones realizadas en 1975 (RIBOT, 1991: 171).



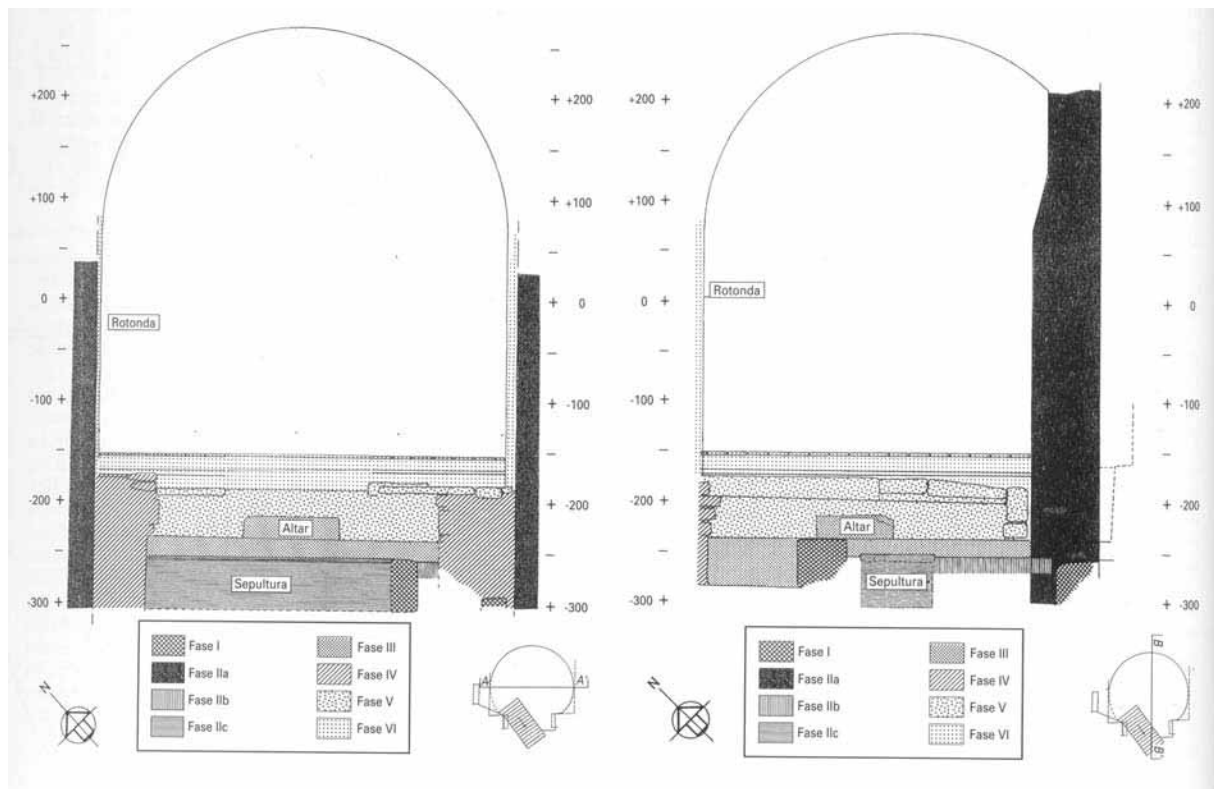
-Plano 75- Necrópolis de la calle Sant Esteve (*Aquae Calidae*). Planta general de la necrópolis con los muros asociados —parte inferior de la figura—, tal vez pertenecientes a un edificio de culto cristiano anterior a la cercana iglesia parroquial (AGUSTÍ-MATARÓ-PUIG, 2000: 50).



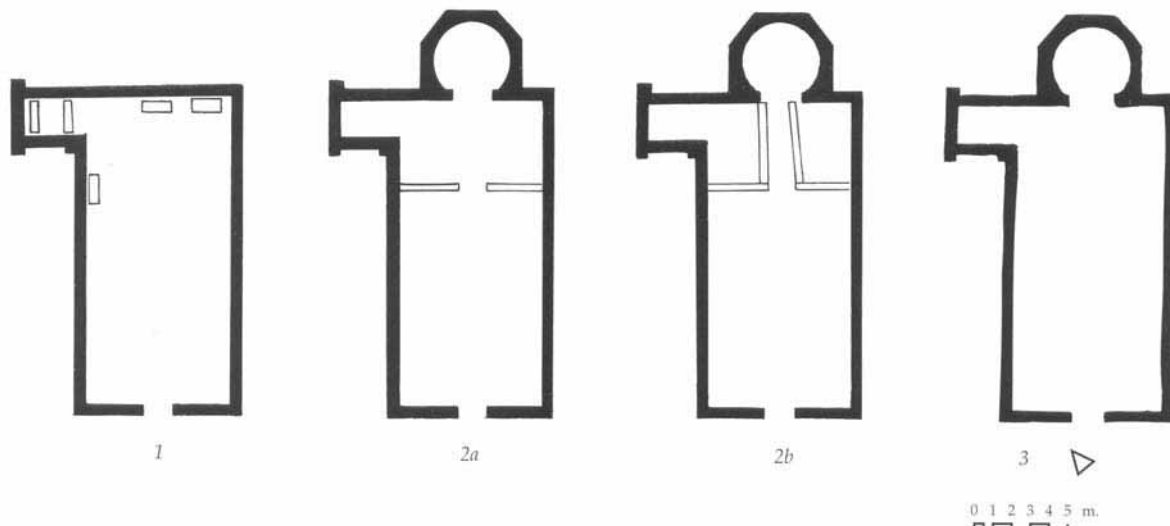
-Plano 76- Posible iglesia de La Casa Cremada (*Rhoda*), planta general de las estructuras, donde destaca el aula rectangular —en negro— que ha sido fechada en época visigoda (BADIA, 1981: 797).



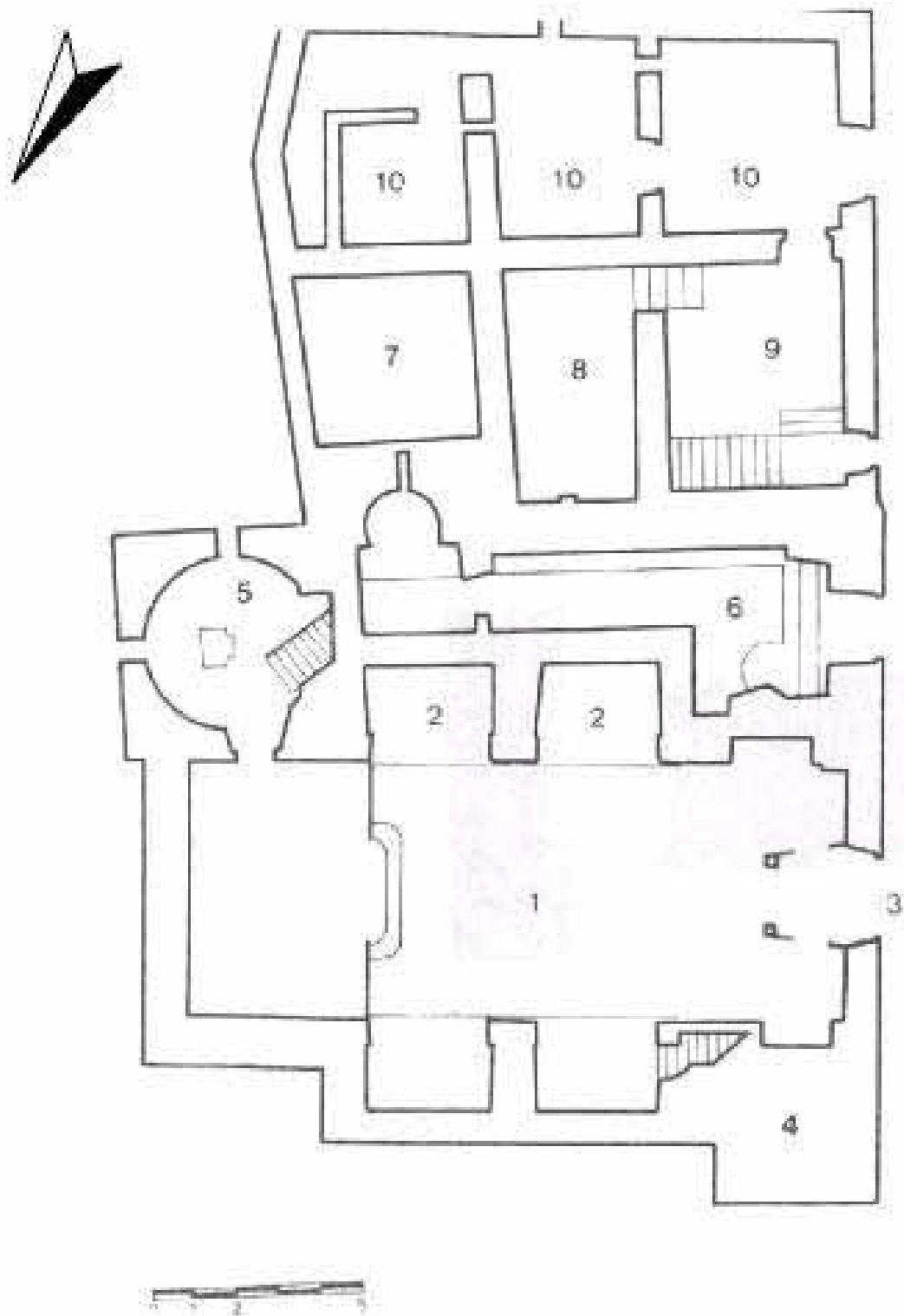
-Plano 77- Sant Vicenç d'Obiols (Avià, Barcelona). Planta y sección de la iglesia en su estado actual (JUNYENT-MAZCUNYAN, 1985: 113).



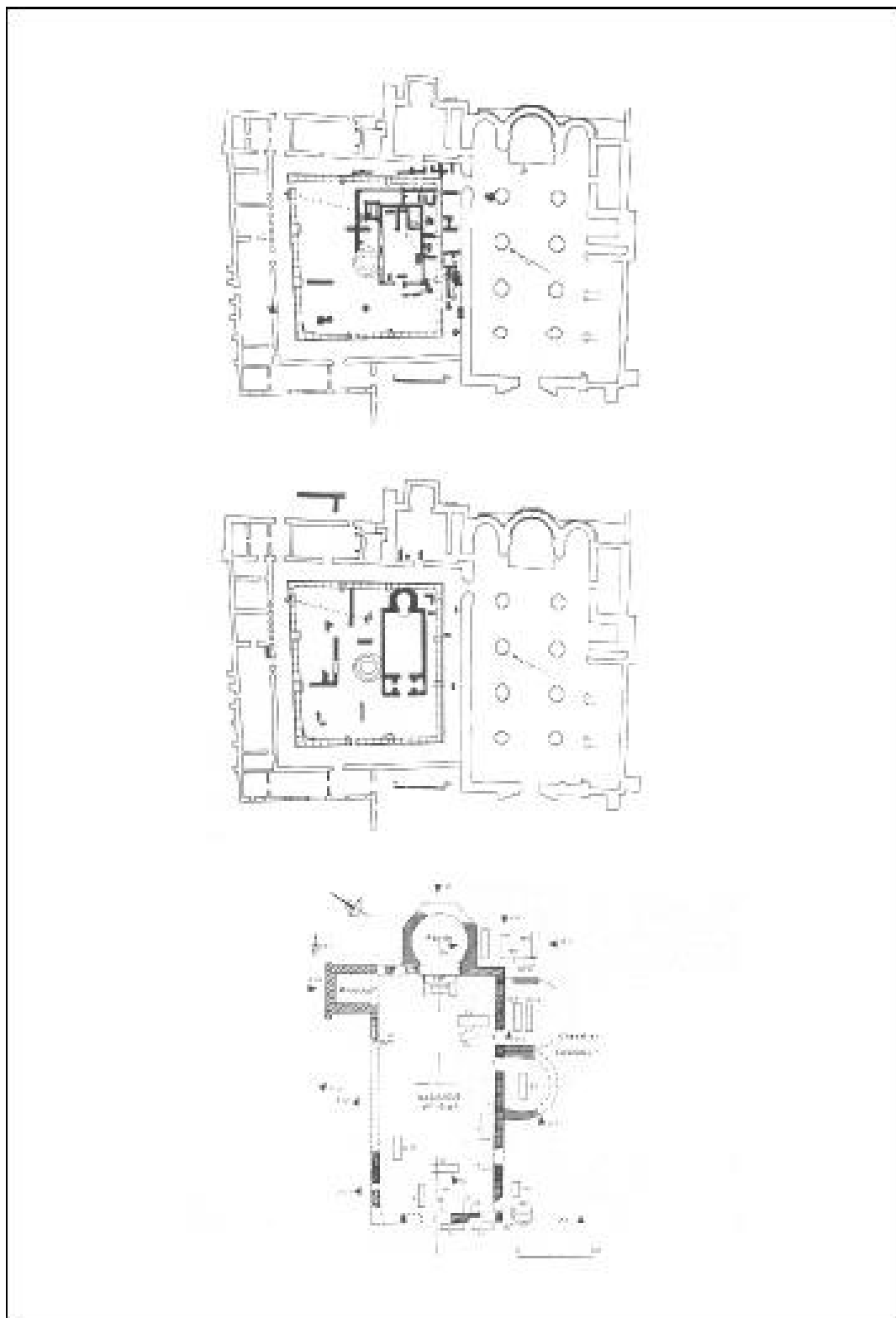
-Plano 78- Santa María de Sorba (Montmajor, Barcelona). Secciones de las excavaciones arqueológicas realizadas, con indicación de las distintas fases cronológicas (PUJADES, 1998: 188).



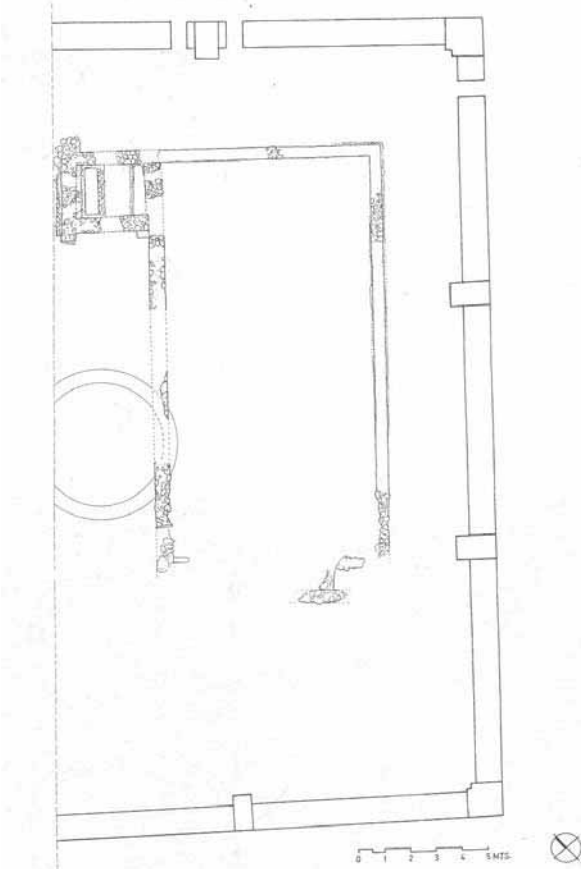
-Plano 79- Basílica del claustro del monasterio (Sant Cugat del Vallès, Barcelona). Esquema evolutivo de las fases tardoantiguas según MIQUEL, 2004: 31. La primera fase correspondería al siglo V, la segunda a finales del siglo VI, y de la tercera y la cuarta no se indica cronología alguna.



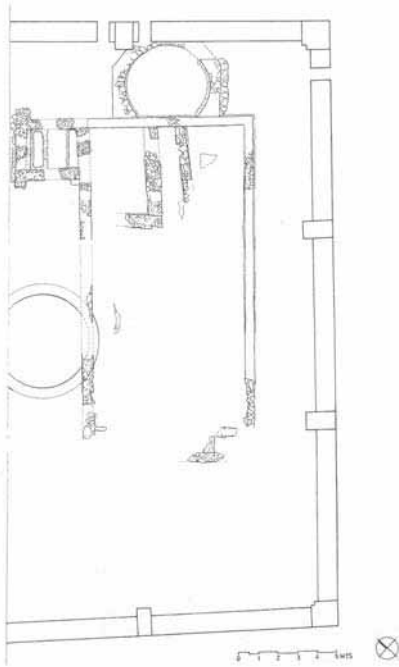
-Plano 80- Santa María de Sorba (Montmajor, Barcelona). Planta general del conjunto parroquial en la actualidad, con indicación —n. 5— de la capilla denominada de Sant Eudald donde se ha localizado la mayor parte de los restos tardoantiguos (BASTARDES-RIU, 1981: 11).



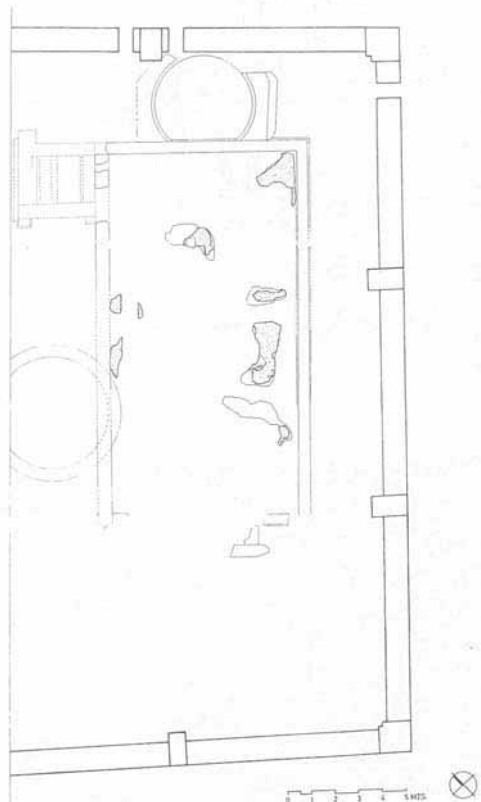
-Plano 81- Basílica del claustro del monasterio (Sant Cugat del Vallès, Barcelona). Plantas interpretativas de diferentes autores que han excavado o trabajado en el yacimiento: las dos primeras, de P. Bosch-Gimpera y J. de C. Serra-Ràfols, corresponden a los restos de la basílica romano-cristiana (SERRA-RÀFOLS, 1964-65: 311) y a los restos de la reconstrucción de época visigótica de la basílica y a su supuesto monasterio (SERRA-RÀFOLS, 1964-65: 312). La tercera, de X. Barral, corresponde a la evolución constructiva de la basílica (BARRAL, 1974: 912).



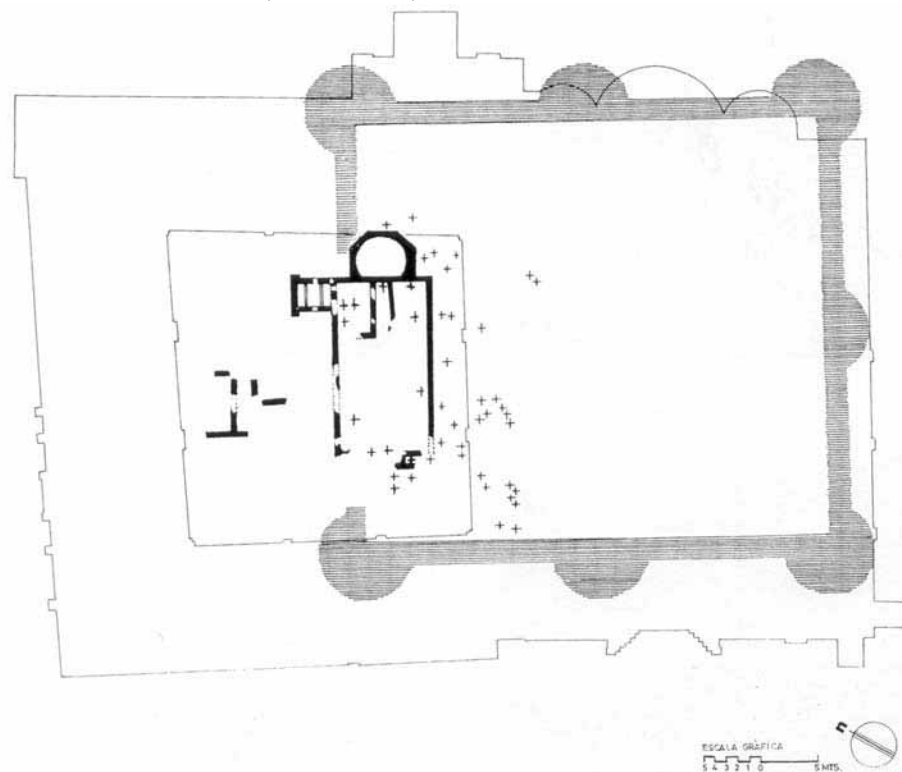
-Plano 82- Basílica del claustro del monasterio (Sant Cugat del Vallès, Barcelona). Planta del aula rectangular y su cámara funeraria anexa, correspondiente a la primera fase cronológica del yacimiento (ARTIGUES et ALII, 1997b: 55, lámina 33).



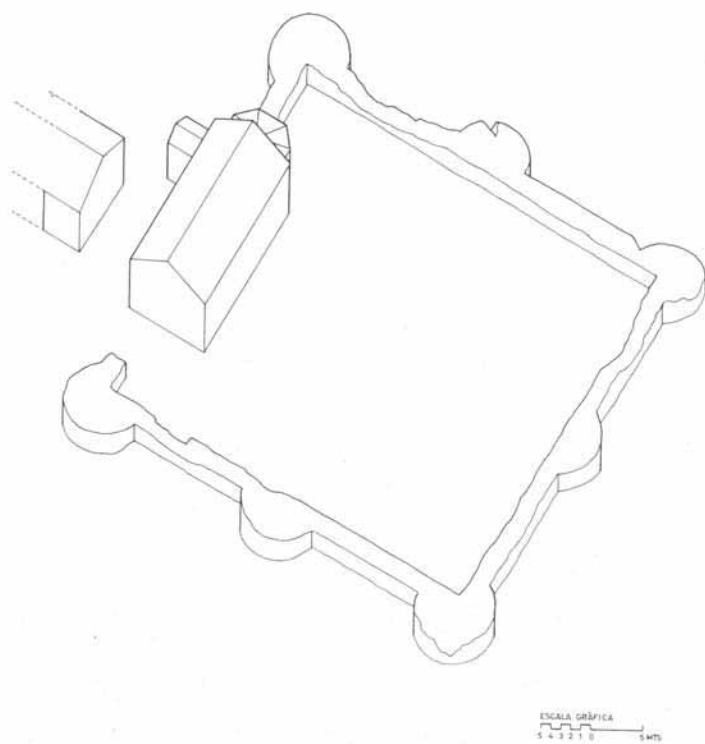
-Plano 83- Basílica del claustro del monasterio (Sant Cugat del Vallès, Barcelona). Planta correspondiente a la segunda fase cronológica del yacimiento (ARTIGUES et ALII, 1997b: 58, lámina 45).



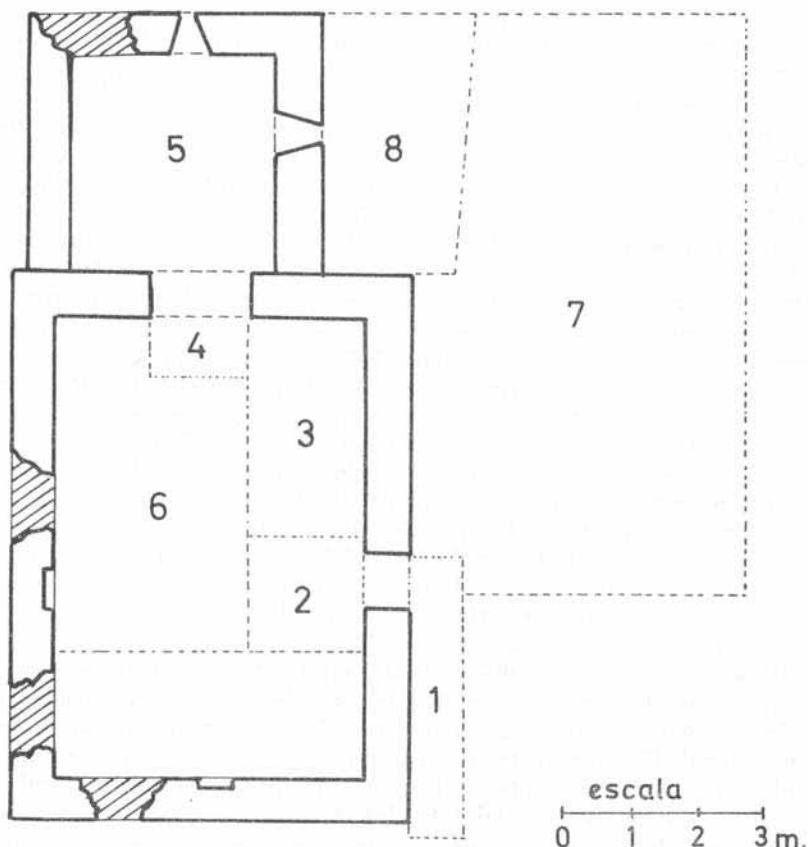
-Plano 84- Basílica del claustro del monasterio (Sant Cugat del Vallès, Barcelona). Planta con los fragmentos de pavimento de *signinum* correspondiente a la tercera fase cronológica del yacimiento (ARTIGUES et ALII, 1997b: 58, lámina 48).



-Plano 85- Basílica del claustro del monasterio (Sant Cugat del Vallès, Barcelona). Planta general del conjunto (ARTIGUES et ALII, 1997b: 60, lámina 51), donde se observa la situación de la basílica tardoantigua y su necrópolis respecto a la fortaleza tardorromana preexistente.



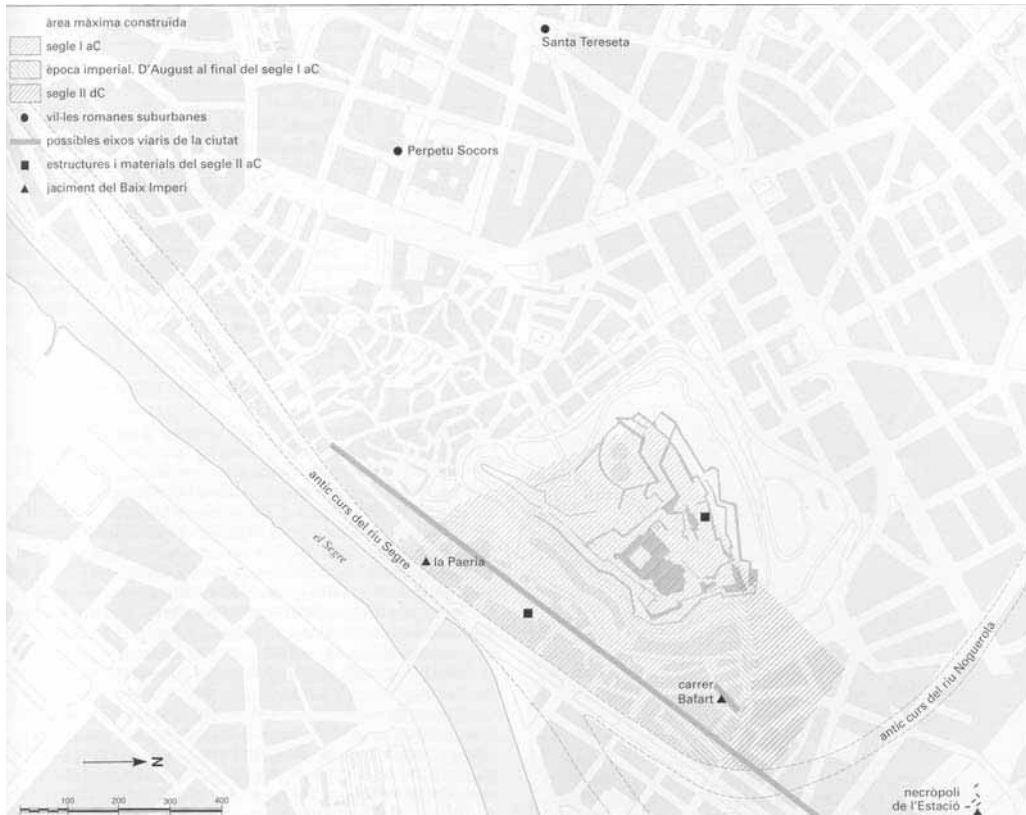
-Plano 86- Basílica del claustro del monasterio (Sant Cugat del Vallès, Barcelona). Restitución volumétrica del conjunto (ARTIGUES et ALII, 1997b: 62, lámina 59), donde se observa la situación de la basílica tardoantigua y su necrópolis respecto a la fortaleza tardorromana preexistente.



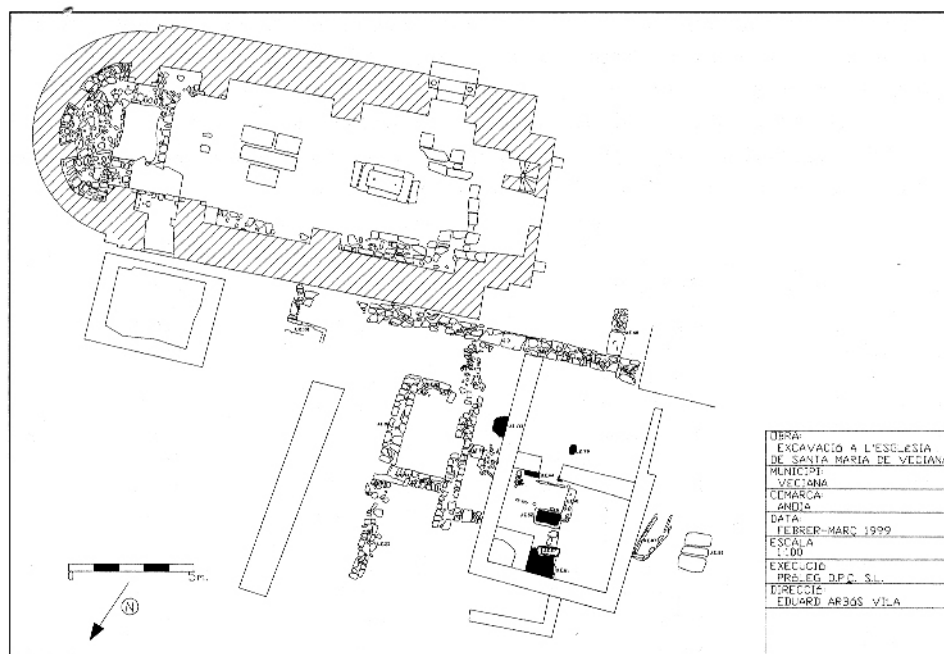
-Plano 87- Sant Esteve o Iglesia Vieja de Caulers (Caldes de Malavella, Girona), planta general del edificio (RIU RIU, 1975: 21).



-Plano 88- Grupo episcopal/conjunto de Sant Pere (Terrassa, Barcelona). Fases constructivas de los edificios tardoantiguos (MORO-TUSET, 2003: 288-289).



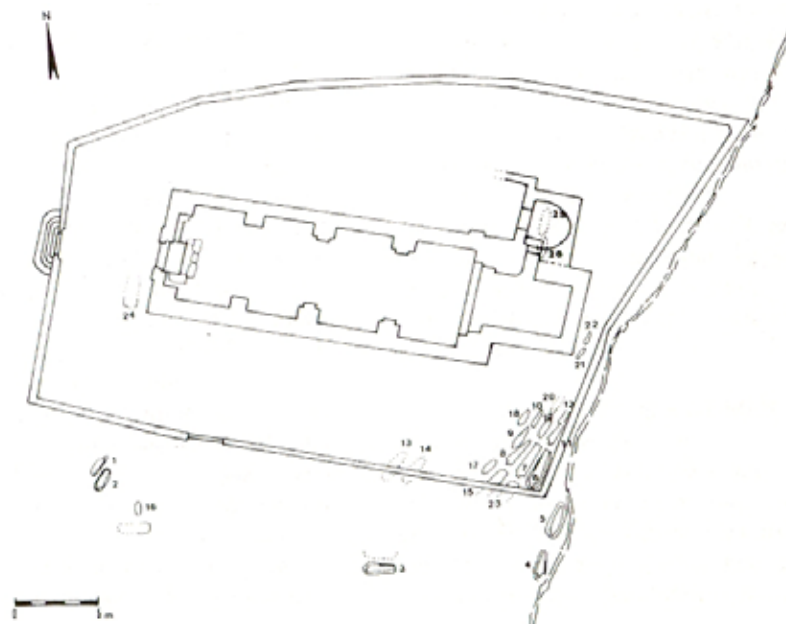
-Plano 89- *Ilerda*. Esquema de la ciudad con indicación de los restos antiguos y tardoantiguos localizados. (PÉREZ ALMOGUERA, 1999: 95).



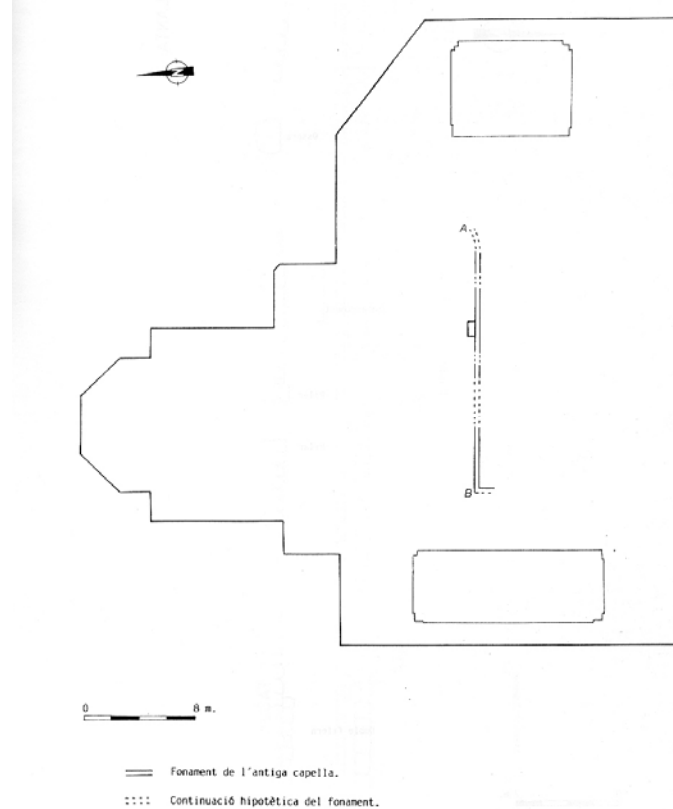
-Plano 90- Necrópolis y estructuras tardoantiguas de Santa María (Veciana, Barcelona). Planta general del yacimiento, donde se distingue la planta de la iglesia románica pero donde no se clarifica la naturaleza de los otros restos ni sus fases cronológicas, sobre todo las tardoantiguas (ARBÓS, 2003: 234, lámina 6).



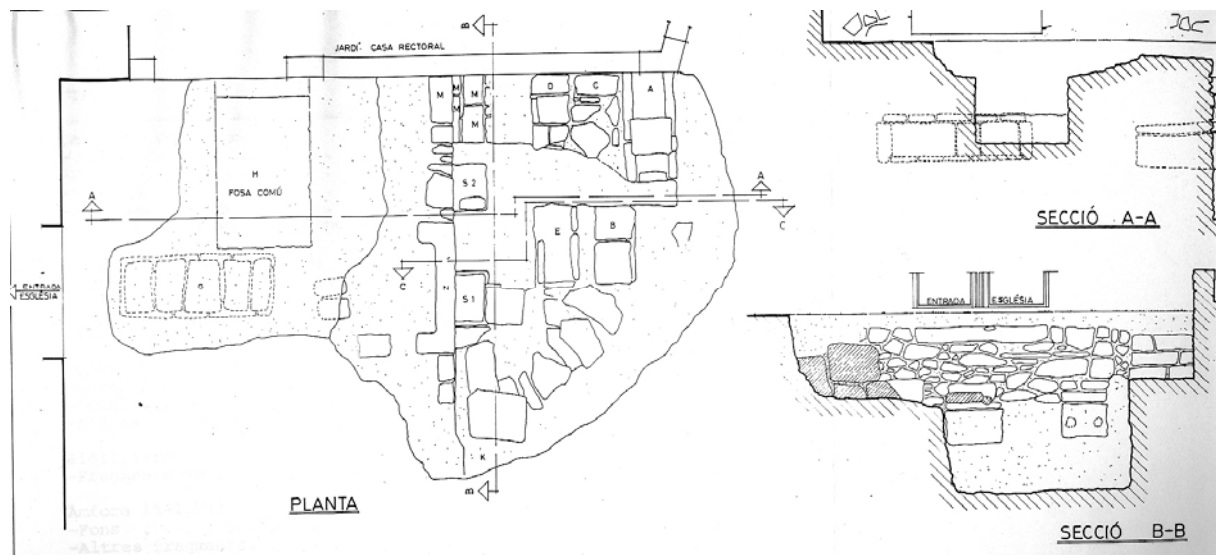
-Plano 91- Santa Margarida (Martorell, Barcelona). Planta general de la iglesia tardoantigua (NAVARRO-MAURI-FARRENY, 1999: 187).



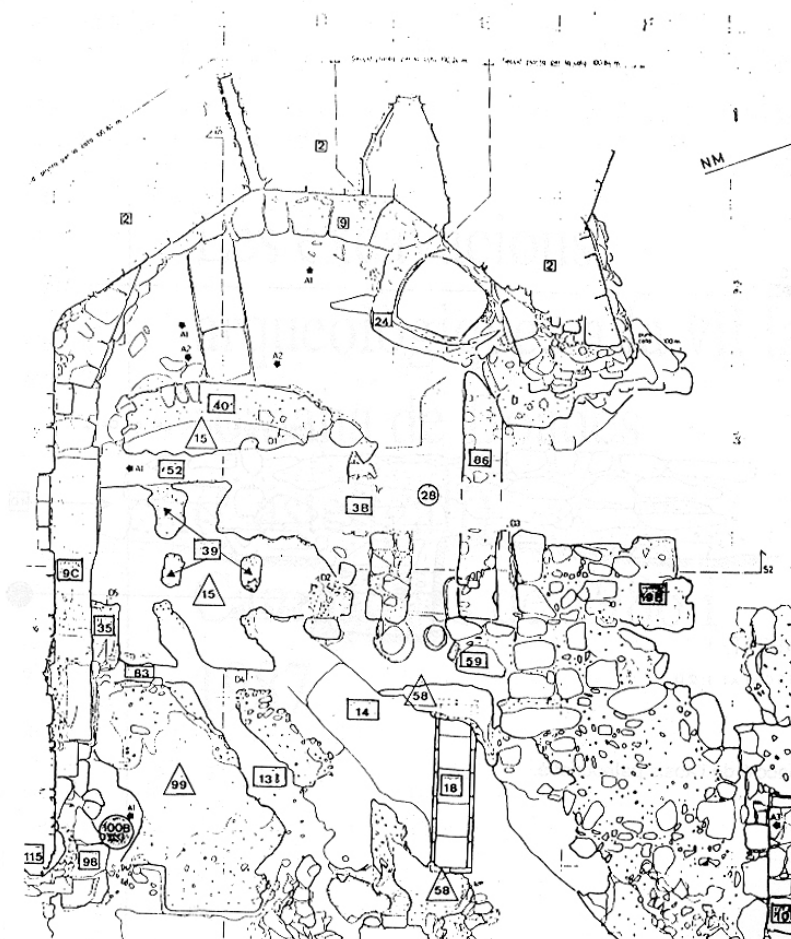
-Plano 92- Sant Miquel (Olèrdola, Barcelona). Planta de la iglesia medieval y su necrópolis; al norte del ábside medieval rectangular se observa el pequeño ábside prerrománico, separado de la nave por unaertura en arco de herradura (MOLIST, 1997: 219).



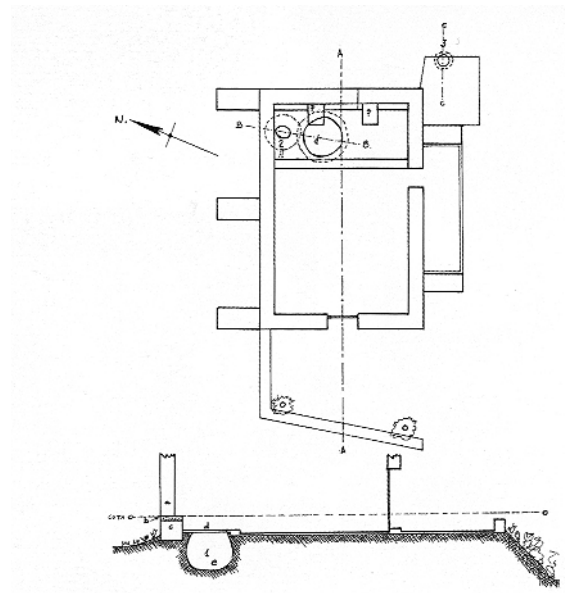
-Plano 93- Santa María (Igualada, Barcelona). Planta general de la iglesia actual con la cimentación de un muro, muy probablemente tardoantiguo (BERGADÀ, 1991: 99).



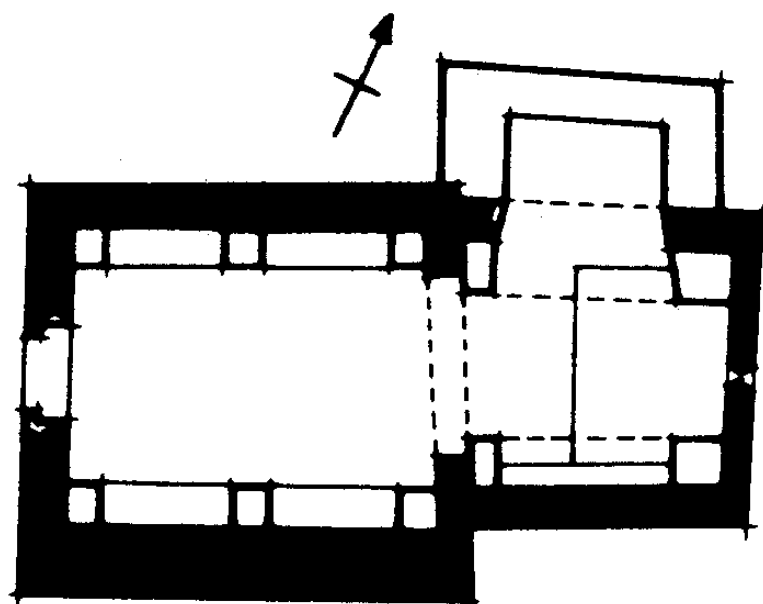
-Plano 94- Santa María (Els Prats de Rei, Barcelona). Planta y secciones de la necrópolis tardoantigua localizada delante de la iglesia actual (CASTELLÀ et ALII, 1977: 14).



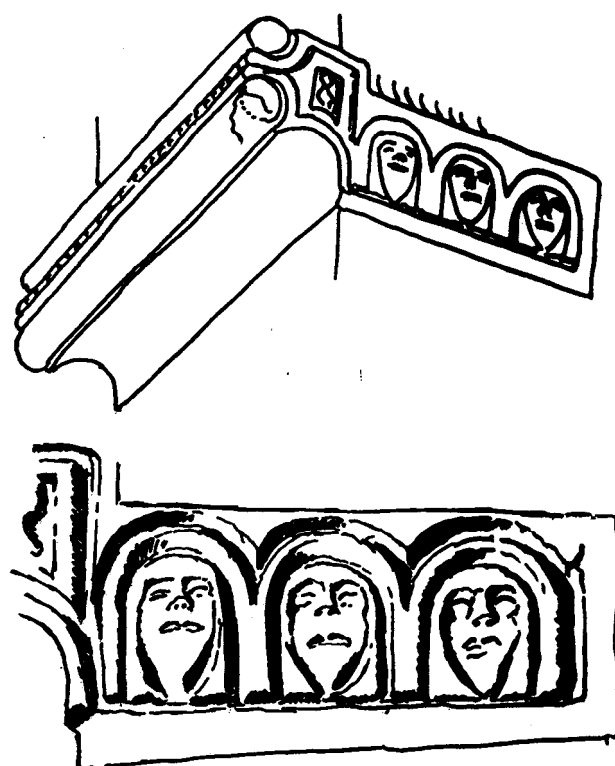
-Plano 95- Santa María de la Plaça Vella (Artés, Barcelona). Planta general de los restos arquitectónicos y de la necrópolis tardoantigua localizada (JULIÀ-KLIEMANN, 1992: 73).



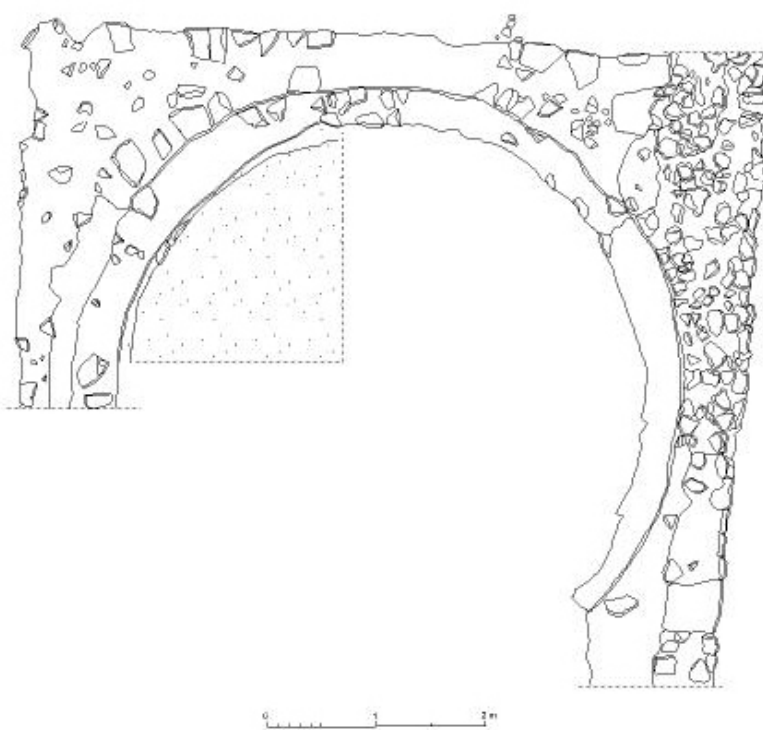
-Plano 96- Santa Madrona de Palau (Sant Andreu de la Barca, Barcelona). Planta general de la capilla y de los restos romanos (SOLIAS, 2003: 54).



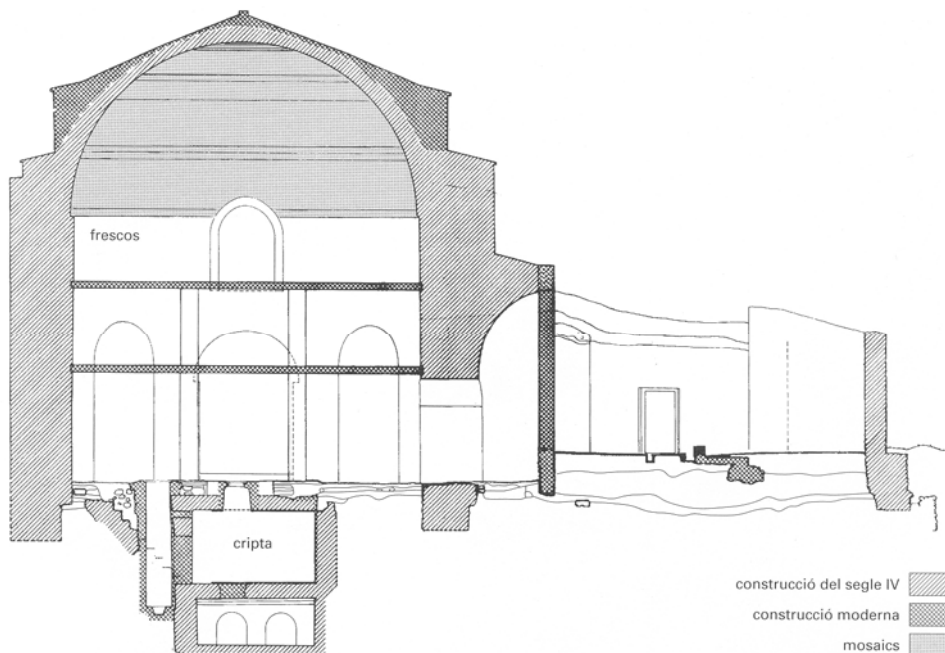
-Plano 97- Sant Hilari (Abrera, Barcelona), planta del edificio (AINAUD, 1962: 41).



-Plano 98- Sant Hilari (Abrera, Barcelona), impostas tardoantiguas (AINAUD, 1962: 42).



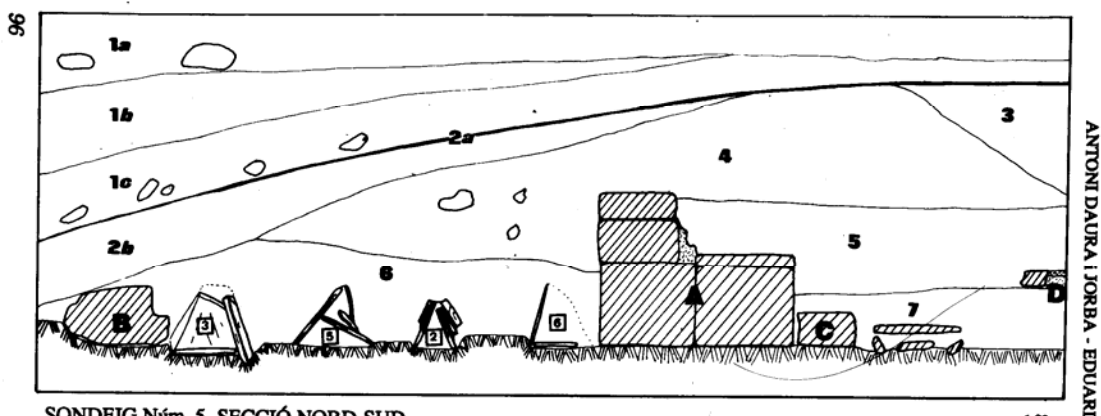
-Plano 99- Rectoría de Sant Pere (Gavà, Barcelona), planta del ábside localizado (SALAZAR-SALES, en prensa).



-Plano 100- Monumento de Centcelles (Constantí, Tarragona). Sección, según T. Hauschild (VVAA, 1999: 129).

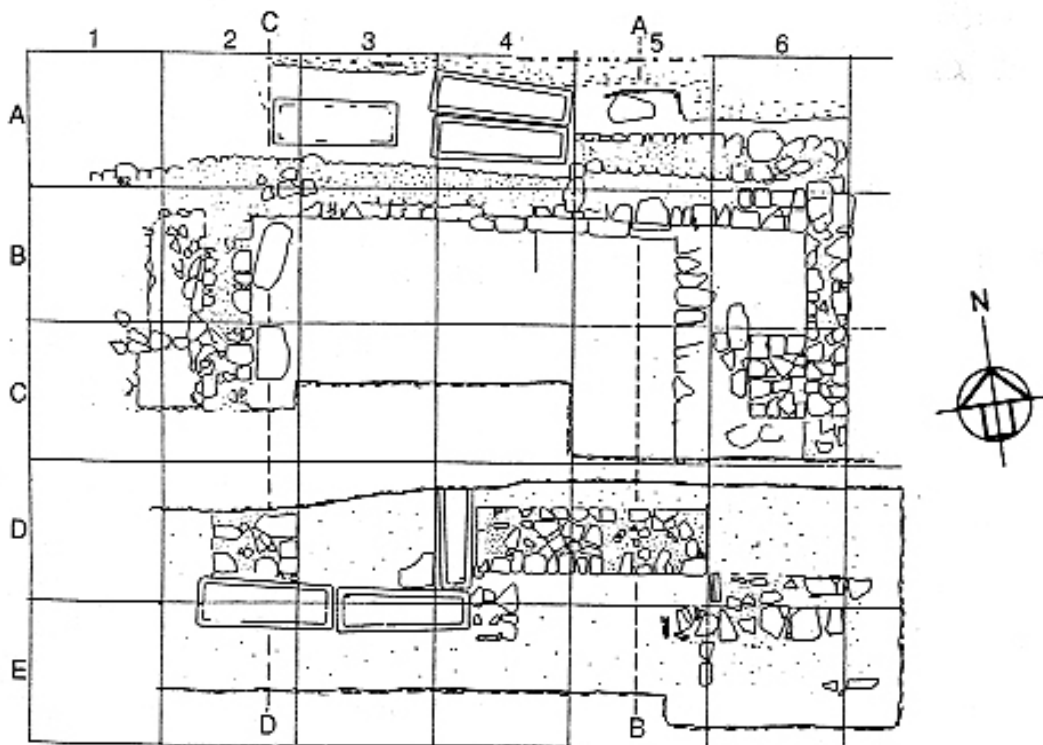


-Plano 101- Ermita de Paretdelgada (Constantí, Tarragona). Planta general de la ermita con sus mosaicos romanos, según J. Guitert (VVAA, 1999: 133).

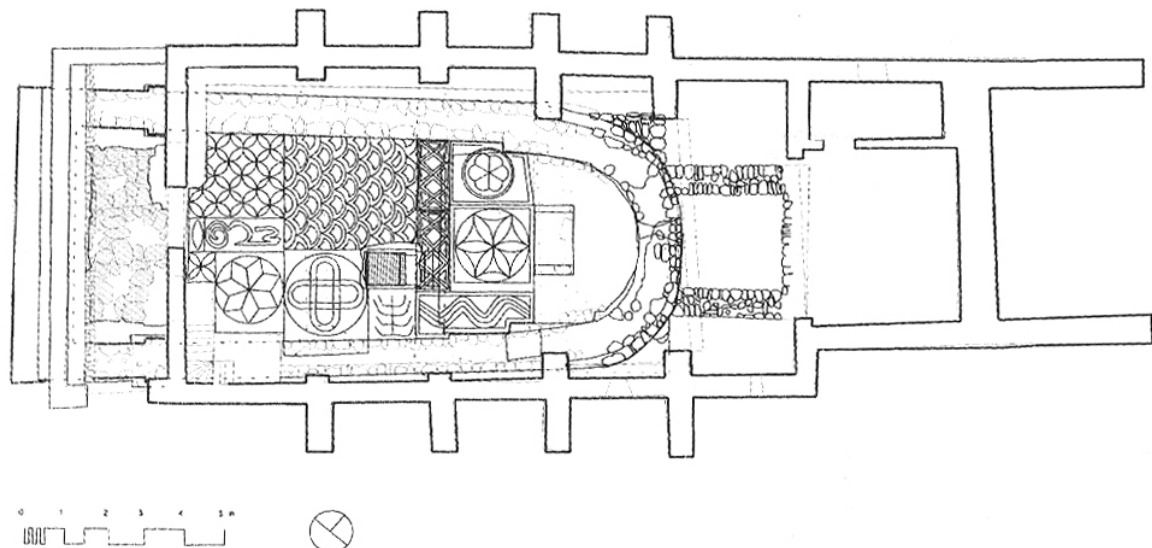


- | | |
|---|---|
| 1/1a/1b/1c. Estrats de runes modernes. | 7. » Ibero-romà (s. I) |
| 2a. Paviment de morter. | A. Mur fet amb carreus aprofitats d'època romana. |
| 2b. Preparació del paviment. Grava i maó. | B. Possible mur ibèric. |
| 3. Estrat de carbons i cendres. | C. » » » |
| 4. » de runes d'època moderna. | D. Paviment de còdols i morter. |
| 5. » Baix Medieval? | E. Estructura indeterminada. |
| 6. » Tardo-romà. | F. Fons de sitja ibèrica. |
- | | |
|-----|---|
| [1] | Tomba de secció triangular ben conservada. |
| [2] | » » » » desfeta. |
| [3] | » » » » molt desfeta. |
| [4] | Sepultura infantil coberta per una llosa plana. |
| [5] | » de secció triangular. |
| [6] | » » » » totalment destruïda. |
| [7] | » » » » » » |
| [8] | » en cista. |

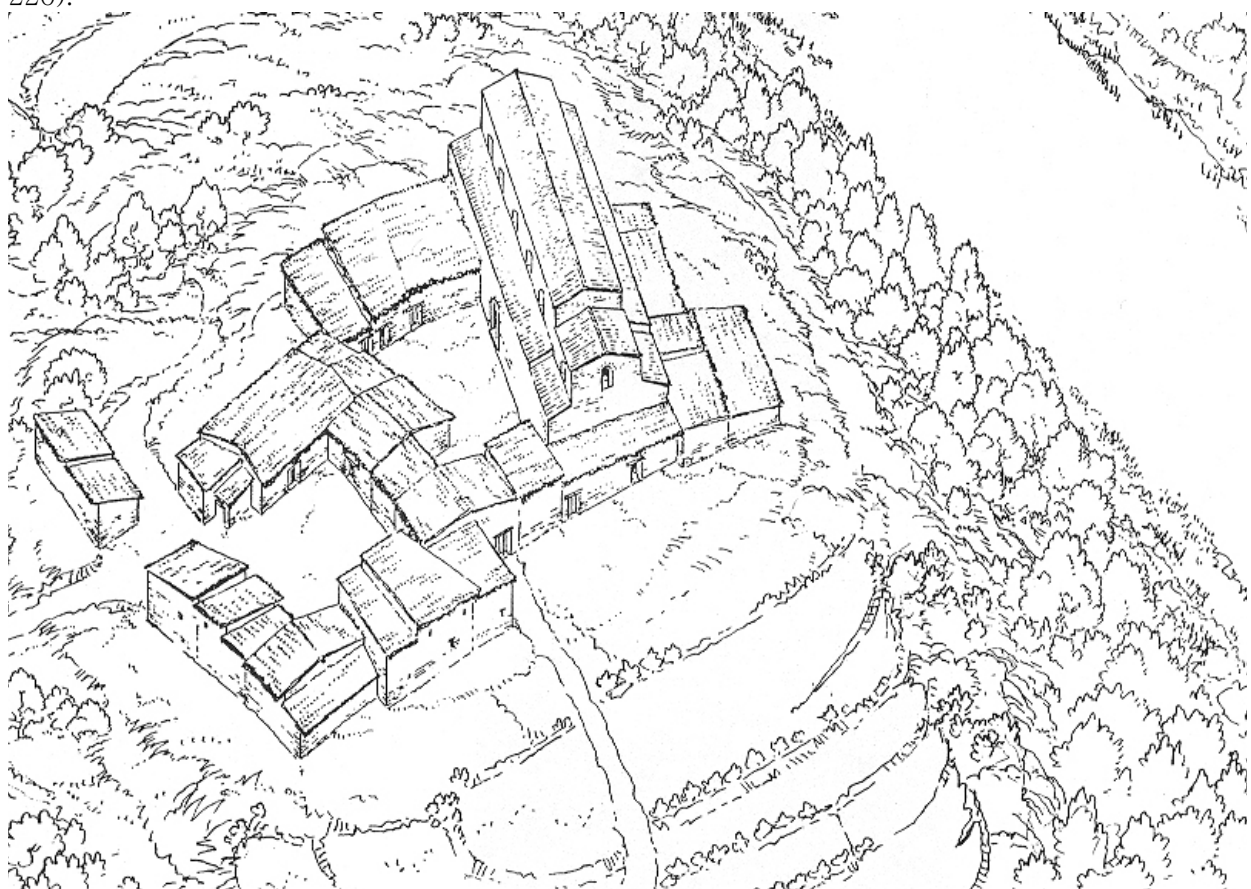
-Plano 102- Basílica de Santa María/La Seu (Manresa, Barcelona). Sección de la necrópolis tardoantigua y del muro probablemente también tardoantiguo (AIAC, 1993: 46).



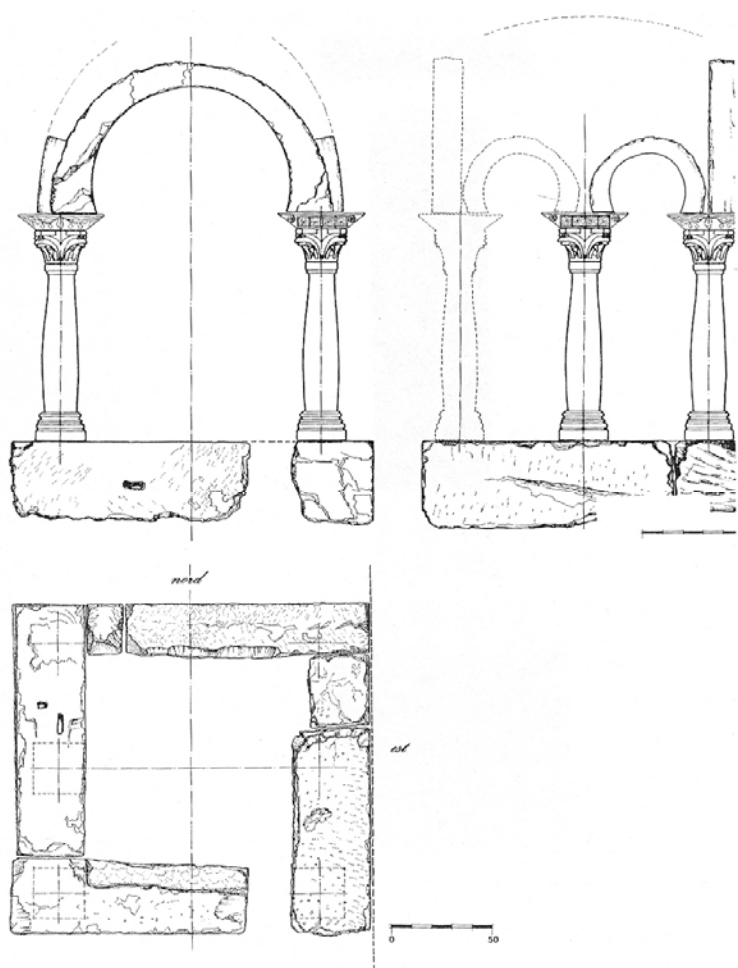
-Plano 103- Iglesia de Santa Coloma d'Àger, Lleida. Planta general del edificio tardoantiguo y de su necrópolis asociada. Planta de P. Bertran y F. Fité en ADELL-FITÉ, 1994: 139.



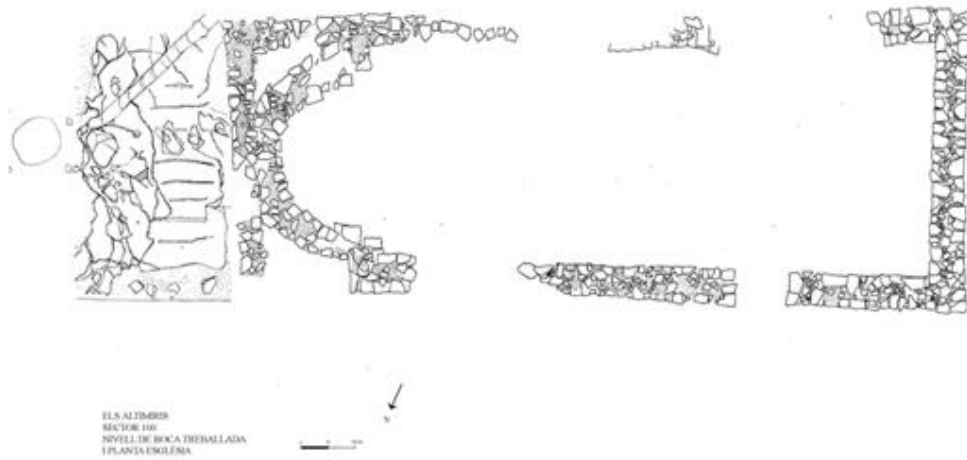
-Plano 104- Ermita de Mare de Déu de la Trobada (Montferrer-Castellbó, Lleida). Planta general de todas las fases de la iglesia, Por encima del ábside semicircular romano se aprecia la cabecera cuadrangular fechada durante la Antigüedad Tardía (FARRÀS-VILLARÓ, 2001: 220).



-Plano 105- Basílica del Bovalar (Serós, Lleida), restitución del conjunto con dibujo de F. Riart (GUÀRDIA, 2002: 337).

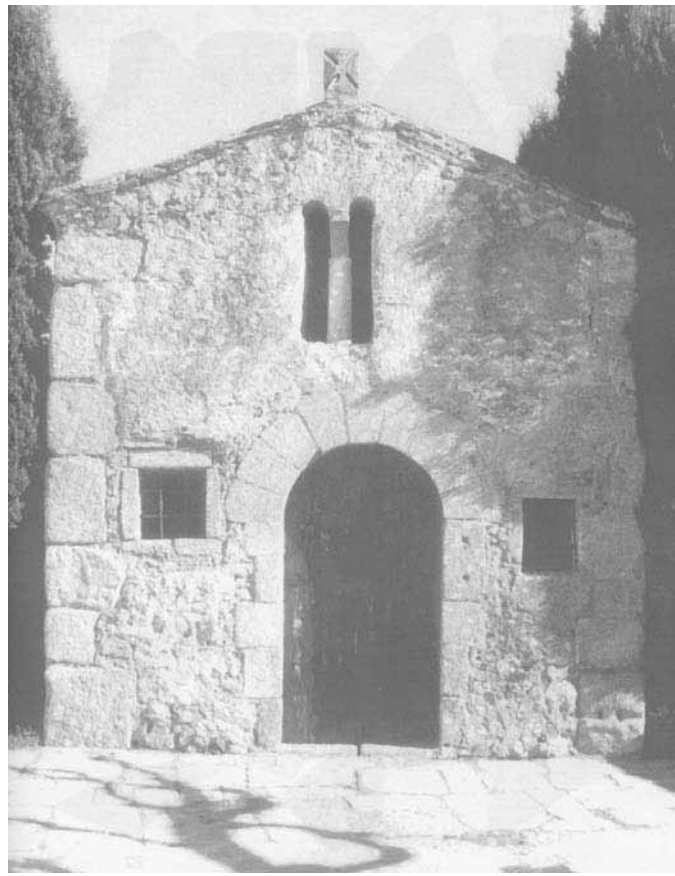


-Plano 106- Basílica del Bovalar (Serós, Lleida), planta y alzado del baptisterio con su baldequino (GUÀRDIA, 2002: 341).



-Plano 107- Iglesia de Els Altimiris (Sant Esteve de la Sarga, Lleida). Planta del estado actual de la iglesia, aún por excavar (ALEGRÍA-SANCHO, 2010: 224).

FOTOS



-Foto 1- Sant Cristòfor (Cabrilis, Barcelona), fachada. Foto: J. M. Altimira (CLARIANA, 2002: 149).



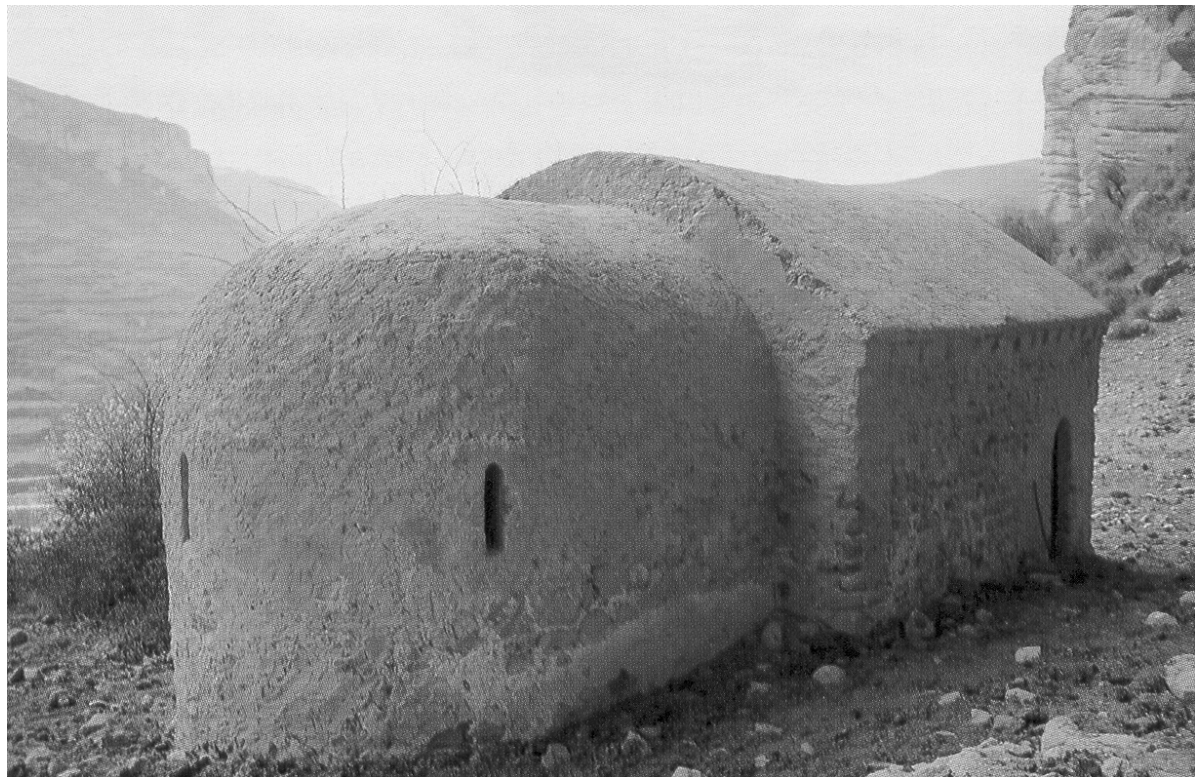
-Foto 2- Santa María de Ventas Blancas (fotografía de J. Sales).



-Foto 3- Santa María de Mijangos (Burgos). Vista de la zona del ábside (VAL-ESCRIBANO, 2004: 89).



-Foto 4- Santa María de Mijangos (Burgos). Detalle del contraábside con tumba singular (VAL-ESCRIBANO, 2004: 90).



-Foto 5- San Esteban de Viguera, vista por la parte del ábside (MONREAL, 1999: 22).



-Foto 6- Girona: a la derecha, la catedral y a la izquierda, Sant Feliu. En medio de ambas pasaba la antigua muralla romana (fotografía de N. Salazar).



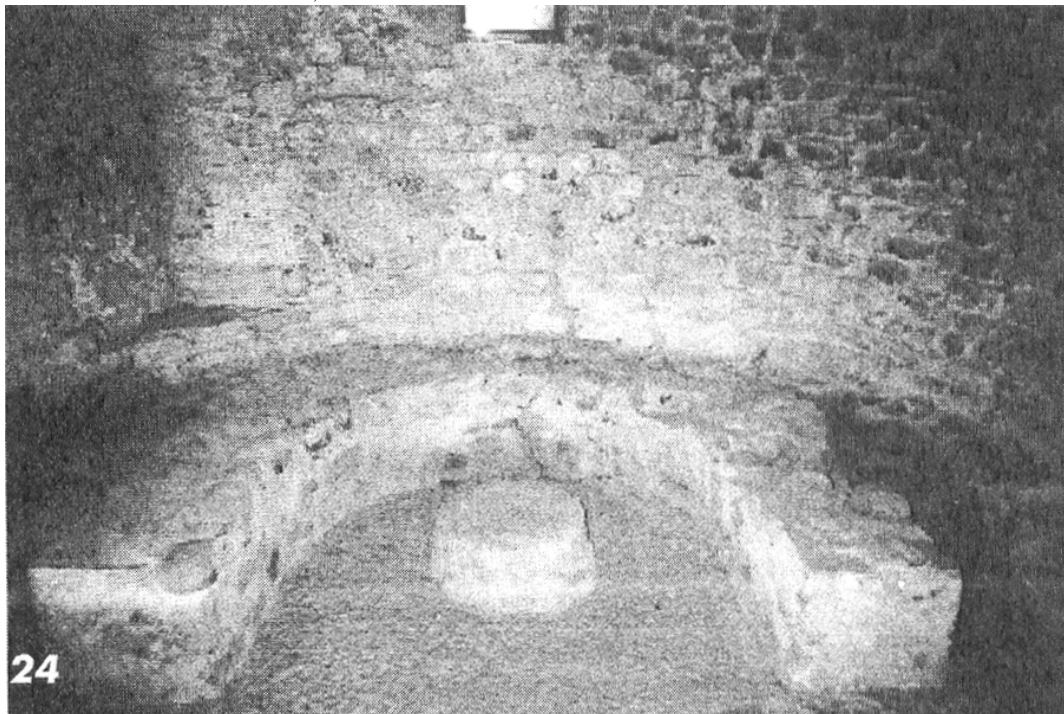
-Foto 7- San Esteban de Viguera, iconostasis (MONREAL, 1999: 27).



-Foto 8- La Asunción de San Vicente del Valle, vista del edificio (APARICIO, 1995: 58).

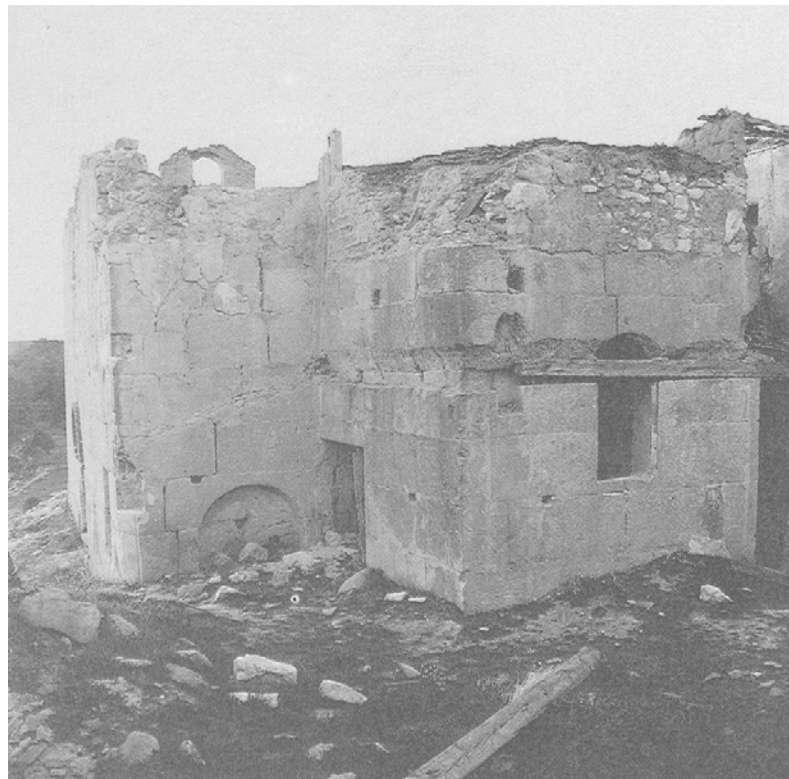


-Foto 9- Sant Vicenç del Roc d'Enclar (Andorra). Imagen de la iglesia en 1979, antes de ser restaurada (LLOVERA et ALII, 1997: 405).



24

-Foto 10- Sant Pau de Riu-sec (Sabadell, Barcelona). Banco de obra semicircular de la primera fase de la iglesia. Esta estructura sólo tiene paralelos en iglesias de la zona de Siria y del norte de África (MAURI, 1996: 28).



-Foto 11- San Pedro el Viejo de Arlanza, Hortigüela. Vista de la cabecera desde el lado Sudeste. (CABALLERO-CÁMARA, 1995: 86). Obsérvese el aparejo a base de sillares romanos reaprovechados.



-Foto 12- Sant Pau del Camp (Barcelona), portada románica con elementos constructivos de época visigoda reaprovechados —dos canceles y dos impostas— (fotografía de N. Salazar).



-Fotos 13- Sant Pau del Camp (Barcelona), detalle de los cancelles y las impostas (fotografía de N. Salazar).



-Fotos 14- Sant Pau del Camp (Barcelona), detalle de los cancelles y las impostas (fotografía de N. Salazar).



-Fotos 15- Sant Pau del Camp (Barcelona), detalle de los cancelles y las impostas (fotografía de N. Salazar).



-Fotos 16- Sant Pau del Camp (Barcelona), detalle de los cancelles y las impostas (fotografía de N. Salazar).



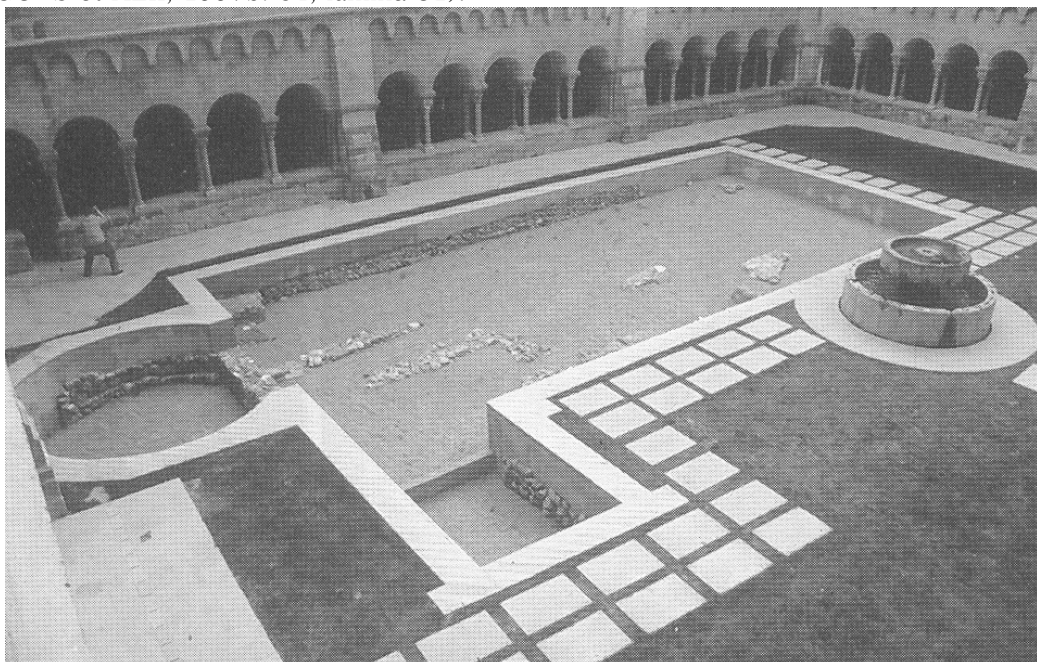
-Foto 17- Sant Miquel de Toudell (Viladecavalls, Barcelona). Vista general de la iglesia desde el ábside (fotografía de J. Sales).



-Foto 18- Sant Miquel de Toudell (Viladecavalls, Barcelona). Detalle de la unión exterior entre el ábside y la nave, donde se observan los grandes bloques de piedra, muy probablemente de época romana, o pertenecientes a un edificio anterior al actualmente visible (fotografía de J. Sales).



-Foto 19- Basílica del claustro del monasterio (Sant Cugat del Vallès, Barcelona). Vista general de la basílica desde los pies durante las excavaciones de los años 1993-1994 (ARTIGUES et ALII, 1997b: 54, lámina 31).



-Foto 20- Basílica del claustro del monasterio (Sant Cugat del Vallès, Barcelona). Vista general de la basílica una vez musealizada (ARTIGUES et ALII, 1997b: 54, lámina 32).



-Foto 21- Sant Martí de les Tombetes (Sant Esteve de la Sarga, Lleida). Restos conservados de la iglesia prerrománica, tal vez de origen tardoantiguo (NOLASCO, 2003: 158).



-Foto 22- Rectoría de Sant Pere (Gavà, Barcelona), ábside. Foto: N. Salazar y J. Sales



-Foto 23- Basílica del Bovalar (Serós, Lleida), baldequino. Propuesta de restitución, según foto de P. de Palol, y estado en el que se expone actualmente, con foto de J. I. Rodríguez-Institut d'Estudis Ilerdencs (VVAA, 1999: 190).



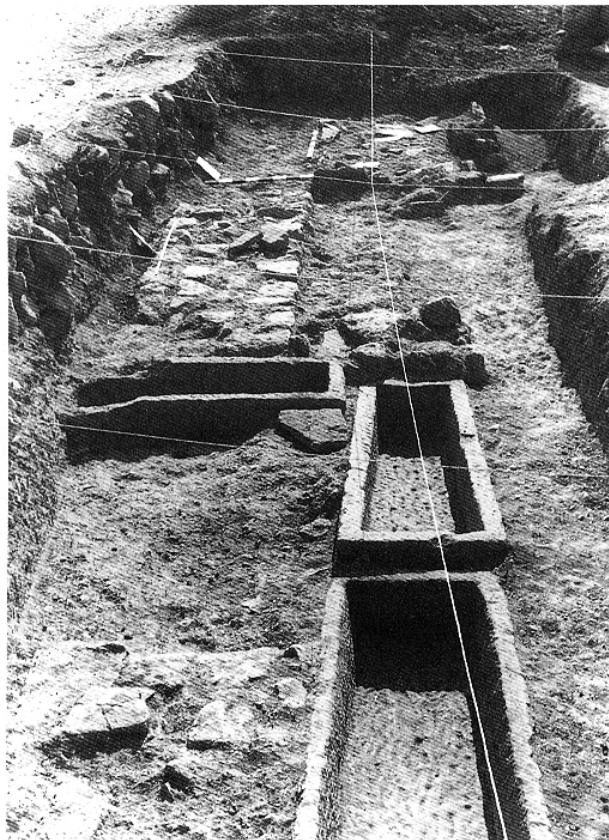
-Foto 24- Morulls (Os de Balaguer, Lleida), capiteles que se han supuesto parte del baldaquino de un baptisterio (fotografía de J. Sales).



-Foto 25- Morulls (Os de Balaguer, Lleida), tumbas con tapa monolítica y a cuatro aguas, de la misma tipología que las aparecidas en la relativamente cercana basílica del Bovalar (fotografía de J. Sales).



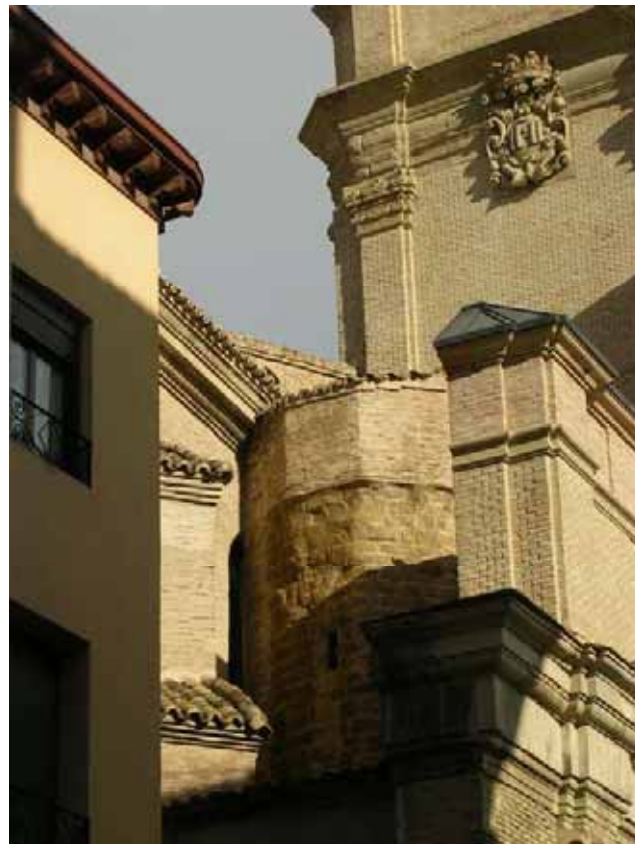
-Foto 26- Sant Nicolau (Girona), vista general de la iglesia de fábrica románica —izquierda— junto al monasterio de Sant Pere de Galligants —derecha—, al cual pertenecía como capilla funeraria (fotografía de J. Sales).



-Foto 27- Excavación de la iglesia de Santa Coloma d'Àger, Lleida. Vista parcial de los muros tardoantiguos y de su necrópolis asociada. Fotografía de P. Bertran en ADELL-FITÉ, 1994: 140.



-Foto 28- San Pedro el Viejo, Huesca. Estado actual del monasterio, de fábrica románica (fotografía de J. Sales).



-Foto 29- San Lorenzo, Huesca. Detalle de uno de los pocos elementos medievales conservados de esta iglesia de probable origen tardoantiguo (fotografía de J. Sales).



-Foto 30- Catedral de San Salvador, Huesca. El edificio muy probablemente está construido en la misma ubicación que la antigua catedral tardoantigua (fotografía de J. Sales).



-Foto 31- Necrópolis de la Estación del Ferrocarril (*Ilerda*), mosaico de la muy probable iglesia paleocristiana. Fotografía del Institut d'Estudis Ilerdencs en PÉREZ, 1992: 209.



-Foto 32- Templo de Eras de la Cárcel (Alfaro, La Rioja), columnillas y capitel de alabastro (VVAA, 2000b: fig. 219).



-Foto 33- Posible cancel, con decoración en relieve de época visigoda, reaprovechado como lápida funeraria en el siglo X, encontrado y sito en la capilla de Santa María del Camí (La Garriga, Barcelona). Fotografía de A. Martí en MARTÍ, 1991: 358.



-Foto 34- Sant Miquel (Olèrdola, Barcelona). Cimientos de la capilla prerrománica, con arco de herradura (fotografía de J. Sales).



-Foto 35- Sant Miquel (Olèrdola, Barcelona). Detalle del arco de herradura (fotografía de J. Sales).



-Foto 36- Ábside de la Plaça Alfonso XII (*Dertosa*). Momento de su descubrimiento en 1988 (ARBELOA, 1999b: 179).



-Foto 37- Santa María de Arcos (*Tritium*). La iglesia tardoantigua aprovecha elementos arquitectónicos de un templo romano. Fotografía de J. Sales.



-Foto 38- Iglesia de *Parpalines*. Restos de la iglesia y su necrópolis. Fotografía de J. Sales.



-Foto 39- *Martyrium* de Santa Coloma. El monumento integrado en la actual iglesia parroquial. Fotografía de J. Sales.